

การควบคุมวาล์วโดยใช้ STEP MOTOR
STEPPING MOTOR CONTROL VALVE



T 0 5 0 2 3 6



เลขหมู่.....
เลขทะเบียน..... 50236
วัน,เดือน,ปี. 28 เม.ย. 2547

b.....
i.....

ปริญญาบัตรนี้เป็นส่วนหนึ่งของการศึกษาตามหลักสูตรวิศวกรรมศาสตรบัณฑิต
สาขาวิชาวิศวกรรมการวัดคุม

ภาควิชาวิศวกรรมการวัดคุม คณะวิศวกรรมศาสตร์

สถาบันเทคโนโลยีพระจอมเกล้าเจ้าคุณทหารลาดกระบัง

เอกสารนี้เป็นเอกสารที่สงวนไว้สำหรับการใช้งานเพื่อการศึกษาเท่านั้น ไม่นำไปใช้ประโยชน์ด้านการค้า
ปีการศึกษา 2545

ไม่ว่ากรณีใดๆ ทั้งสิ้น อีกทั้งห้ามมิให้ตัดแปลงเนื้อหาและต้องอ้างอิงถึงเจ้าของเอกสารทุกครั้งที่มีนำไปใช้

Handwritten signature or mark at the bottom right corner.

STEPPING MOTOR CONTROL VALVE



A THESIS SUBMITTED PARTIAL FULFILMENT
OF THE REQUIREMENT FOR THE DEGREE OF
BACHELOR OF ENGINEERING IN INSTRUMENTATION ENGINEERING
DEPARTMENT OF INSTRUMENTATION ENGINEERING
FACULTY OF ENGINEERING
KING MONGKUT'S INSTITUTE TECHNOLOGY LARDKRABANG

เอกสารนี้เป็นเอกสารที่สงวนไว้สำหรับการใช้งานเพื่อการศึกษาเท่านั้น ไม่อนุญาตให้นำไปใช้ประโยชน์ด้านการค้า
ไม่ว่ากรณีใดๆ ทั้งสิ้น อีกทั้งห้ามมิให้ดัดแปลงเนื้อหาและต้องอ้างอิงถึงเจ้าของเอกสารทุกครั้งที่มีการนำไปใช้

หัวข้อปริญญานิพนธ์	การควบคุมวาล์วโดย STEP MOTOR STEPPING MOTOR CONTROL VALVE
นักศึกษาผู้จัดทำ	นายวรพจน์ วัฒนาร นายวรากร เหลืองสุวิมล
อาจารย์ที่ปรึกษา	รศ. วิทยา ทิพย์สุวรรณพร รศ. วิริยะ กองรัตน์
ปีการศึกษา	2545

บทคัดย่อ

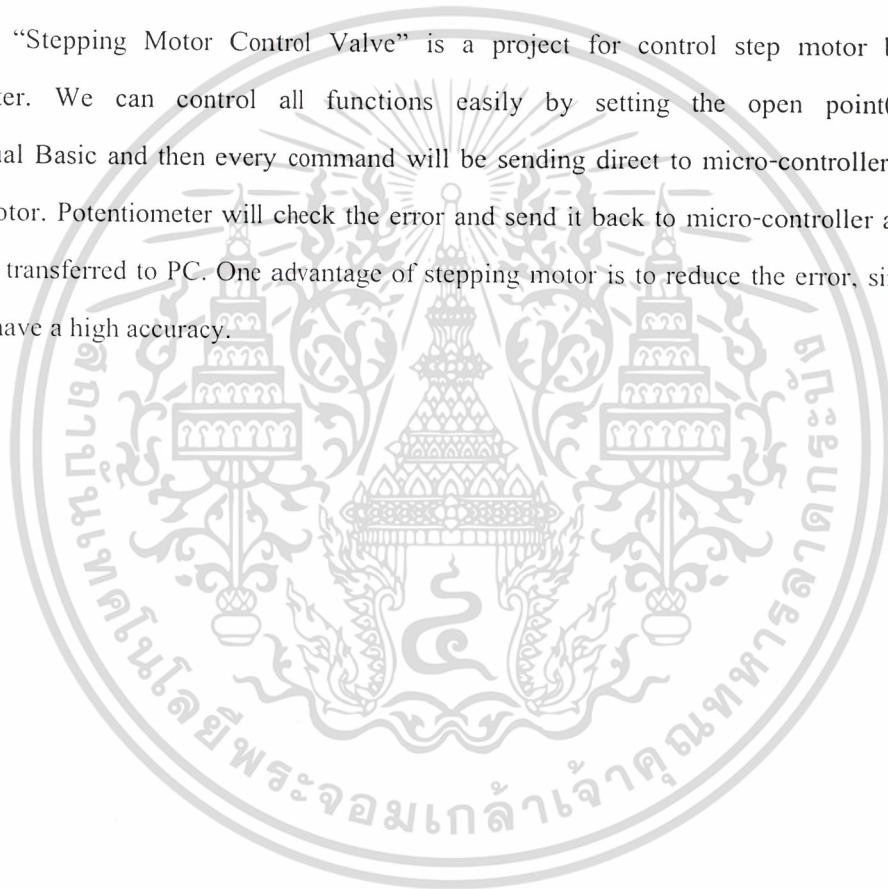
ปริญญานิพนธ์นี้เป็นระบบเกี่ยวกับการควบคุมการทำงานของ Motor เพื่อควบคุมการเปิดและ ปิด Valve โดยการควบคุมทั้งหมดจะอยู่บน PC ผ่าน โปรแกรม Visual Basic ชุดคำสั่งทั้งหมดจะถูกส่งงานผ่าน Micro-controller (PC89C51RD2) เพื่อใช้ขับ Stepmotor โดยการเปิดปิด valve จะถูกส่งเป็น % ในการเปิดหรือปิด มี potentiometer เป็นตัว check ค่าความถูกต้องและ ส่งค่ากลับมายัง Micro-Controller เพื่อแปลงค่าและส่งกลับมายัง PC การควบคุมวาล์วโดยใช้ Step motor มีข้อดีเนื่องจาก ความแม่นยำของ step motor สามารถนำไปประยุกต์ใช้ในอุตสาหกรรม ต่างๆได้

เอกสารนี้เป็นเอกสารที่สงวนไว้สำหรับการใช้งานเพื่อการศึกษาเท่านั้น ไม่อนุญาตให้นำไปใช้ประโยชน์ด้านการค้า
ไม่ว่ากรณีใดๆ ทั้งสิ้น อีกทั้งห้ามมิให้ตัดแปลงเนื้อหาและต้องอ้างอิงถึงเจ้าของเอกสารทุกครั้งที่มีการนำไปใช้

Thesis Title	Stepping Motor Control Valve	
Author	Mr.Woraphon	Wattanatorn
	Mr.Warakorn	Learn-Suvimol
Thesis Adviser	Assoc.Prof.Vittaya	Tipsuwanporn
	Asst.Prof.Viriya	Kongratana
Year	2002	

ABSTRACT

“Stepping Motor Control Valve” is a project for control step motor by personal computer. We can control all functions easily by setting the open point(percentage) in Visual Basic and then every command will be sending direct to micro-controller for driving step motor. Potentiometer will check the error and send it back to micro-controller and the data will be transferred to PC. One advantage of stepping motor is to reduce the error, since the step motor have a high accuracy.



เอกสารนี้เป็นเอกสารที่สงวนไว้สำหรับการใช้งานเพื่อการศึกษาเท่านั้น ไม่อนุญาตให้นำไปใช้ประโยชน์ด้านการค้า
ไม่ว่ากรณีใดๆ ทั้งสิ้น อีกทั้งห้ามมิให้ตัดแปลงเนื้อหาและต้องอ้างอิงถึงเจ้าของเอกสารทุกครั้งที่มีการนำไปใช้

กิตติกรรมประกาศ

ปริญญานิพนธ์ฉบับนี้สำเร็จลุล่วงด้วยดีเพราะได้รับความเมตตาจาก ผู้ช่วยศาสตราจารย์ วิริยะ กองรัตน์ และ รองศาสตราจารย์วิทยา ทิพย์สุวรรณพร ที่ได้ให้คำแนะนำแก่ผู้วิจัยตลอดมา อีกทั้งยังเอื้อเฟื้ออุปกรณ์และเครื่องมือต่างๆ ในการทำปริญญานิพนธ์นี้ ผู้วิจัยรู้สึกซาบซึ้ง และขอกราบขอบพระคุณเป็นอย่างสูง

ขอขอบพระคุณ อาจารย์ภาควิชาวิศวกรรมการวัดคุมทุกท่าน ที่ให้คำแนะนำ อันเป็นประโยชน์ต่อการทำปริญญานิพนธ์ฉบับนี้

และที่ลืมเสียมิได้ ขอกราบขอบพระคุณคุณแม่ อันเป็นที่รักยิ่ง ที่สนับสนุน และเป็นแรงบันดาลใจในการทำปริญญานิพนธ์ฉบับนี้

คุณค่าและประโยชน์อันพึงมีจากปริญญานิพนธ์ฉบับนี้ ผู้วิจัยขอบแต่ผู้มีพระคุณทุกท่าน



คณะผู้จัดทำ

เอกสารนี้เป็นเอกสารที่สงวนไว้สำหรับการใช้งานเพื่อการศึกษาเท่านั้น ไม่อนุญาตให้นำไปใช้ประโยชน์ด้านการค้า ไม่ว่ากรณีใดๆ ทั้งสิ้น อีกทั้งห้ามมิให้ตัดแปลงเนื้อหาและต้องอ้างอิงถึงเจ้าของเอกสารทุกครั้งที่มีการนำไปใช้

สารบัญ

	หน้า
บทคัดย่อภาษาไทย.....	I
บทคัดย่อภาษาอังกฤษ.....	II
กิตติกรรมประกาศ.....	III
สารบัญ.....	IV
สารบัญตาราง.....	VII
สารบัญภาพ.....	VIII
บทที่ 1 บทนำ.....	1
1.1ความเป็นมาและเหตุจูงใจของการวิจัย.....	1
1.2วัตถุประสงค์ของปริญญานิพนธ์.....	1
1.3ขอบเขตของปริญญานิพนธ์.....	2
1.4ขั้นตอนการศึกษา.....	2
บทที่ 2 STEPPING MOTOR.....	3
2.1 กล่าวนำ.....	3
2.2 หลักการ.....	3
2.3 โครงสร้างและหลักการทำงานของ Stepping Motor.....	5
2.3.1 VR Motor.....	5
2.3.2 PM Stepping Motor.....	10
2.3.3 Hybrid Stepping Motor.....	11
2.4 การกระตุ้นเฟสของลวดสเตเตอร์.....	14
2.4.1 การกระตุ้นแบบ 1 เฟส.....	17
2.4.2 การกระตุ้นแบบ 2 เฟส.....	17
2.4.3 การกระตุ้นแบบกึ่งเฟส.....	17
2.5 ตัวแปรที่สำคัญของมอเตอร์.....	18
2.6 การเกิดฮอสซิเลเตอร์ของ Stepping Motor.....	21

เอกสารนี้เป็นเอกสารที่สงวนไว้สำหรับการใช้งานเพื่อการศึกษาเท่านั้น ไม่อนุญาตให้นำไปใช้ประโยชน์ด้านการค้า
ไม่ว่ากรณีใดๆ ทั้งสิ้น อีกทั้งห้ามมิให้ตัดแปลงเนื้อหาและต้องอ้างอิงถึงเจ้าของเอกสารทุกครั้งที่มีการนำไปใช้

สารบัญ (ต่อ)

	หน้า
บทที่ 3 รายละเอียดของโครงการ.....	22
3.1 กล่าวนำ	22
3.2 ระบบที่ใช้ในการทำงาน.....	22
3.3 หลักการทำงานของวงจรใน Micro-controller	22
3.4 วงจรขับ Stepmotor.....	22
3.4.1 การกระตุ้นเฟสคลวดสเตเตอร์.....	25
3.4.2 การคำนวณหาค่าพลังงานที่มอเตอร์ใช้.....	27
3.4.3 การต่อไดโอดเข้ากับวงจรขั้วมอเตอร์.....	28
3.5 โครงสร้างการทำงานของโปรแกรม.....	30
บทที่ 4 การแปลงสัญญาณเพื่อติดต่อกับคอมพิวเตอร์.....	31
4.1 กล่าวนำ.....	31
4.2 การแปลงผันสัญญาณ Analog To Digital.....	31
บทที่ 5 potentiometer.....	32
5.1 กล่าวนำ.....	32
5.2 หลักการทำงานของ potentiometer.....	32
บทที่ 6 ผลการทดลอง.....	33
6.1 ตารางบันทึกผลการทดลอง.....	33
6.2 สรุปผลการทดลอง.....	36
บทที่ 7 สรุปผลการวิจัยและข้อเสนอแนะ.....	37
7.1 บทสรุป.....	37
7.2 ข้อเสนอแนะ.....	37

บรรณานุกรม..... 38
 เอกสารเป็นเอกสารที่สงวนไว้สำหรับการใช้งานเพื่อการศึกษาเท่านั้น ไม่อนุญาตให้นำไปใช้ประโยชน์ทางการค้า
 ภาคผนวก..... 39
 ไม้ กิ่งไม้ ใบไม้ หักสั้น อีกทั้งห้ามมิให้ตัดแปลงเนื้อหา และต้องอ้างอิงถึงเจ้าของเอกสารทุกครั้งที่มีการนำไปใช้

สารบัญตาราง

ตารางที่	หน้า
2.20 ตารางแสดงการกระตุ้นแบบเฟสเดียว.....	17
2.21 ตารางแสดงการกระตุ้นแบบสองเฟส.....	17
2.22 ตารางแสดงการกระตุ้นแบบครึ่งเฟส.....	17
3.30 ตารางแสดงการกระตุ้นขดลวด.....	26
3.31 ตารางแสดงการส่งข้อมูลจากคอมพิวเตอร์ในการควบคุมมอเตอร์.....	27
6.10 ตารางแสดงผลการทดลองเปิดและปิดวาล์วจาก 0 – 100 %	33



เอกสารนี้เป็นเอกสารที่สงวนไว้สำหรับการใช้งานเพื่อการศึกษาเท่านั้น ไม่อนุญาตให้นำไปใช้ประโยชน์ด้านการค้า
ไม่ว่ากรณีใดๆ ทั้งสิ้น อีกทั้งห้ามมิให้ตัดแปลงเนื้อหาและต้องอ้างอิงถึงเจ้าของเอกสารทุกครั้งที่มีการนำไปใช้

สารบัญรูป

รูปที่	หน้า
2.1 แสดงรูปสแต็ปมอเตอร์ 2 ขั้วอย่างง่าย.....	3
2.2 แสดง CUT AWAY VIEW OF SINGLE-STACK VR MOTOR.....	5
2.3 แสดงแบบจำลองภาคตัดขวางของ VR STEPPING MOTOR แบบ 3 เฟส.....	6
2.4 แสดงเส้นโค้งของสนามแม่เหล็กที่ทำให้เกิดแรงบิด.....	6
2.5 แสดงลักษณะของการเคลื่อนที่ไป 1 step เมื่อการกระตุ้นถูกเปลี่ยนจาก 1 เฟส เป็น 2 เฟส.....	7
2.6 แสดงการเคลื่อนที่แต่ละสเต็ปในรูปแบบการสับสวิทช์ใน VR MOTOR 3 เฟส.....	8
2.7 แสดง COMPARISON OF FLUX LINES IN A LONG AND A SHORT GAP.....	9
2.8 แสดง CROSS-SECTION MODEL OF A FOUR-PHASE PM MOTOR.....	10
2.9 แสดง BASIC DRIVE CIRCUIT FOR A FOUR-PHASE MOTOR.....	10
2.10 แสดง STEPS IN A FOUR-PHASE PM MOTOR.....	11
2.11 แสดงรูป CUT AWAY VIEW OF A HYBRID MOTOR.....	12
2.12 แสดงโครงสร้างของ HYBRID MOTOR.....	13
2.13 แสดงโครงสร้างภายในของ STEP MOTOR แบบ VR.....	14
2.14 แสดงภาพตัดตามแนวยาวของ STEPMOTOR แบบหลายชั้น.....	15
2.15 แสดงภาพตัดขวางของ STEP MOTOR แบบหลายชั้น.....	15
2.16 แสดงตำแหน่งของสเตเตอร์และโรเตอร์ของมอเตอร์แบบ 3 ชั้น.....	16
2.17 แสดงเส้นแรงแม่เหล็กเมื่อขับแบบ 2 เฟส.....	18
2.18 แสดงกราฟแรงบิดกับความเร็วมอเตอร์.....	20
3.1 แสดงภาพรวมของโครงการ.....	22
3.2 แสดงโครงสร้างพื้นฐานของสเต็ปมอเตอร์.....	22
3.3 แสดงลักษณะการต่อวงจรขับมอเตอร์เข้ากับแต่ละเฟสของขดลวดเข้ากับมอเตอร์.....	23
3.4 แสดงรูปวงจรที่ใช้ในการคำนวณหา R_c	23

เอกสารนี้เป็นเอกสารที่สงวนไว้สำหรับการใช้งานเพื่อการศึกษาเท่านั้น ไม่อนุญาตให้นำไปใช้ประโยชน์ด้านการค้า
ไม่ว่ากรณีใดๆ ทั้งสิ้น อีกทั้งห้ามมิให้ดัดแปลงเนื้อหาและต้องอ้างอิงถึงเจ้าของเอกสารทุกครั้งที่มีการนำไปใช้

สารบัญรูป (ต่อ)

รูปที่	หน้า
3.5 แสดงการต่อมอเตอร์เข้ากับ PORT IO ของ P89C51RD2.....	26
3.6 แสดงการต่อไดโอดเข้ากับทรานซิสเตอร์.....	28
3.7 แสดงผังการต่อวงจรมบน Micro-Controller.....	29
3.8 แสดงโครงสร้างของโปรแกรม (Flow Chart).....	30
4.1 แสดงโครงสร้างของ IC ADS7841.....	31
5.1 แสดงรูปวงจรมวลย์ของโพเทนทีโอมิเตอร์.....	32
5.2 แสดงรูปตัวอย่างของโพเทนทีโอมิเตอร์.....	32



เอกสารนี้เป็นเอกสารที่สงวนไว้สำหรับการใช้งานเพื่อการศึกษาเท่านั้น ไม่อนุญาตให้นำไปใช้ประโยชน์ด้านการค้า
ไม่ว่ากรณีใดๆ ทั้งสิ้น อีกทั้งห้ามมิให้ดัดแปลงเนื้อหาและต้องอ้างอิงถึงเจ้าของเอกสารทุกครั้งที่มีการนำไปใช้

บทที่ 1

บทนำ

1.1 ความเป็นมาและเหตุจูงใจ

เนื่องจากเครื่องจักรกลได้เข้ามามีบทบาทมากในงานทางด้านอุตสาหกรรม และเครื่องจักรกลเกือบทุกชนิดจะใช้มอเตอร์ช่วยในการทำงาน การควบคุมมอเตอร์จึงถูกพัฒนาขึ้นเรื่อย ๆ จนในปัจจุบันได้มีการใช้คอมพิวเตอร์ควบคุมการทำงานมอเตอร์เพื่อให้มีประสิทธิภาพในการทำงานสูงขึ้น

ในปัจจุบันมอเตอร์ได้ถูกพัฒนาขึ้นเพื่อให้เหมาะสมกับการใช้งาน จึงมีมอเตอร์หลายชนิดด้วยกันแต่ในหนังสือเล่มนี้จะกล่าวถึงการควบคุม stepping motor ซึ่งเป็น มอเตอร์ที่มีตำแหน่งการหยุดที่แน่นอนโดยมีการหมุนเป็น step โดย 1 step จะมีขนาดกึ่งองศาจะขึ้นอยู่กับเฟส จำนวนขั้วของสเตเตอร์และจำนวนขั้วของโรเตอร์ การเลือกใช้ stepping motor จะขึ้นอยู่กับการใช้งานคือ ถ้าต้องการควบคุมตำแหน่งที่ต้องการความละเอียดน้อยก็จะใช้ stepping motor ที่มีจำนวน step น้อย และถ้า ต้องการควบคุมตำแหน่งที่ต้องการความละเอียดมากก็จะใช้ stepping motor ที่มีจำนวน step มากซึ่งราคาก็จะแพงมากขึ้น

1.2 วัตถุประสงค์

- 1.เพื่อศึกษาการทำงานของ STEPPING MOTOR
- 2.เพื่อศึกษาการใช้ MSC-51 ในการควบคุม MOTOR
- 3.เพื่อศึกษาการควบคุม STEPPING MOTOR โดยใช้เครื่อง Personal Computer ในการสั่งงาน

1.3 ขอบเขตปริิญญานิพนธ์

ขอบเขตของปริิญญานิพนธ์นี้คือสามารถควบคุมการเปิดปิดของ valve ด้วย stepping motor ผ่านทาง Personal Computer และแสดงตำแหน่งของ stepping motor ทางจอภาพของคอมพิวเตอร์ โดยใช้โปรแกรม Visual Basic

1.4 ขั้นตอนการศึกษา

การทำวิจัยในปริิญญานิพนธ์ฉบับนี้มีขั้นตอนการศึกษาเริ่มจากการศึกษาการทำงานของ Stepping Motor หลักการของปริิญญานิพนธ์นี้คือจะใช้เครื่อง Personal Computer ควบคุม

stepping motor ผ่านทาง Serial Port โดยใช้ จะสั่งงานไปที่ Micro-controller เพื่อกำเนิดสัญญาณไปควบคุมมอเตอร์ โดยมี IC ULN2003 (Opto-diode) เป็นตัวจ่ายสัญญาณทำให้มอเตอร์หมุน โดยมี Potentiometer เป็น Feedback เพื่อตรวจสอบการเคลื่อนที่ของ Motor ว่าถูกต้องแน่นอนตามตำแหน่งที่สั่งงานไปหรือไม่ โดยสัญญาณจาก Potentiometer จะถูกส่งผ่าน A/D เบอร์ ADS7841 ซึ่งทำหน้าที่เป็น Analog to Digital Converter 12 Bit 4 Channels ทำงานในลักษณะ Single-End หลังจากสัญญาณถูกแปลงให้กลายเป็น Digital ซึ่งเป็นสัญญาณที่ Micro-controller สามารถติดต่อกับ PC ได้โดยผ่านทาง Serial Port ข้อมูลที่ถูกส่งมาจะได้รับมาได้ ลักษณะ 16 bits(HEX) สัญญาณที่ออกมาจาก ADC จะเป็นตัว ตัววัดการเคลื่อนที่ ของ วาวล์ว่าหมุนไปมากน้อยแค่ไหนแล้วส่งสัญญาณกลับไป PC เพื่อให้ PC สั่งงานไปยัง Micro-controller



เอกสารนี้เป็นเอกสารที่สงวนไว้สำหรับการใช้งานเพื่อการศึกษาเท่านั้น ไม่อนุญาตให้นำไปใช้ประโยชน์ด้านการค้า
ไม่ว่ากรณีใดๆ ทั้งสิ้น อีกทั้งห้ามมิให้ตัดแปลงเนื้อหาและต้องอ้างอิงถึงเจ้าของเอกสารทุกครั้งที่มีการนำไปใช้

บทที่ 2

STEPPING MOTOR

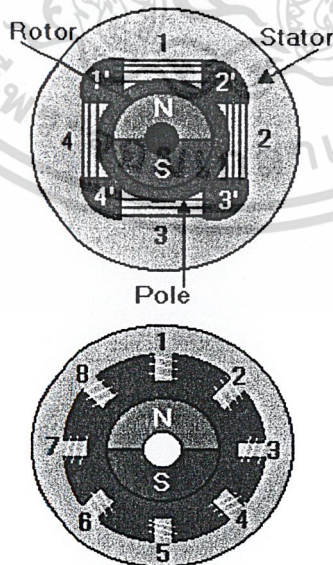
2.1 กล่าวนำ

สเตปป์มอเตอร์ (Stepping motor) หรือ สเตปมอเตอร์ (Step motor) ได้เข้ามามีบทบาทอยู่ในวงการเครื่องจักรกลไฟฟ้าเป็นเวลาหลายปีมาแล้ว แต่ในการนำมาใช้งานทั่วไปเพิ่งจะเริ่มต้นในประมาณปี ค.ศ. 1960 เมื่อเทคนิคการสร้างทรานซิสเตอร์ได้รับการพิจารณา จนกระทั่งสามารถผลิตทรานซิสเตอร์ที่สามารถป้อนกระแสจำนวนมาก ๆ ให้กับมอเตอร์โดยวิธีสวิตชิง (Switching) ได้ลักษณะการป้อนกระแสไฟฟ้าแบบสวิตชิงให้กับขดลวดของมอเตอร์ ทำให้สเตปป์มอเตอร์มีคุณสมบัติเป็น “ เครื่องจักรกลแบบดิจิทัล ” ซึ่งอาจกล่าวได้ว่าเป็นข้อได้เปรียบกว่าเครื่องจักรกลไฟฟ้าชนิดอื่น ๆ เมื่อนำเข้ามามีอินเทอร์เฟซกับคอมพิวเตอร์ หรือรวมไปถึงระบบดิจิทัลโดยทั่วไป

2.2 หลักการทำงาน

สเตปป์มอเตอร์เป็นอุปกรณ์สำหรับเปลี่ยน electrical pulses ไปเป็นการเคลื่อนที่โดยการหมุน ซึ่งแต่ละพัลส์จะทำให้มอเตอร์หมุนไปด้วยมุมคงที่ค่าหนึ่ง ถึงแม้ว่าสเตปป์มอเตอร์จะเป็นอุปกรณ์ที่ให้แรงบิดต่ำก็ตาม เราก็ยังนับรวมได้ว่าเป็น small proportion of the servo motor

โดยทั่วไปแล้วสเตปป์มอเตอร์จะประกอบด้วยโรเตอร์ที่เป็นแม่เหล็กและขดลวดสเตเตอร์ที่ตั้งฉากกันอยู่ 2 ชุด ดังรูปที่ 2.1



รูปที่ 2.1 สเตปมอเตอร์อย่างง่าย แบบ 2 ขั้ว

เอกสารนี้เป็นเอกสารที่สงวนไว้สำหรับการใช้งานเพื่อการศึกษาเท่านั้น ไม่อนุญาตให้นำไปใช้ประโยชน์ด้านการค้า
ไม่ว่ากรณีใดๆ ทั้งสิ้น อีกทั้งห้ามมิให้ตัดแปลงเนื้อหาและต้องอ้างอิงถึงเจ้าของเอกสารทุกครั้งที่มีการนำไปใช้

รูปที่ 2.1 นี้แสดงถึงสเตปมอเตอร์ 2 ขั้วอย่างง่าย ๆ ถ้าป้อนกระแสไฟฟ้าให้ผ่านขดลวดทั้งสองนี้จะทำให้เกิดสนามแม่เหล็กขึ้น โดยที่แนวของฟลักซ์แม่เหล็กของทั้งโรเตอร์และสเตเตอร์จะพยายามให้มีค่ารีลักแตนซ์ (Reluctance) น้อยที่สุด นั่นคือ โรเตอร์หมุนไปเพื่อวางตัวในแนวสนามแม่เหล็กของสเตเตอร์ และโรเตอร์จะถูกยึดในตำแหน่งนี้ไปจนกว่าจะมีกระแสไฟฟ้าถูกป้อนเข้าไปในสเตเตอร์ใหม่ ถ้าเราป้อนกระแสไฟฟ้าให้กับขดลวดในแนวใหม่จะทำให้สนามแม่เหล็กและโรเตอร์หมุนติดต่อกันไปได้ ดังนั้นทิศทางการหมุนของโรเตอร์จึงขึ้นกับว่าขดลวดจะถูกสวิตช์อย่างไร โดยที่โรเตอร์จะพยายามวางตัวในแนวที่ค่ารีลักแตนซ์ (Reluctance) มีค่าน้อยที่สุด แรงบิดของโรเตอร์นี้เรียกว่า holding torque แต่ถ้ากลับทิศกระแสไฟฟ้าในขดลวดสเตเตอร์อย่างรวดเร็วจะทำให้ มอเตอร์หมุนไม่เป็นสเตป ซึ่งจะพบว่าเป็นข้อเสียของสเตปปีงมอเตอร์

ขดลวดสเตเตอร์อาจจะถูกขับโดยรีเลย์ (Relay) หรือวงจรรีเลย์ทรานซิสเตอร์ก็ได้ สำหรับการประยุกต์ใช้งานง่าย ๆ การใช้รีเลย์ก็ให้ความเร็วเพียงพอ แต่ถ้าใช้งานที่ต้องการความละเอียดและแม่นยำสูง มักจะใช้การขับมอเตอร์แบบ bi-stables โดยใช้อุปกรณ์ขยายที่เหมาะสม เช่น ทรานซิสเตอร์แบบ bi-stables ทรานซิสเตอร์แบบ bi-stables นี้ มีสถานะอยู่สองสถานะคือ สถานะ low และ สถานะ high ซึ่งสามารถถูกขับจากวงจรถูกกระตุ้นที่มี 2 อินพุต คือ พัลส์ (pulse) หนึ่งชุดจะทำให้มอเตอร์หมุนที่ละ 1 สเตปในทิศทางเดียวกัน และพัลส์ชุดอื่นจะทำให้มอเตอร์หมุนในทิศตรงกันข้าม

ปัจจุบันเป็นที่ยอมรับกันว่า ถ้าต้องการมอเตอร์ที่สามารถสร้างแรงบิดได้มากพอควร โดยที่ขนาดของมอเตอร์ไม่ใหญ่โตเกินไปนักแล้ว ทั้งองค์ประกอบที่อยู่กับที่ (Stator) และ ที่หมุน (Rotor) จะต้องมีจำนวนฟัน (teeth) มากพอสมควร และซี่ฟันจะต้องสามารถนำความเข้มฟลักซ์แม่เหล็กที่ค่อนข้างสูงได้ ซึ่งวิธีปฏิบัติที่สามารถจะนำมาสร้างสเตปปีงมอเตอร์จรรยาบรรณมาใช้งานทั่วไปได้นั้นมีเพียงไม่กี่วิธี และในปัจจุบันเราก็สามารถแบ่งชนิดของสเตปปีงมอเตอร์ได้เป็น 3 ชนิดอย่างกว้างๆ คือ

1. VR MOTOR
2. PM STEPPING MOTOR
3. HYBRID STEPPING MOTOR

เอกสารนี้เป็นเอกสารที่สงวนไว้สำหรับการใช้งานเพื่อการศึกษาเท่านั้น ไม่อนุญาตให้นำไปใช้ประโยชน์ด้านการค้าไม่ว่ากรณีใดๆ ทั้งสิ้น อีกทั้งห้ามมิให้ตัดแปลงเนื้อหาและต้องอ้างอิงถึงเจ้าของเอกสารทุกครั้งที่มีการนำไปใช้

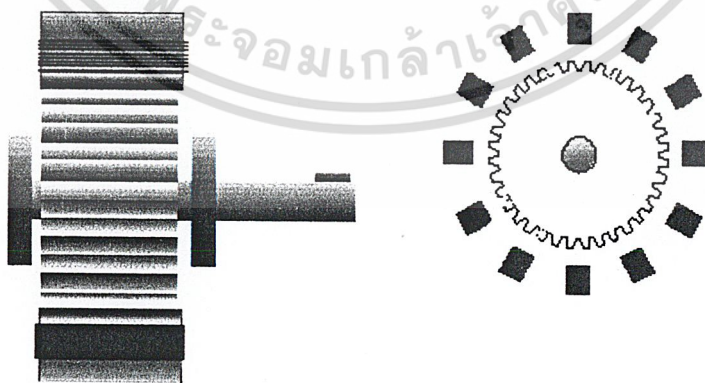
แม้ว่าโครงสร้างภายในของมอเตอร์ที่มีอยู่ในท้องตลาดจะมีลักษณะแตกต่างกันแต่จากคุณสมบัติของมันเมื่อพิจารณาจากขั้วต่อ (terminal behavior) จะสามารถแยกออกได้ว่าเป็นชนิดใดชนิดหนึ่งในสามชนิดที่กล่าวมาแล้วข้างต้น

คุณสมบัติที่สำคัญของสเตปป์มอเตอร์ คือ ความสามารถในการเปลี่ยนแปลงพลังงานไฟฟ้าที่ส่งมาแบบสวิตซ์ซึ่งเป็นการเคลื่อนที่ของโรเตอร์ ที่แน่นอน แม่นยำ และกำหนดค่าได้ ความสามารถที่จะกำหนดให้โรเตอร์เคลื่อนที่ไปในตำแหน่งที่แน่นอนตำแหน่งหนึ่งนั้น เกิดจากแรงแม่เหล็กระหว่างฟันของสเตเตอร์กับโรเตอร์ สำหรับไฮบริดมอเตอร์ แหล่งกำเนิดหลักของฟลักซ์แม่เหล็ก คือ แม่เหล็กถาวรและไฟฟ้ากระแสตรงในขดลวดเดียวหรือหลายขด ส่วนแบริโอเบิ้ลรีลักแตนซ์มอเตอร์นั้นมีโครงสร้างสองแบบ ซึ่งสนามแม่เหล็กของทั้งสองแบบนี้เกิดขึ้นโดยกระแสไฟฟ้า ตรงในขดลวดเพียงอย่างเดียว

2.3 โครงสร้างและการทำงานของ Stepping Motor

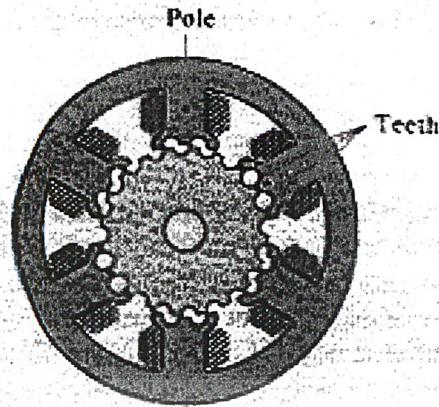
2.3.1.VR MOTOR

STEPPING MOTOR แบบ VARIABLE-RELUCTANCE หรือเรียกว่า VR MOTOR ซึ่งเป็น STEPPING MOTOR อย่างง่าย ๆ โครงสร้างภายในของ VR MOTOR แสดงดังรูป 2.2 เราจะใช้ภาพตัดขวางรูปที่ 2.3 อธิบายส่วนต่าง ๆ ของมอเตอร์ชนิดนี้ มอเตอร์ชนิดนี้เป็นมอเตอร์ 1 เฟส มีสเตเตอร์และโรเตอร์ สเตเตอร์แต่ละคู่จะอยู่ตรงข้ามกันในเฟสเดียวกัน ขดลวดที่พันจะต่ออนุกรมกัน โรเตอร์และ สเตเตอร์ทำจากแผ่น SILICON STEEL วัสดุที่ใช้ทำโรเตอร์ และ สเตเตอร์ ต้องมีค่า PERMEABILITY สูงและสามารถให้ FLUX แม่เหล็กสูง



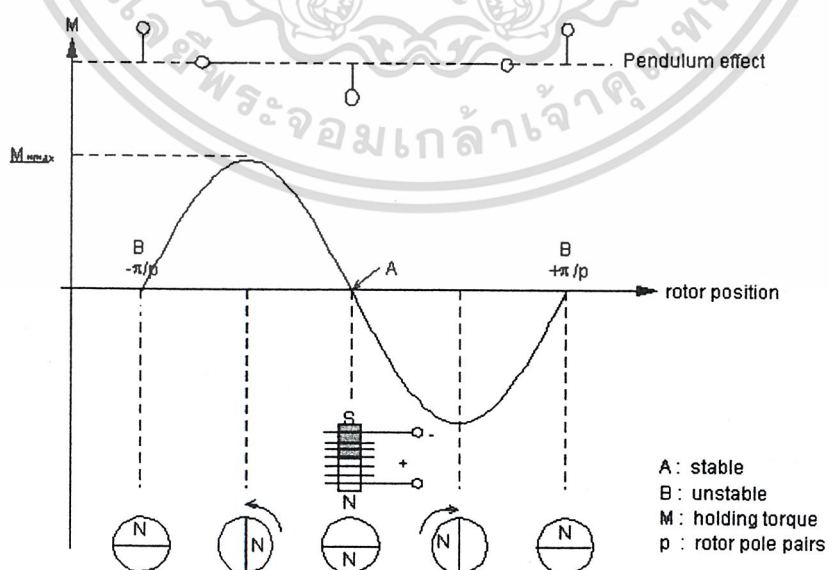
รูปที่ 2.2 CUT AWAY VIEW OF A SINGLE-STACK VR MOTOR

เอกสารนี้เป็นเอกสารที่สงวนไว้สำหรับการใช้งานเพื่อการศึกษาเท่านั้น ไม่อนุญาตให้นำไปใช้ประโยชน์ด้านการค้า ไม่ว่ากรณีใดๆ ทั้งสิ้น อีกทั้งห้ามมิให้ตัดแปลงเนื้อหาและต้องอ้างอิงถึงเจ้าของเอกสารทุกครั้งที่มีการนำไปใช้



รูปที่ 2.3 แบบจำลองภาคตัดขวางของ VR STEPPING MOTOR แบบ 3 เฟส และการวางตำแหน่งของขดลวด

จะสังเกตเห็นได้ว่าคู่ของ สเตเตอร์ในเฟสเดียวกันจะมีขั้วตรงข้ามคือ ซีก I, II, III เป็นขั้วเหนือ และซีก I, II, III เป็นขั้วใต้ กระแสที่จ่ายให้มอเตอร์จะถูกควบคุมโดย SWITCH เมื่อขดลวดเฟส ถูกกระตุ้น ฟลักซ์แม่เหล็กจะเกิดขึ้นตามรูปที่ 2.4 (จุด A) มอเตอร์จะอยู่ในสถานะสมดุล ถ้ามอเตอร์ถูกแรงภายในทำให้เสียสมดุลก็จะมีแรงบิดเนื่องจากฟลักซ์แม่เหล็กด้านในทิศทางตรงข้าม (RESTORING TORQUE) ตามรูปที่ 2.4 เนื่องจากเส้นแรงแม่เหล็กจะพยายามทำตัวเองให้สั้น และเป็นเส้นตรงมากที่สุดเท่าที่จะทำได้ ดังนั้นในรูปที่ 2.4 เส้นแรงแม่เหล็กจะพยายามทำตัวให้ตรง ดังนั้นจึงมีแรงต้านในทิศทางทวนเข็มนาฬิกา (CCW) เพื่อให้โรเตอร์อยู่ตรงกับสเตเตอร์มากที่สุด



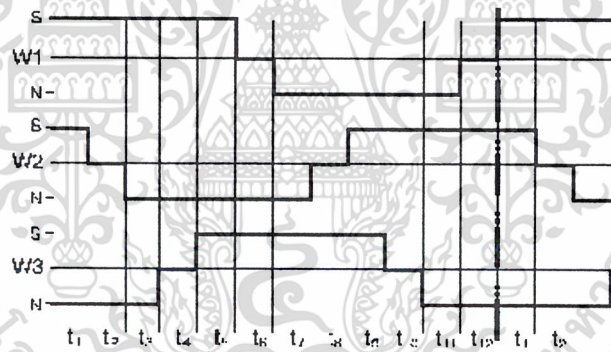
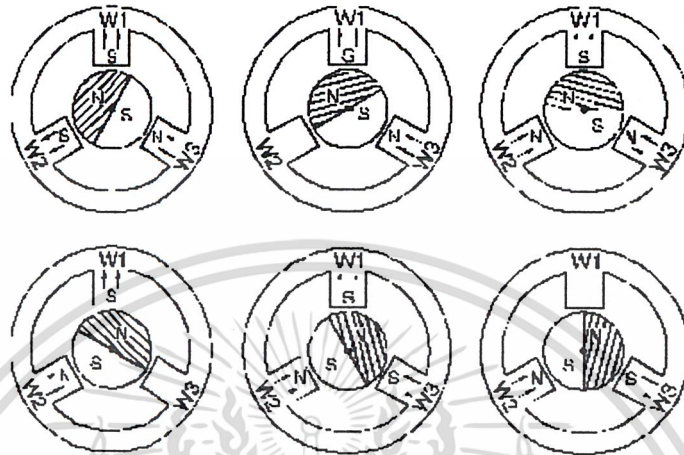
เอกสารนี้เป็นเอกสารที่สงวนไว้สำหรับการใช้งานเพื่อการศึกษาเท่านั้น ไม่อนุญาตให้นำไปใช้ประโยชน์ด้านการค้า
ไม่ว่ากรณีใดๆ ทั้งสิ้น อีกทั้งห้ามนำข้อมูลหรือแนวทางการดำเนินงานไปเผยแพร่หรือใช้ซ้ำโดยไม่ได้รับอนุญาต
รูปที่ 2.4 เส้นโค้งของสนามแม่เหล็กที่ทำให้เกิดแรงบิด

ในการทำงานเดียวกัน ถ้าโรเตอร์และสเตเตอร์ อยู่ไม่เป็นแนวเดียวกัน เฟสที่ถูกกระตุ้น จะมีค่าความต้านทานแม่เหล็ก (MAGNETIC RELUCTANCE) สูง VR MOTOR จะให้ค่าความต้านทานแม่เหล็ก มีค่าต่ำที่สุด จากรูปที่ 2.5 เมื่อเฟส 1 หยุดทำงาน และเฟส 2 ทำงาน โรเตอร์ จะหมุนไปในทิศทางทวนเข็มนาฬิกา (CCW) เพื่อให้ค่าความต้านทานแม่เหล็กต่ำที่สุด การที่มอเตอร์เคลื่อนที่ไปนี้จะเรียกว่า มอเตอร์เคลื่อนที่ไป 1 สเตป (step) การเคลื่อนที่แต่ละสเตป (step) แสดงดังรูปที่ 2.6



รูปที่ 2.5 ลักษณะของการเคลื่อนที่ไป 1 สเตปเมื่อการกระตุ้น ถูกเปลี่ยนจากเฟส 1 ไปเฟส 2

เอกสารนี้เป็นเอกสารที่สงวนไว้สำหรับการใช้งานเพื่อการศึกษาเท่านั้น ไม่อนุญาตให้นำไปใช้ประโยชน์ด้านการค้า ไม่ว่ากรณีใดๆ ทั้งสิ้น อีกทั้งห้ามมิให้ตัดแปลงเนื้อหาและต้องอ้างอิงถึงเจ้าของเอกสารทุกครั้งที่มีการนำไปใช้

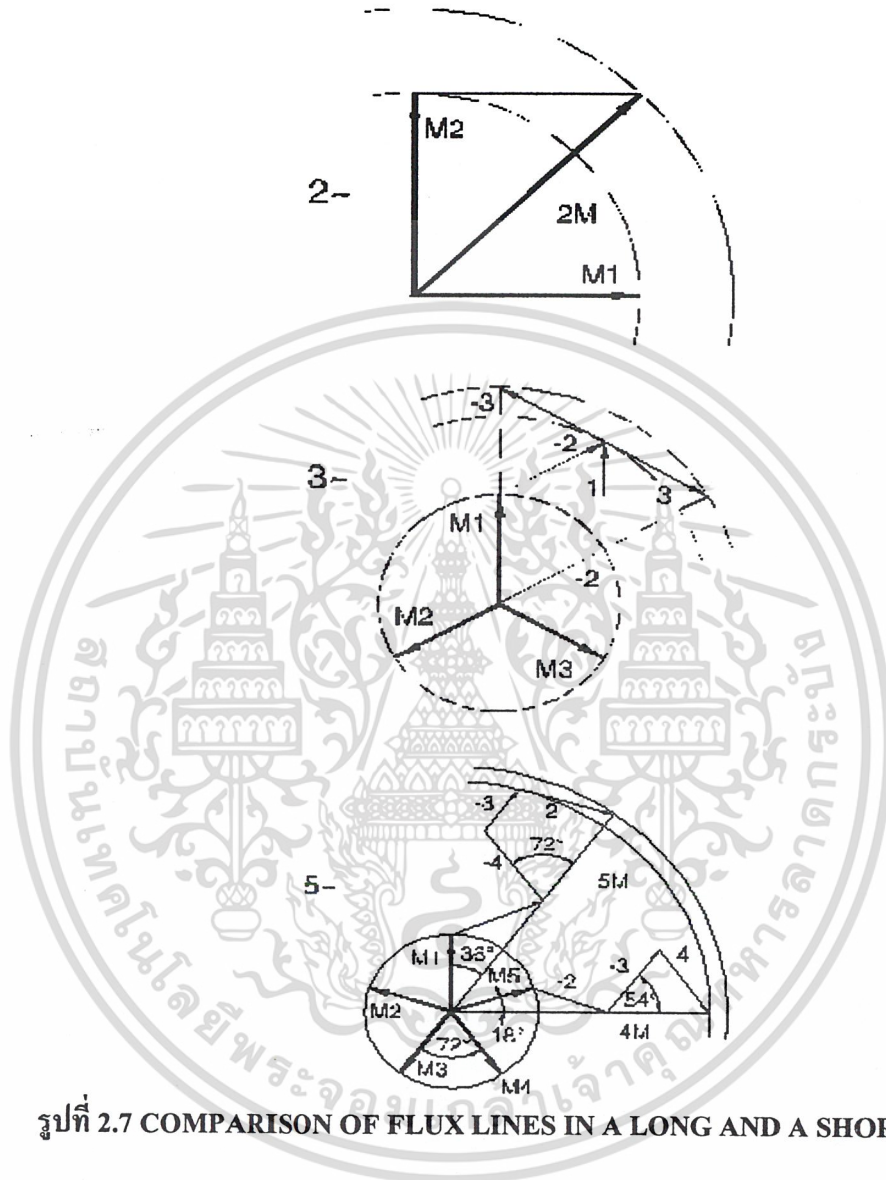


รูปที่ 2.6 การเคลื่อนที่แต่ละสเตปในรูปแบบของการสับสวิตช์
ใน VR MOTOR แบบ 3 เฟส

การพิจารณาโครงสร้างต่างๆของ VR MOTOR

1.AIR-GAP ควรจะมีระยะห่างน้อยที่สุดเท่าที่จะเป็นไปได้ ช่องว่างระหว่างซิกโรเตอร์ และสเตเตอร์ใน STEPPING MOTOR ต้องเล็กที่สุดเท่าที่เป็นไปได้เพื่อให้ได้แรงบิดสูงและ ตำแหน่งการเคลื่อนที่ที่ถูกต้อง ถ้าเปรียบเทียบกับระหว่าง AIR-GAP ที่กว้างและแคบดังในรูป 2.7 เมื่อระดับของแรงเคลื่อนแม่เหล็ก (MAGNETROMOTEVE FORCE) เท่ากัน AIR-GAP

ที่เล็กกว่าจะให้ฟลักซ์แม่เหล็กมากกว่าซึ่งจะได้ TORQUE ที่สูงกว่า ขนาดของ AIR-GAP ในมอเตอร์สมัยใหม่มีค่าระหว่าง 30-100 ไมโครเมตร



รูปที่ 2.7 COMPARISON OF FLUX LINES IN A LONG AND A SHORT GAP

2. มุมของสเตปที่เล็ก ลักษณะอย่างหนึ่งที่ไม่เหมือนใครของ STEPPING MOTOR ก็คือ STEP ของการเคลื่อนที่เป็นมุมที่เล็กมาก มอเตอร์ในรูปที่ 2.3 เคลื่อนที่ 30 องศาต่อสเตป ส่วนความสัมพันธ์ของมุม 1 STEP θ_m จำนวนเฟส m ซีก โรเตอร์ N_r และจำนวน STEP กำหนดโดย

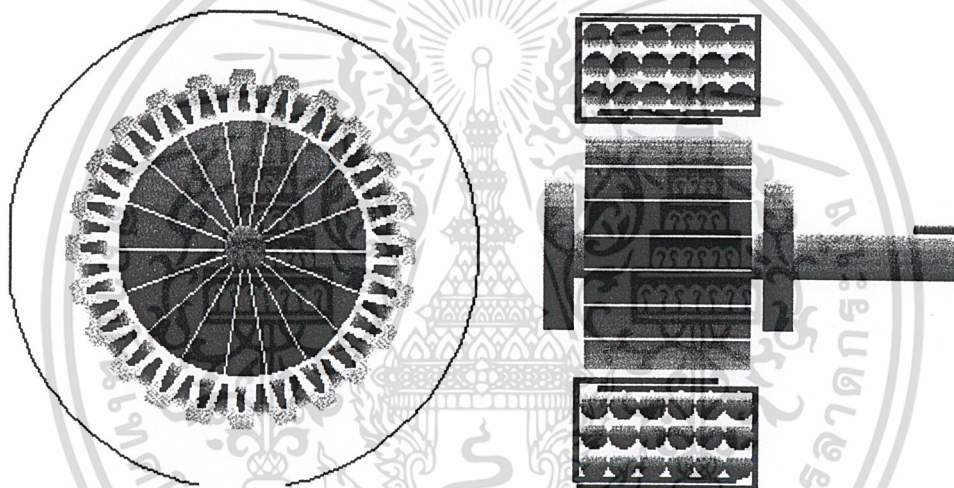
$$S = 360/\theta_m = mN_r$$

เอกสารนี้เป็นเอกสารที่สงวนไว้สำหรับการใช้งานเพื่อการศึกษาเท่านั้น ไม่อนุญาตให้นำไปใช้ประโยชน์ด้านการค้า ไม่ว่ากรณีใดๆ ทั้งสิ้น อีกทั้งห้ามมิให้ตัดแปลงเนื้อหาและต้องอ้างอิงถึงเจ้าของเอกสารทุกครั้งที่มีการนำไปใช้

2.3.2. PM STEPPING MOTOR

STEPPING MOTOR ที่โรเตอร์เป็นแม่เหล็กถาวรจะเรียกว่า PERMANENT MAGNETIC MOTOR (PM) แสดงในรูปที่ 2.8 เป็นตัวอย่างของมอเตอร์ 4 เฟส ที่โรเตอร์เป็นแม่เหล็กถาวร โดยใช้แม่เหล็กถาวรรูปทรงกระบอกทำโรเตอร์ ส่วนสเตเตอร์ 4 ซีกพันด้วยขดลวด ในรูปที่ 2.9 แสดงถึงรูปแบบของวงจรขับมอเตอร์ (DRIVER CIRCUIT) โดยขั้ว C ที่แต่ละเฟส ถูกต่อเข้ากับขั้วบวกของ ไฟเลี้ยง ถ้าเฟสของมอเตอร์ถูกกระตุ้น จาก PH 1 \Rightarrow 2 \Rightarrow 3 ... ไปตามลำดับ จะทำให้โรเตอร์หมุนในทิศทางทวนเข็มนาฬิกา (CW) ตามรูปที่ 2.10 โดยมีมุมในการ

เคลื่อนที่เท่ากับ 90 องศา/STEP และถ้าจำนวนซีกของสเตเตอร์ และขั้วแม่เหล็กของโรเตอร์เพิ่มเป็น 2 เท่า มุมในการเคลื่อนที่จะเป็น 45 องศา/STEP



รูปที่ 2.8 CROSS-SECTION MODEL OF A FOUR-PHASE PM MOTOR

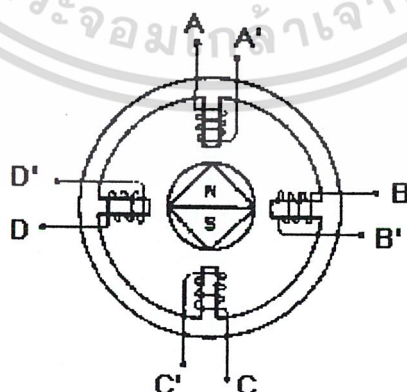
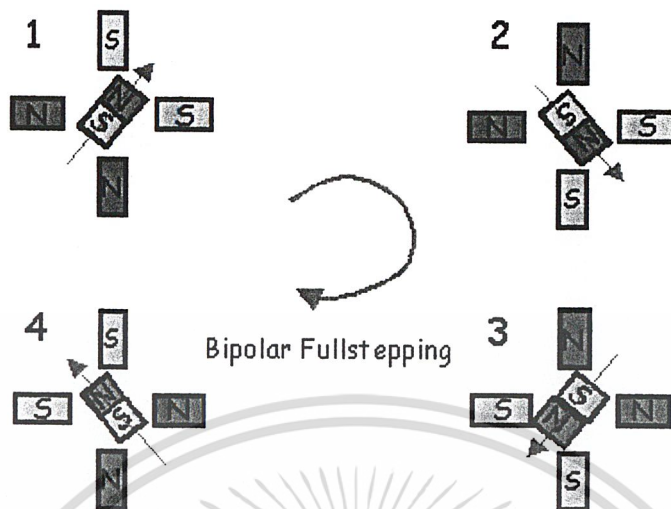


Figure 6: Permanent Magnet Motor

เอกสารนี้เป็นเอกสารที่สงวนไว้สำหรับการใช้งานเพื่อการศึกษาเท่านั้น ไม่อนุญาตให้นำไปใช้ประโยชน์ด้านการค้า
รูปที่ 2.9 BASIC DRIVE CIRCUIT FOR A FOUR-PHASE MOTOR
 ไม่ว่าจะกรณีใดๆ ทั้งสิ้น อีกทั้งห้ามมีเหตุดัดแปลงเนื้อหา และต้องอ้างอิงถึงเจ้าของเอกสารทุกครั้งที่มีการนำไปใช้

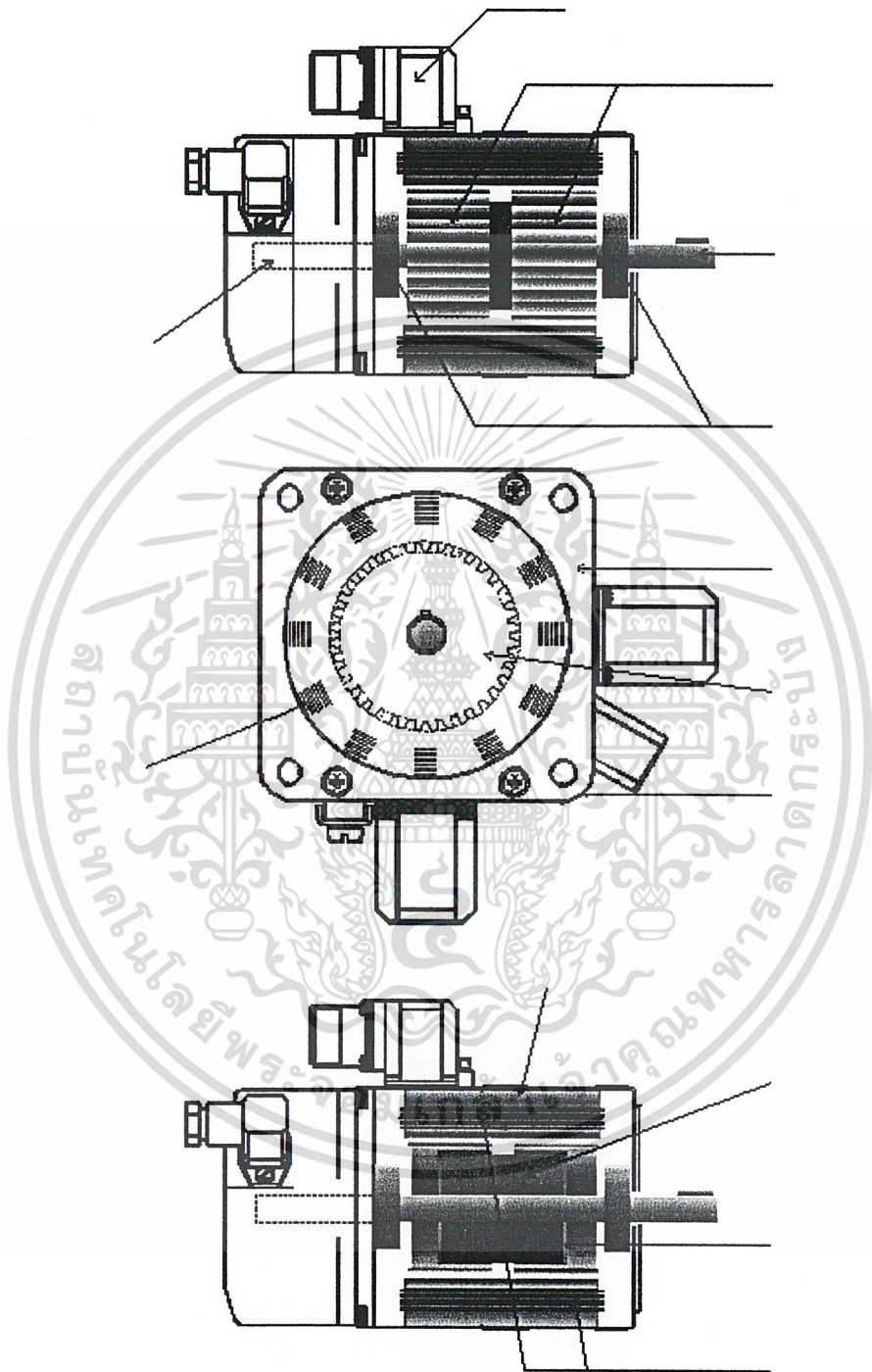


รูปที่ 2.10 STEPS IN A FOUR-PHASE PM MOTOR

2.3.3. HYBRID STEPPING MOTOR

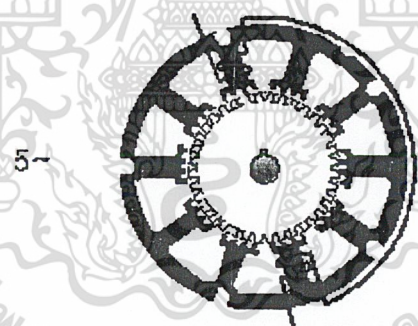
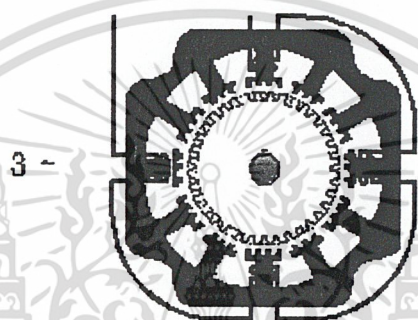
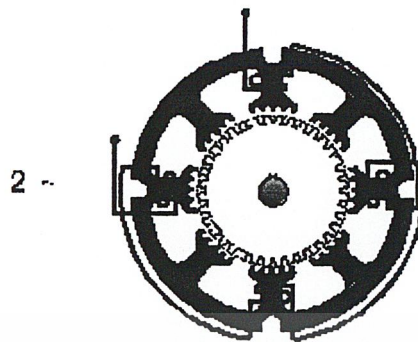
STEPPING MOTOR อีกแบบหนึ่งที่ใช้โรเตอร์เป็นแม่เหล็กถาวร คือ HYBRID MOTOR คำว่า “HYBRID” มาจากการที่มอเตอร์ทำงานโดยใช้หลักของแม่เหล็กถาวรและมอเตอร์แบบ VARIABLE-RELUCTANCE รูปตัดมอเตอร์แสดงในรูปที่ 2.11 และ 2.12

เอกสารนี้เป็นเอกสารที่สงวนไว้สำหรับการใช้งานเพื่อการศึกษาเท่านั้น ไม่อนุญาตให้นำไปใช้ประโยชน์ด้านการค้า
ไม่ว่ากรณีใดๆ ทั้งสิ้น อีกทั้งห้ามมิให้ตัดแปลงเนื้อหาและต้องอ้างอิงถึงเจ้าของเอกสารทุกครั้งที่มีการนำไปใช้



รูปที่ 2.11 CUT AWAY VIEW OF A HYBRID MOTOR

เอกสารนี้เป็นเอกสารที่สงวนไว้สำหรับการใช้งานเพื่อการศึกษาเท่านั้น ไม่อนุญาตให้นำไปใช้ประโยชน์ด้านการค้า
ไม่ว่ากรณีใดๆ ทั้งสิ้น อีกทั้งห้ามมิให้ตัดแปลงเนื้อหาและต้องอ้างอิงถึงเจ้าของเอกสารทุกครั้งที่มีการนำไปใช้



รูปที่ 2.12 โครงสร้างของ HYBRID MOTOR

โครงสร้างของ สเตเตอร์ เหมือนกับ VR แต่การพันขดลวดและการต่อห่างจาก VR MOTOR คือใน VR MOTOR ขดลวด 1 ชุด จะพันกับ POLE 1 POLE และ 1 PHASE ขณะที่ HYBRID MOTOR 4 PHASE จะมี COIL 2 ชุด ที่เฟสต่างกันพื้นที่ POLE เดียวกัน ดังเช่น ในรูปที่ 2.12 ดังนั้น 1 POLE จะเป็นได้ทั้ง 2 PHASE

ขดลวดที่พันในลักษณะดังกล่าวเรียกว่า BIFILAR ซึ่งจะกล่าวต่อไป โดยทั่วไปมอเตอร์แบบ HYBRID นี้ในทางอุตสาหกรรมที่นิยมใช้จะเป็น 4 PHASE 200 STEP หมุน

1.8 องศา/STEP ส่วนมอเตอร์อื่นๆจะเป็น 2 องศา/STEP หรือ 5 องศา/STEP

เอกสารนี้เป็นเอกสารที่สงวนไว้สำหรับการใช้งานเพื่อการศึกษาเท่านั้น ไม่อนุญาตให้นำไปใช้ประโยชน์ด้านการค้า ไม่ว่ากรณีใดๆ ทั้งสิ้น อีกทั้งห้ามมิให้ตัดแปลงเนื้อหาและต้องอ้างอิงถึงเจ้าของเอกสารทุกครั้งที่มีการนำไปใช้

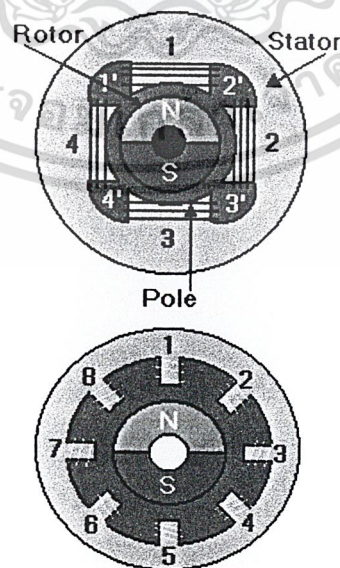
2.4 การกระตุ้นเฟสขดลวดสเตเตอร์

เมื่อเฟสใดเฟสหนึ่งของมอเตอร์ ถูกกระตุ้นด้วยกระแสไฟตรง (Direct Current DC) ที่สเตเตอร์ก็จะเกิดความ เป็นแม่เหล็กขึ้นและดึงให้ฟันของโรเตอร์ที่อยู่ใกล้กับเฟสนั้นที่สุดให้มาตรงกับฟันของสเตเตอร์ที่ถูกกระตุ้น เพราะตำแหน่งนี้คือตำแหน่งที่มี Reluctance ต่ำที่สุดและมอเตอร์ จะอยู่ในสภาวะคงตัว

รูปที่ 2.13 ก. แสดงให้เห็นตำแหน่งของโรเตอร์เมื่อเฟส C ถูกกระตุ้น ถ้าหากว่าตัดไฟ จากเฟส C แล้วกระตุ้นเฟส B แทนที่จะทำให้ฟันของโรเตอร์ที่อยู่ใกล้เฟส B ที่สุดถูกดึงเข้ามา ตรงกับฟันสเตเตอร์ของเฟส B ดังแสดงไว้ในรูปที่ 2.13 ข. การเปลี่ยนเฟสนี้จะทำให้มอเตอร์ หมุนไป 1 ขั้น ซึ่งในกรณีนี้ 1 ขั้นจะเท่ากับ 15 องศาในทิศทางทวนเข็มนาฬิกา

การกระตุ้นเฟส A ตามรูปที่ 2.13 ค. จะทำให้มอเตอร์หมุนไปอีก 15 องศา ในทิศทางทวนเข็มนาฬิกา แต่ถ้าหากว่ากระตุ้นเฟส C แทนที่จะกระตุ้นเฟส A มอเตอร์ก็จะหมุน กลับไปในทิศทางตามเข็มนาฬิกาหนึ่งขั้น และตำแหน่งของโรเตอร์จะกลับไปตำแหน่งเดิม ในรูปที่ 2.13 ก.

เมื่อมีการกระตุ้นเฟส B และหยุดกระแสไฟที่เฟส C มอเตอร์จะหมุนไปที่หนึ่งขั้นเป็นมุมที่ แน่นอน มุมนี้เรียกว่า มุมสเตป (Step Angle) และถ้าหากว่าเฟส A ถูกกระตุ้นและหยุดการกระตุ้น ที่เฟส B ในเวลาต่อมาก็จะทำให้มอเตอร์หมุนไปอีกหนึ่งสเตป ดังนั้นตำแหน่งเชิงมุมของโรเตอร์ สามารถจะควบคุมได้โดยการเลือกจ่ายกระแสไฟให้แต่ละเฟสตามลำดับ ถ้าหากว่าการสลับเฟส ไปอย่างต่อเนื่อง ทิศทางการหมุน และความเร็วเฉลี่ยก็สามารถควบคุมได้โดยระบบสลับเฟส ซึ่งระบบสลับเฟสนี้อาจเป็นไมโครคอมพิวเตอร์หรือไมโครโปรเซสเซอร์ หรือระบบลอจิกไฟฟ้า ก็ได้ จำนวนสเตปต่อรอบสามารถหาได้จากข้อมูลทางเรขาคณิตของมอเตอร์ ดังตัวอย่างต่อไปนี้



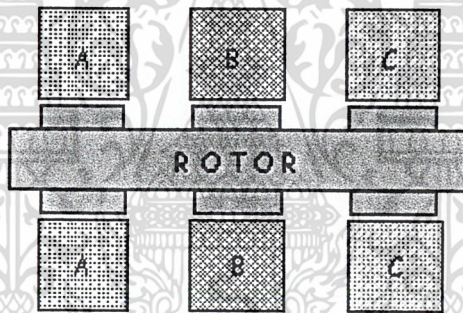
เอกสารนี้เป็นเอกสารที่สงวนไว้สำหรับการใช้งานเพื่อการศึกษาเท่านั้น ไม่อนุญาตให้นำไปใช้ประโยชน์ด้านการค้า
ไม่ว่ากรณีใดๆ ทั้งสิ้น อีกทั้งห้ามทำซ้ำโดยไม่ขออนุญาตจากเจ้าของเอกสารทุกครั้งที่มีการนำไปใช้

รูปที่ 2.13 โครงสร้างภายในของสเตปมอเตอร์แบบ VR

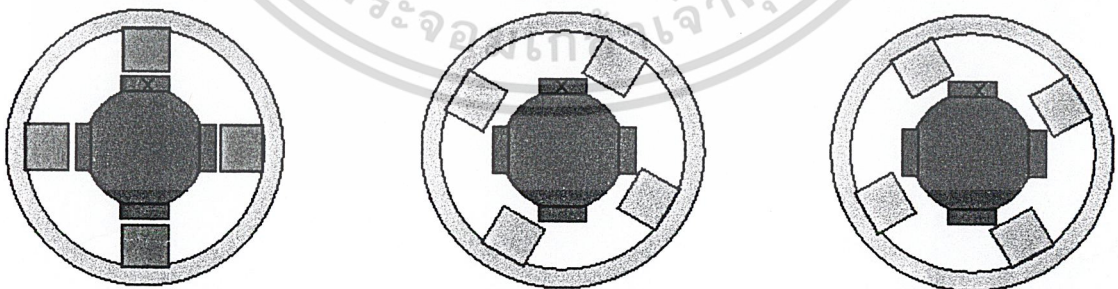
สมมติว่าลำดับการกระตุ้นของมอเตอร์เริ่มจากเฟสหนึ่งของมอเตอร์ที่มี m เฟส เมื่อกระตุ้นไปจนครบ m เฟสแล้ว และเฟสที่เริ่มต้นถูกกระตุ้นอีกครั้งก็หมายความว่ามอเตอร์หมุนไปแล้วเป็นจำนวน m สเตป ขณะที่ตัวโรเตอร์จะหมุนไป 1 ช่องฟันพอดี การที่ต้องใช้การกระตุ้น m ครั้ง เพื่อหมุนมอเตอร์ไปหนึ่งช่องฟันนั้นการหมุนหนึ่งรอบเต็มจึงต้องใช้การกระตุ้นเป็นจำนวน mN_r ครั้ง โดยที่ N_r เป็นจำนวนฟันของโรเตอร์

ดังนั้นจำนวนสเตปต่อรอบ S จะเท่ากับ mN_r ในรูปที่ 2.16 ค่าของ $N_r = 8$ และ $m = 3$ ซึ่งก็จะทำให้ค่า $S = 8 * 3 = 24$ สเตปต่อรอบ มุมสเตปจึงเป็น $360/24 = 15$ องศา

มอเตอร์ในรูปที่ 2.13 เป็นมอเตอร์แบบชั้นเดียว โดยที่ทั้งสามเฟสอยู่ในระนาบเดียวกันหมด มอเตอร์อีกแบบหนึ่งคือแบบหลายชั้น (Multi-Stack) ซึ่งแต่ละชั้นจะหมายถึงหนึ่งเฟส และโรเตอร์กับสเตเตอร์จะมีจำนวนฟันเท่ากัน รูปที่ 2.14 แสดงให้เห็นถึงภาคหน้าตัดตามยาวของมอเตอร์แบบ 3 ชั้น และรูปหน้าตัดทางขวาง แสดงไว้ในรูปที่ 2.15 ในรูปนี้ฟันของสเตเตอร์จะจัดเป็น 4 กลุ่ม และฟันของโรเตอร์จะจัดเรียงอย่างสม่ำเสมอ ฟันสเตเตอร์และโรเตอร์มีมุมเท่ากัน ดังนั้นจึงจัดเรียงดังในรูปได้



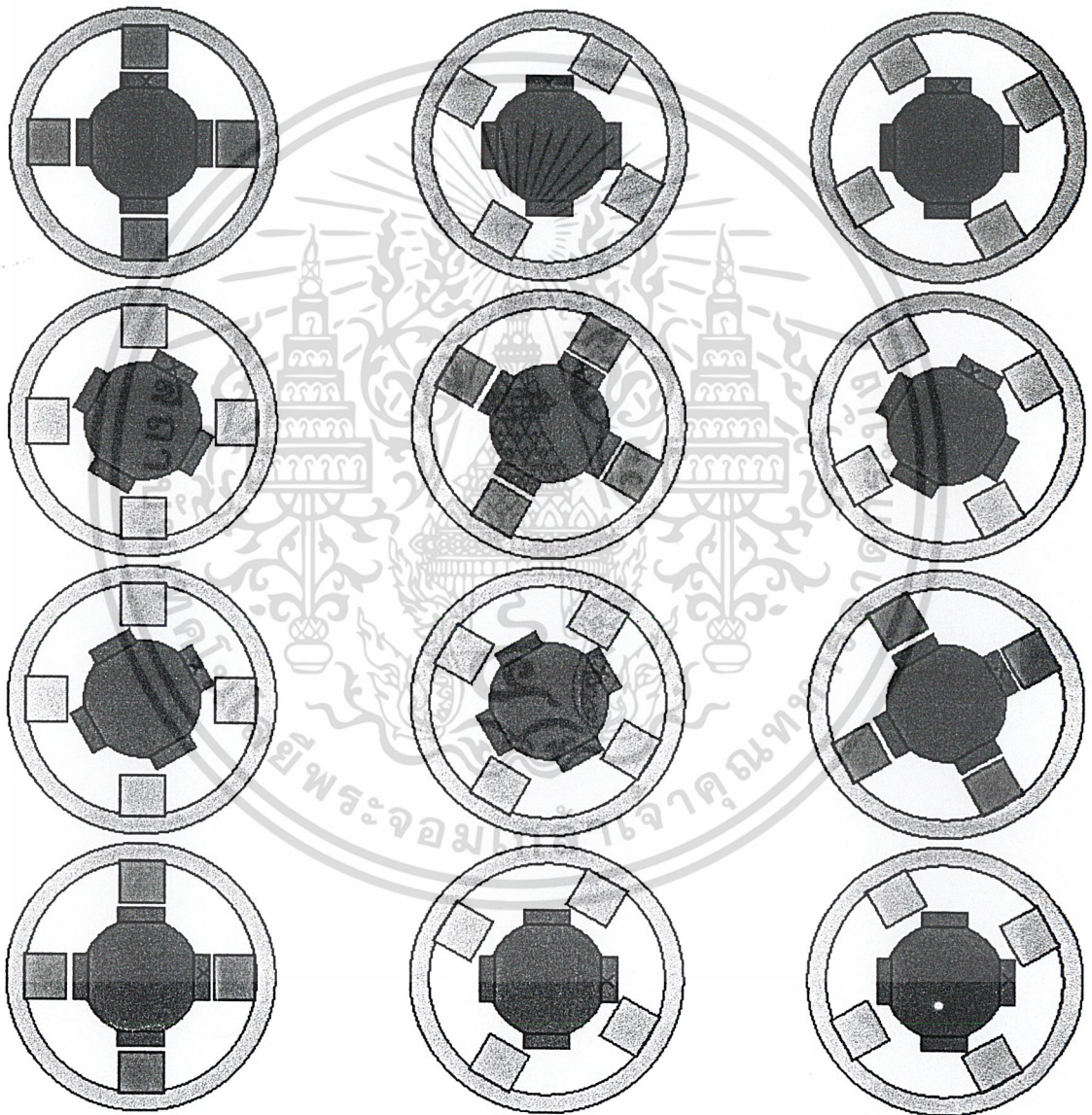
รูปที่ 2.14 ภาคหน้าตัดตามยาวของสเตปมอเตอร์แบบหลายชั้น



รูปที่ 2.15 ภาคหน้าตัดตามขวางของสเตปมอเตอร์แบบหลายชั้น

การจัดเรียงของโรเตอร์ในทั้งสามชั้นของมอเตอร์แบบนี้จะตรงกันหมด แต่สเตเตอร์ของแต่ละอันจะเอียงกันเป็นมุม $360/mN_r$ เมื่อ N_r เป็นจำนวนฟันของโรเตอร์ และ m คือจำนวนเฟส หรือ เอกสารนี้เป็นเอกสารที่สงวนไว้สำหรับการใช้งานเพื่อการศึกษาเท่านั้น เมื่อนักเรียนเห็นไปใช้ประโยชน์ด้านการค้า ไม่ว่าจะกรณีใดๆ ทั้งสิ้น อีกทั้งห้ามมิให้ดัดแปลงเนื้อหาและต้องอ้างอิงถึงเจ้าของเอกสารทุกครั้งที่มีการนำไปใช้

จำนวนชั้นของมอเตอร์ สำหรับมอเตอร์สามชั้นในรูปที่ 2.15 นั้น ถ้าคลี่ออกมาจะเห็นเป็นรูปที่ 2.16 โดยอยู่ในสภาพที่โรเตอร์จะตรงกับฟันของสเตเตอร์ A ถ้าหากว่าเฟส B ถูกกระตุ้น โรเตอร์จะหมุนไป 10 ในทิศทางที่แสดงไว้ในรูป และถ้าหากว่ากระตุ้นเฟส C โรเตอร์จะหมุนกลับทางไป 10 การกระตุ้นด้วยลำดับ A B C A B จะทำให้มอเตอร์หมุนไปทิศทางที่บ่งไว้ในรูป และการกระตุ้นด้วยลำดับ A C B A C จะทำให้หมุนกลับทิศทาง ดังนั้นการควบคุมทิศทางจะทำได้ สำหรับมอเตอร์ที่มีสามเฟสหรือมากกว่า



รูปที่ 2.16 ตำแหน่งของโรเตอร์และสเตเตอร์ของมอเตอร์ 3 ชั้น

มอเตอร์แบบสเตปเปอร์นี้สามารถจะมีมุมสเตปน้อยได้ สำหรับมอเตอร์ที่ใช้กันมากจะมี
 เอกสารที่... โรเตอร์ที่มีฟัน 50 ฟัน และขับด้วยคอยล์ 4 เฟส ซึ่งก็ทำให้ได้มุมสเตปเป็น 1.8 องศา
 ไม่ว่าจะกรณีใดๆ ทั้งสิ้น อีกทั้งห้ามมิให้คัดแปลงเนื้อหาและต้องอ้างอิงถึงเจ้าของเอกสารทุกครั้งที่มีการนำไปใช้

โดยทั่วไปการกระตุ้นเฟสของขดลวดสเตเตอร์มีอยู่ 3 แบบคือ

1. การกระตุ้นเฟสเดียวเรียกว่า single phase excitation ดังรูปที่ 2.20
2. การกระตุ้นสองเฟสเรียกว่า two phase excitation ดังรูปที่ 2.21
3. การกระตุ้นเฟสโดยใช้แบบ 1 และ 2 สลับกันเรียกว่า แบบ one-two-phase excitation หรือแบบ half step excitation ดังรูปที่ 2.22

สัญญาณclockที่	R	1	2	3	4	5	6	7	8
เฟสที่ 1	X			X			X		
เฟสที่ 2		X			X			X	
เฟสที่ 3			X			X			X

ตารางที่ 2.20 แสดงการกระตุ้นแบบเฟสเดียว

สัญญาณclockที่	R	1	2	3	4	5	6	7	8
เฟสที่ 1	X	X		X	X		X	X	
เฟสที่ 2		X	X		X	X		X	
เฟสที่ 3			X	X		X	X		

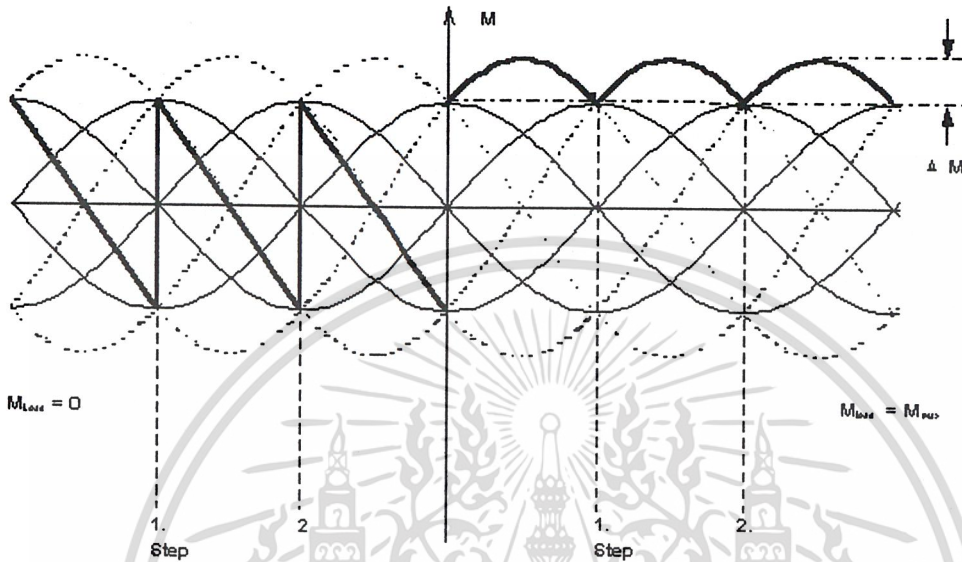
ตารางที่ 2.21 แสดงการกระตุ้นแบบสองเฟส

สัญญาณclockที่	R	1	2	3	4	5	6	7	8
เฟสที่ 1	X	X					X	X	X
เฟสที่ 2		X	X	X					X
เฟสที่ 3				X	X	X			

ตาราง 2.22 แสดงการกระตุ้นแบบครึ่งสเตป

เอกสารนี้เป็นเอกสารที่สงวนไว้สำหรับการใช้งานเพื่อการศึกษาเท่านั้น ไม่อนุญาตให้นำไปใช้ประโยชน์ด้านการค้า
ไม่ว่ากรณีใดๆ ทั้งสิ้น อีกทั้งห้ามมิให้ตัดแปลงเนื้อหาและต้องอ้างอิงถึงเจ้าของเอกสารทุกครั้งที่มีการนำไปใช้

ในทางจับแบบกระตุ้น 2 เฟส เส้นแรงแม่เหล็กจะไม่ผ่านแกนเหล็กเป็นเส้นตรงเลยทีเดียว เหมือนแบบกระตุ้นเฟสเดียว แต่จะวกกลับมาเข้าสู่ด้านข้างๆ ดังรูปที่ 2.23



รูปที่ 2.17 แสดงเส้นแรงแม่เหล็กเมื่อจับแบบ 2 เฟส

การจับสเตปป์ึงมอเตอร์แบบกระตุ้น 2 เฟสนี้มีลักษณะเดียวกับแบบกระตุ้นเฟสเดียว แต่ในการกระตุ้นแต่ละครั้งนั้นจะกระตุ้นที่เดียวพร้อมกันทั้ง 2 เฟส จะต่างกันตรงที่การจับแบบ 2 เฟส เข้าตำแหน่งได้เร็วกว่าแบบเฟสเดียว และแรงบิดมากกว่าการจับแบบเฟสเดียวด้วย

2.5 ตัวแปรที่สำคัญของมอเตอร์

มุมสเตป (Step Angle): การจับสเตปมอเตอร์นั้นกระทำได้โดยการกระตุ้นแต่ละเฟสตามลำดับและในการเปลี่ยนเฟสแต่ละครั้ง เฟลาของมอเตอร์จะหมุนไปเป็นมุมที่มีค่าคงที่ มุมนี้เรียกว่า มุมสเตป หรือ θ , สเตปมอเตอร์อาจมีมุมได้ดังต่อไปนี้คือ $18^\circ, 15^\circ, 7.5^\circ, 5^\circ, 2.5^\circ, 2.0^\circ, 1.8^\circ, 0.9^\circ$ หรือ 0.72°

เอกสารนี้เป็นเอกสารที่สงวนไว้สำหรับการใช้งานเพื่อการศึกษาเท่านั้น ไม่อนุญาตให้นำไปใช้ประโยชน์ด้านการค้า ไม่ว่ากรณีใดๆ ทั้งสิ้น อีกทั้งห้ามมิให้ตัดแปลงเนื้อหาและต้องอ้างอิงถึงเจ้าของเอกสารทุกครั้งที่มีการนำไปใช้

จำนวนสเตปต์รอบ : ค่านี้คือ จำนวนสเตปต์รวมที่จะต้องใช้เพื่อหมุนมอเตอร์ไปหนึ่งรอบพอดี ดังนี้

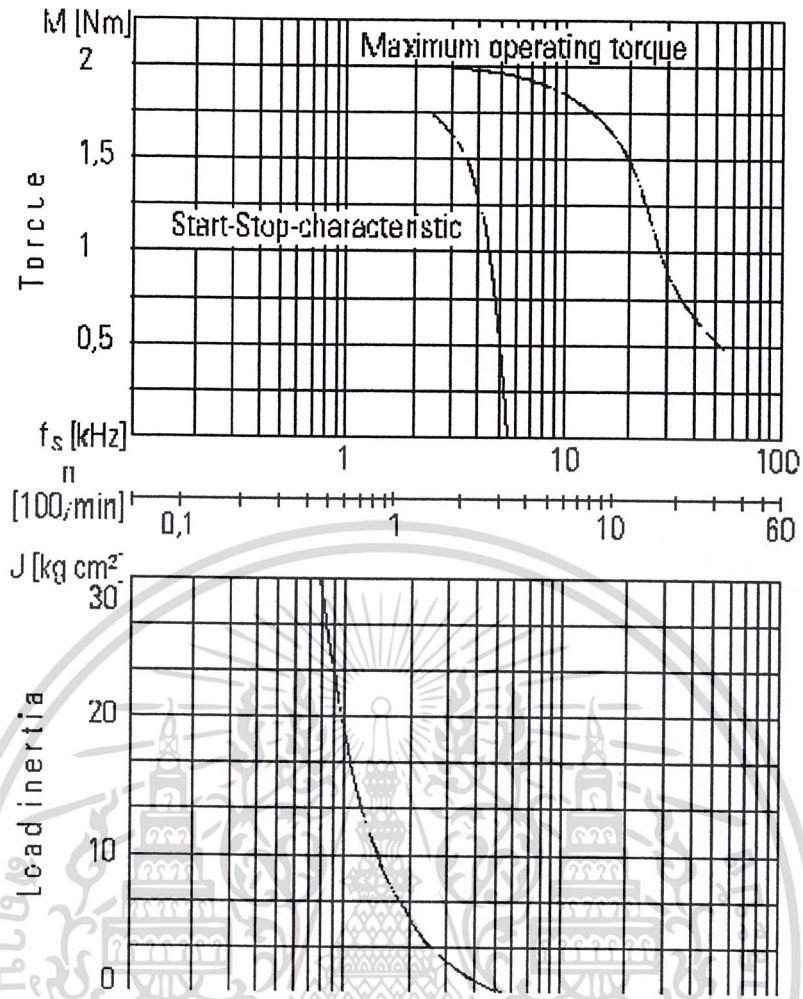
$$\text{จำนวนสเตปต์รอบ } S = 360/\theta$$

อัตราการสเตป (Stepping Rate) : ตัวเลขนี้ คือจำนวนสเตปต์ต่อวินาทีซึ่งมอเตอร์ทำได้ที่แรงบิดใดแรงบิดหนึ่ง ถ้าหากว่าการขับเคลื่อนมอเตอร์ใช้อัตราการสเตปสูงกว่าที่มอเตอร์จะทำได้ จะทำให้การควบคุมตำแหน่งมุมของมอเตอร์ผิดพลาดและการทำงานไม่ได้ผล มอเตอร์พิเศษบางชนิดอาจมีอัตราการสเตปสูงถึง 20,000 สเตปต์ต่อวินาทีก็ได้

ความแน่นอนของสเตป (Step Accuracy) : ความแน่นอนในการสเตปของมอเตอร์ต่างๆ จะอยู่ในช่วง 7% ของมุมสเตป โดยความผิดพลาดนี้จะไม่ทวีคูณ ดังนั้นมอเตอร์ที่มุมสเตป 7.5° จะสามารถควบคุมตำแหน่งเชิงมุมได้โดยมีความแน่นอน 0.5° ไม่ว่าจะขับเคลื่อนให้หมุนไป 7.5° หรือว่า 7,500° หรือ 1,000 สเตป ความผิดพลาดของมุมสเตปจะไม่ทวีคูณและจะมีค่าเฉลี่ยเป็นศูนย์เมื่อแรงบิดคงที่ และจากการหมุนไปแล้วสี่เฟส สำหรับมอเตอร์แบบสี่เฟสนั้นก็เพราะว่า เมื่อหมุนไปที่สเตป มอเตอร์จะกลับไปเฟสเดิมพอดี ซึ่งก็หมายความว่าโรเตอร์จะถูกดึงด้วยสเตเตอร์เดิมด้วยกระแสและแรงดันเดิม ดังนั้นถ้าต้องการความแน่นอนสูง การขับเคลื่อนจะกระทำเป็นค่าที่หารด้วยสี่ลงตัว

แรงบิด (Torque) : แรงบิดที่มอเตอร์ใดๆ สามารถทำได้จะขึ้นอยู่กับอัตราการสเตป กระแสที่ใช้ขับ วิธีการขับ และการออกแบบวงจรขับ แรงบิดอาจแยกได้เป็น แรงบิดสถิตย์ (Static Torque หรือ Holding Torque) และแรงบิดจลน์ (Dynamic Torque)

แรงบิดสถิตย์ (Holding Torque) : แรงบิดสถิตย์คือแรงบิดที่กระทำจากภายนอกเพื่อให้มอเตอร์หมุนไปหนึ่งสเตปในขณะที่มอเตอร์หยุดนิ่ง และถูกกระตุ้นด้วยกระแสเต็มตามที่ตามข้อมูลจำเพาะของมอเตอร์ ดังนั้นแรงบิดสถิตย์อาจแปลได้ว่าเป็นความสามารถในการเบรคหรือยึดโรเตอร์ไว้ที่ตำแหน่งใดตำแหน่งหนึ่ง แรงบิดสถิตย์นี้มีค่าสูงกว่าแรงบิดขณะหมุน



รูปที่ 2.18 กราฟแรงบิดกับความเร็วของสเตปมอเตอร์ตัวหนึ่ง

แรงบิดจลน์ (Dynamic Torque) : รูปที่ 2.18 แสดงถึงกราฟแรงบิดกับอัตราการสเตปของสเตปมอเตอร์ตัวหนึ่ง กราฟแรงบิดโดยทั่วไปแล้วจะมีสองเส้น เส้นหนึ่งคือ เส้นที่หมายถึงความสามารถของมอเตอร์ที่จะเริ่มหมุนโดยไม่มีการผิดพลาด (Start without Error) ซึ่งบางครั้งเส้นนี้เรียกว่าเป็นเส้นแรงบิดดึงเข้า (Pull-in Torque) กราฟเส้นนี้แสดงเป็นเส้นประ ในรูป อีกเส้นหนึ่งแสดงเป็นเส้นทึบคือ แรงบิดขณะหมุน (Running Torque) ซึ่งบางครั้งเรียกว่า แรงบิดดึงออก (Pull-out Torque) แรงบิดนี้คือ แรงบิดที่มอเตอร์ทำได้ขณะหมุน แต่ถ้ามอเตอร์เริ่มหมุนด้วยความเร็วนี้ทันทีก็อาจเกิดการหมุนข้ามสเตปได้ การที่จะไปถึงจุดแรงหมุนขณะบิดได้ การขับจะต้องค่อยๆ เร่งมอเตอร์จากแรงบิดดึงเข้าจนกระทั่งความเร็วถึงจุดแรงบิดดึงออก กราฟความเร็วกับแรงบิดเป็นตัวแปรสำคัญในการเลือกมอเตอร์ให้เหมาะสมกับงานที่ทำ

2.6 การเกิดออสซิลเลเตอร์ของสเตปป์ิงมอเตอร์

ความเร็วของการหมุนของสเตปป์ิงมอเตอร์เป็นลิเนียร์กับความถี่ที่ป้อนให้สเตปป์ิงมอเตอร์ แต่เมื่อป้อนความถี่เพิ่มขึ้นเรื่อยๆ จนถึงความถี่ค่าหนึ่ง สเตปป์ิงมอเตอร์ก็จะหยุดหมุน เนื่องจากการที่โรเตอร์หมุนตามฟลักซ์แม่เหล็กไม่ทัน เรียกว่า มอเตอร์เกิดการออสซิลเลต ซึ่งมอเตอร์แต่ละตัว จะออสซิลเลตที่ความถี่ต่างกัน โดยทั่วไปจะออสซิลเลตที่ความถี่ประมาณ 500 Hz ในการขับแบบ กระตุ้นแบบ 1 หรือ 2 เฟส และมีความถี่ประมาณ 1 KHz เมื่อขับแบบครึ่งสเตป

แต่เมื่อลดความถี่ให้ต่ำลงมอเตอร์จะไม่หมุนทันทีและเมื่อลดความถี่ลงจนถึงความถี่หนึ่ง มอเตอร์จึงเริ่มหมุนอีกครั้ง นั่นคือ มอเตอร์มีฮิสเทอรีซิส ซึ่งมอเตอร์จะเริ่มหมุนที่ความถี่ประมาณ 200 Hz ในการขับแบบ 1 หรือ 2 เฟส และมีความถี่ประมาณ 150 Hz เมื่อขับแบบครึ่งสเตป



เอกสารนี้เป็นเอกสารที่สงวนไว้สำหรับการใช้งานเพื่อการศึกษาเท่านั้น ไม่อนุญาตให้นำไปใช้ประโยชน์ด้านการค้า
ไม่ว่ากรณีใดๆ ทั้งสิ้น อีกทั้งห้ามมิให้ตัดแปลงเนื้อหาและต้องอ้างอิงถึงเจ้าของเอกสารทุกครั้งที่มีการนำไปใช้

บทที่ 3

รายละเอียดของปฏิญานิพนธ์

3.1 กล่าวนำ

ปฏิญานิพนธ์นี้เป็นการควบคุม STEPPING MOTOR โดยเครื่องคอมพิวเตอร์ส่วนบุคคล (Personal Computer) ผ่านทางSerial Port และ Micro-controller (PC89C51RD2) ซึ่งจะมีการรับคำสั่งในการควบคุมมอเตอร์จากทาง โปรแกรม Visual Basic และมีการแสดงการเคลื่อนที่ของมอเตอร์ทางจอภาพ โดยใช้โปรแกรม Visual Basic เป็นตัว compiler

3.2 ระบบที่ใช้ในการทำงาน

3.2.1 เครื่องไมโครคอมพิวเตอร์ PC รุ่นใดก็ได้เป็นตัวประมวลผลกลาง ต้องมี Serial พอร์ต 1 ช่องขึ้นไป

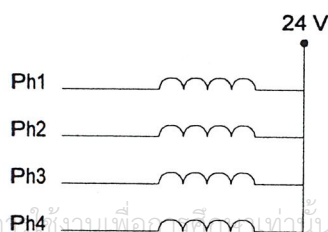
3.2.2 การเขียนโปรแกรมจะใช้โปรแกรม Visual Basic เป็นตัวควบคุมการทำงานจาก PC และ ใช้โปรแกรม Assembly เป็นชุดคำสั่งภายใน Micro-controller

3.3 หลักการทำงานของวงจรของ Micro-Controller ในการควบคุม stepping motor โดยใช้โปรแกรม Assemble

ปฏิญานิพนธ์นี้จะ Micro-Controller 1 ตัวเป็นตัวประมวลผลกลาง รับชุดคำสั่งจาก Computer ผ่านทาง Serial Port

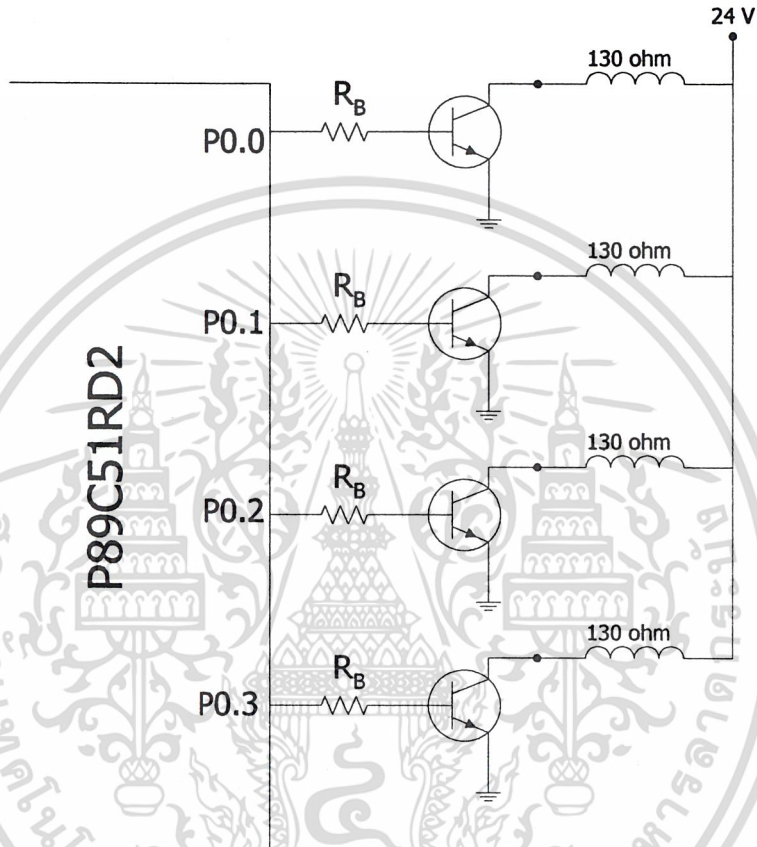
3.4 วงจรขับสเตปมอเตอร์

สเตปมอเตอร์ที่ใช้ในปฏิญานิพนธ์นี้มีจำนวนเฟสทั้งหมด 4 เฟส ใช้ไฟฟ้ากระแสตรง ขนาด 24 โวลต์ ความต้านทานของขดลวดในแต่ละเฟสมีขนาด 130โอห์ม และใช้ทรานซิสเตอร์เบอร์ BD 139 ในการขับมอเตอร์โดยให้ทำงานที่จุด saturation และ cutt off หรือทำงานในโหมด switch ลักษณะของมอเตอร์ที่ใช้งานมีโครงสร้างพื้นฐาน ดังแสดงในรูปที่ 3.2



เอกสารนี้เป็นเอกสารที่สงวนไว้สำหรับงานเพื่อการศึกษาเท่านั้น ไม่อนุญาตให้นำไปใช้ประโยชน์ด้านการค้า
ไม่ว่ากรณีใดๆทั้งสิ้น **รูปที่ 3.2 แสดงโครงสร้างพื้นฐานของสเตปมอเตอร์**

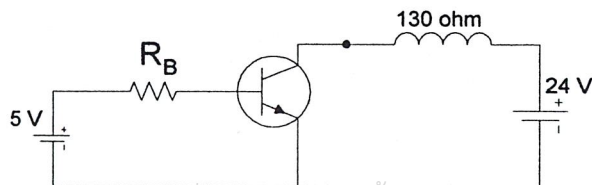
เมื่อทราบโครงสร้างพื้นฐานของสเตปมอเตอร์แล้วหลังจากนั้นก็ต่อขา collector ของทรานซิสเตอร์เบอร์ BD 139 เข้ากับแต่ละเฟสของขดลวด โดยต่อขา emitter ลง ground ส่วนขา base ต่อเข้ากับ R_B และนำไปต่อเข้ากับขาพอร์ตของ IO ของ P89C51RD2 ดังแสดงในรูป 3.3



รูปที่ 3.3 ลักษณะการต่อวงจรขับเคลื่อนมอเตอร์เข้ากับแต่ละเฟสของขดลวดของมอเตอร์ 1 ตัว

การคำนวณหาค่า R_B

จากที่กล่าวมาแล้วว่าปริมาณนิพจน์นี้จะกำหนดให้ทรานซิสเตอร์ทำงานในโหมด switch มีหลักการในการออกแบบคือให้ค่า I_B มีค่ามากพอที่จะทำให้เกิด I_C saturation



เอกสารนี้เป็นเอกสารที่สงวนไว้สำหรับการใช้งานเพื่อการศึกษาเท่านั้น ไม่อนุญาตให้นำไปใช้ประโยชน์ด้านการค้า
ไม่ว่ากรณีใดๆ ทั้งสิ้น อีกทั้งห้ามนำข้อมูลไปเผยแพร่หรือใช้ข้อมูลนี้เพื่อวัตถุประสงค์อื่นใด เว้นแต่จะขออนุญาตจากเจ้าของเอกสารทุกครั้งที่มีการนำไปใช้

รูปที่ 3.4 แสดงวงจรที่ใช้ในการคำนวณหาค่า R_B

จากรูปแรงดัน 5 โวลต์ที่ต่อเข้ากับ R_B นั้นเป็นแรงดันที่จ่ายมาจาก P89C51RD2 ค่า Current Gain ของทรานซิสเตอร์เบอร์ BD139 นั้นมีค่าประมาณ 100 (อ้างอิงจากหนังสือ ECG Semiconductors 16th Edition โดยการเทียบเบอร์จากหน้า 2-169 และดูค่า Current Gain หน้า 1-47)

การคำนวณขั้นแรกให้หาค่า I_C saturation ก่อน โดยการให้ค่า V_{CE} มีค่าเท่ากับ 0 จะได้

$$I_{Csat} = \frac{V_{CC}}{R_C}$$

จากรูป 3.4 V_{CC} มีค่าเท่ากับ 24 V ส่วนค่า R_C มีค่าเท่ากับ 130 Ω

$$I_{Csat} = \frac{24}{130} = 184.62mA$$

เมื่อได้ค่า I_C saturation แล้วก็นำมาคำนวณหาค่า I_B saturation จาก

$$I_B = \frac{I_C}{\beta}$$

โดยค่า β หรือค่า Current Gain ของทรานซิสเตอร์เบอร์ BD 139 มีค่าเท่ากับ 100 จะได้

$$I_{Bsat} = \frac{0.18462}{100} = 1.8462mA$$

เมื่อได้ค่า I_B saturation แล้วต่อไปจะเป็นการหาค่า R_B จาก

$$R_B = \frac{V_{BB} - V_{EB}}{I_B}$$

โดยทั่วไปค่า V_{EB} ของทรานซิสเตอร์มีค่าประมาณ 0.7 V และค่า V_{BB} จากรูป 3.4 เอกสารนี้เป็นเอกสารที่สงวนไว้สำหรับการใช้งานเพื่อการศึกษาเท่านั้น ไม่นิยมนำไปใช้ในระดับการค้า มีค่าเท่ากับ 5 V เมื่อแทนค่าเข้าไปจะได้ค่า R_B มีค่าเท่ากับ
ไม่ว่ากรณีใดๆ ทั้งสิ้น อีกทั้งห้ามมิให้คัดแปลงเนื้อหาและต้องอ้างอิงถึงเจ้าของเอกสารทุกครั้งที่มีการนำไปใช้

$$R_B = \frac{5 - 0.7}{1.8462 * 10^{-3}} = 2.33k\Omega$$

ค่า R_B ที่ได้เป็นค่าที่ทำให้ทรานซิสเตอร์ทำงานในโหมด switching พอดี แต่ค่า current gain ของทรานซิสเตอร์เบอร์เดียวกันอาจมีค่าไม่เท่ากัน ในการออกแบบจะใช้ค่า $I_B > I_{Bsat}$ ในการคำนวณหาค่า R_B ซึ่งในปริยญาณิพนธ์นี้จะใช้ค่า

$$\begin{aligned} I_B &= 2 I_{Bsat} \\ &= 2 * 1.8462 * 10^{-3} \\ &= 3.6924mA \end{aligned}$$

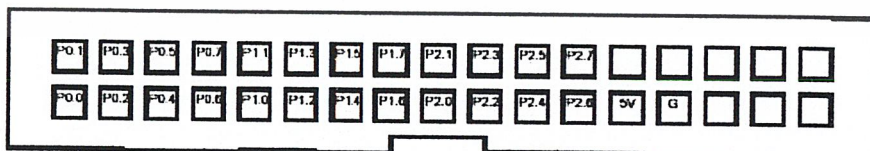
เมื่อได้ค่า I_B แล้วก็จะนำมาคำนวณหาค่า R_B ที่ใช้

$$R_B = \frac{5 - 0.7}{3.6924 * 10^{-3}} = 1.165k\Omega$$

ซึ่งในวงจรขั้วมอเตอร์นี้จะใช้ค่า R_B ประมาณ 1 k Ω

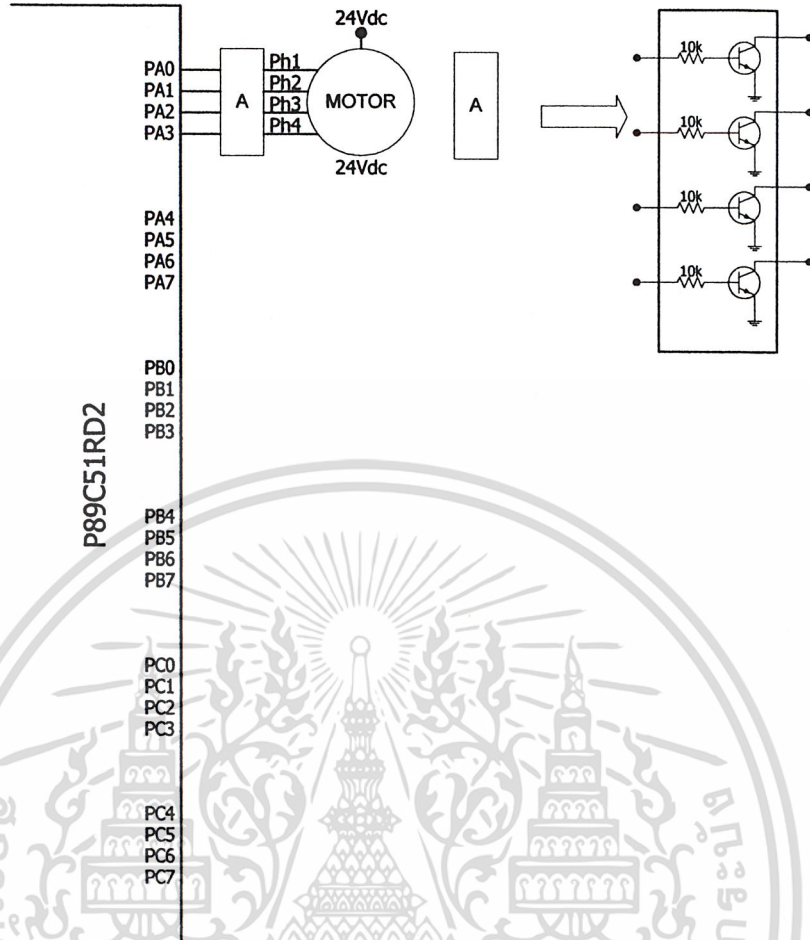
3.4.1 การกระตุ้นเฟสขดลวดสเตเตอร์

ก่อนที่จะเข้าสู่วิธีการในการกระตุ้นขดลวดจะอธิบายการทำงานของ P89C51RD2 ในการควบคุมมอเตอร์แต่ละตัวก่อน การต่อ P89C51RD2 เข้ากับวงจรขั้วมอเตอร์ได้แสดงไว้ในรูปที่ 3.3 แต่ในรูป 3.5 จะแสดงการต่อมอเตอร์เข้ากับพอร์ตของ P89C51RD2



ก) ขั้วต่อ 721OZ80

เอกสารนี้เป็นเอกสารที่สงวนไว้สำหรับการใช้งานเพื่อการศึกษาเท่านั้น ไม่อนุญาตให้นำไปใช้ประโยชน์ด้านการค้า ไม่ว่าจะกรณีใดๆ ทั้งสิ้น อีกทั้งห้ามมิให้ดัดแปลงเนื้อหาและต้องอ้างอิงถึงเจ้าของเอกสารทุกครั้งที่มีการนำไปใช้



รูปที่ 3.5 แสดงการต่อมอเตอร์เข้ากับ Port IO ของ P89C51RD2

ตารางที่ 3.3 แสดงการกระตุ้นขดลวด

	R	1	2	3	4	5	6	7	8	9	10	11
เฟสที่ 1	X				X				X			
เฟสที่ 2		X				X				X		
เฟสที่ 3			X				X				X	
เฟสที่ 4				X				X				X

เอกสารนี้เป็นเอกสารที่สงวนไว้สำหรับการใช้งานเพื่อการศึกษาเท่านั้น ไม่อนุญาตให้นำไปใช้ประโยชน์ด้านการค้า ไม่ว่าจะกรณีใดๆ ทั้งสิ้น อีกทั้งห้ามมิให้ตัดแปลงเนื้อหาและต้องอ้างอิงถึงเจ้าของเอกสารทุกครั้งที่มีการนำไปใช้

ในการกระตุ้นขดลวดของมอเตอร์จะใช้การส่งข้อมูลจากคอมพิวเตอร์ไปยัง P89C51RD2 และจาก P89C51RD2 ไปยังวงจรมอเตอร์ ดังแสดงตามตาราง 3.4

ตารางที่ 3.4 แสดงการส่งข้อมูลจากคอมพิวเตอร์ในการควบคุมมอเตอร์

	D ₇	D ₆	D ₅	D ₄	D ₃	D ₂	D ₁	D ₀	เลขฐาน 10
เฟสที่ 1	0	0	0	0	0	0	0	1	1
เฟสที่ 2	0	0	0	0	0	0	1	0	2
เฟสที่ 3	0	0	0	0	0	1	0	0	4
เฟสที่ 4	0	0	0	0	1	0	0	0	8

3.4.2 การคำนวณกำลังงานที่มอเตอร์ใช้

จากที่ได้กล่าวมาแล้วว่าสเตปมอเตอร์ที่ใช้ในปริยญาณิพนธ์นี้มีจำนวนเฟสทั้งหมด 4 เฟส ใช้ไฟฟ้ากระแสตรงขนาด 24 โวลต์ ความต้านทานของขดลวดในแต่ละเฟสมีขนาด 130 โอห์ม เพราะฉะนั้นค่ากำลังงานสูงสุดที่จ่ายให้แก่มอเตอร์ในแต่ละเฟส มีค่าเท่ากับ

$$P = \frac{V^2}{R}$$

เมื่อแทนค่าเข้าไปจะได้

$$P = \frac{24^2}{130} \\ = 4.43 \text{ Watt}$$

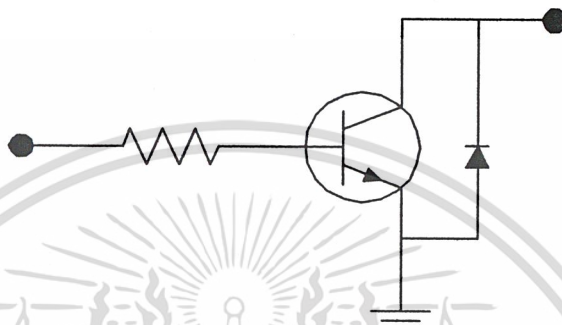
เพราะฉะนั้นค่ากำลังสูงสุดที่สามารถจ่ายให้กับมอเตอร์มีค่า

$$P_{\max} = 4 * P \\ = 4 * 4.43 \text{ Watt} \\ = 17.72 \text{ Watt}$$

เอกสารนี้เป็นเอกสารที่สงวนไว้สำหรับการใช้งานเพื่อการศึกษาเท่านั้น ไม่อนุญาตให้นำไปใช้ประโยชน์ด้านการค้า ไม่ว่ากรณีใดๆ ทั้งสิ้น อีกทั้งห้ามมิให้ตัดแปลงเนื้อหาและต้องอ้างอิงถึงเจ้าของเอกสารทุกครั้งที่มีการนำไปใช้

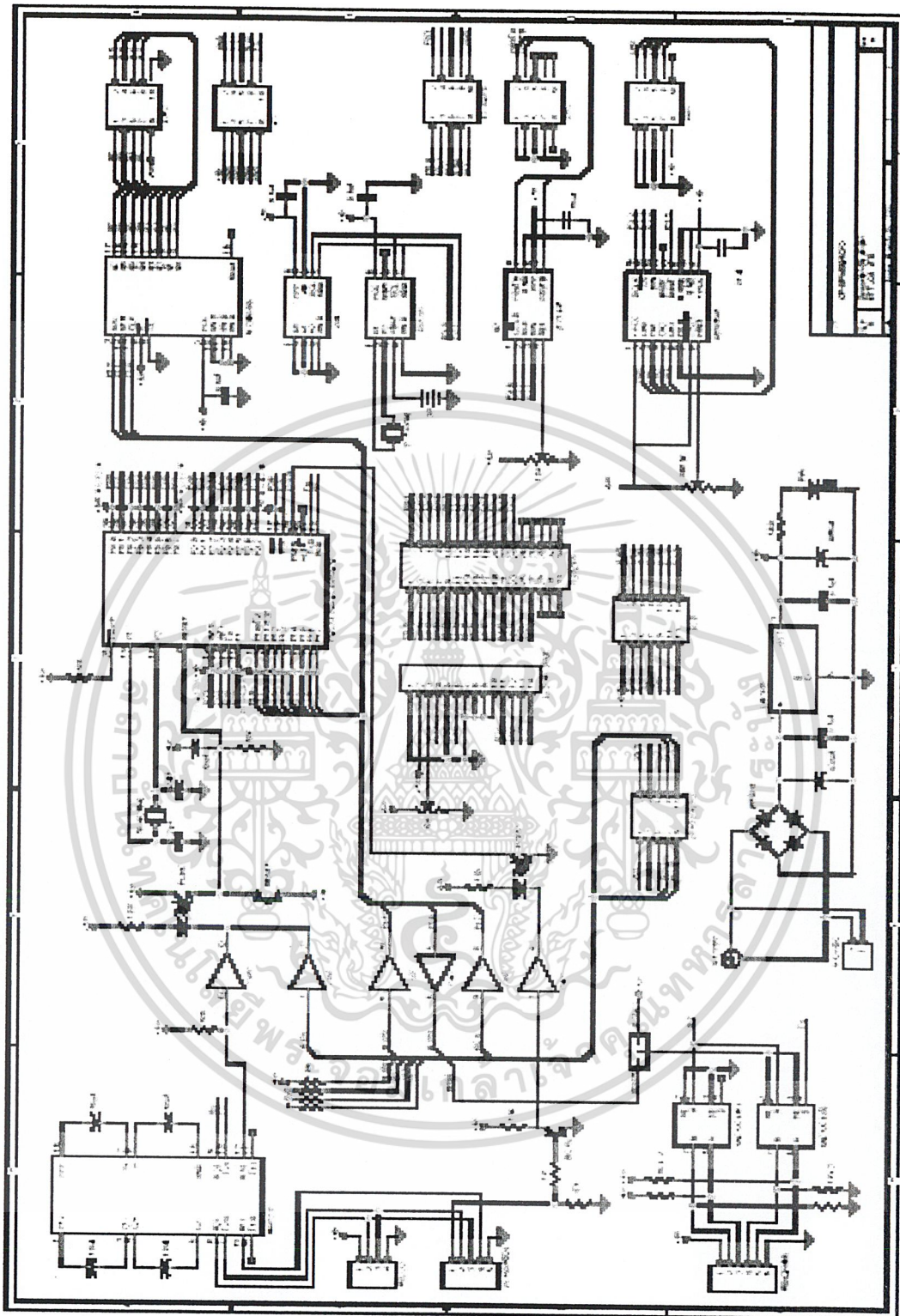
3.4.3 การต่อไดโอดเข้ากับวงจรขั้วมอเตอร์

การต่อไดโอดเข้ากับวงจรขั้วมอเตอร์เพื่อป้องกันกระแสย้อนกลับมาทำลายทรานซิสเตอร์ เมื่อมอเตอร์หยุดหมุน ทันทีกิที่ทรานซิสเตอร์เข้าสู่สภาวะคัทออฟ กระแสจะต้องหยุดไหลในทันที แต่เนื่องจากกระแสไม่สามารถเปลี่ยนแปลงอย่างทันทีทันใด จึงเกิดกระแสส่วนหนึ่งเพื่อดำเนินการเปลี่ยนแปลงไหลกลับไปทำลายทรานซิสเตอร์ เมื่อต่อไดโอดเข้าไป ไดโอดจะทำการ Bypass กระแสให้ทรานซิสเตอร์ ลักษณะการต่อไดโอดเข้าไปในแต่ละเฟสมีลักษณะดังรูป 3.6



รูปที่ 3.6 แสดงการต่อไดโอดเข้ากับทรานซิสเตอร์

เอกสารนี้เป็นเอกสารที่สงวนไว้สำหรับการใช้งานเพื่อการศึกษาเท่านั้น ไม่อนุญาตให้นำไปใช้ประโยชน์ด้านการค้า ไม่ว่ากรณีใดๆ ทั้งสิ้น อีกทั้งห้ามมิให้ตัดแปลงเนื้อหาและต้องอ้างอิงถึงเจ้าของเอกสารทุกครั้งที่มีการนำไปใช้

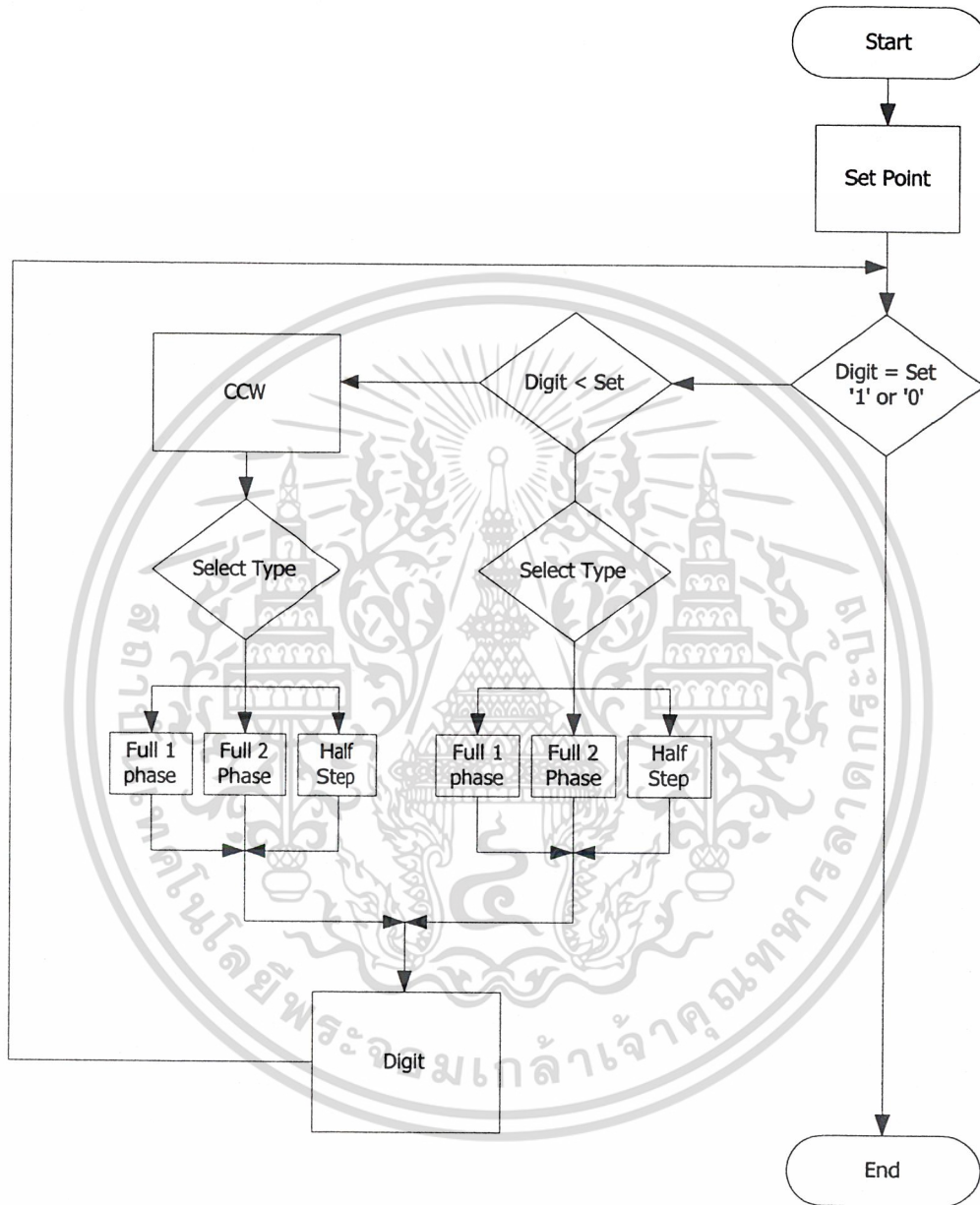


รูปที่ 3.7 แผงการต่อวงจรบน Micro-Controller

เอกสารนี้เป็นเอกสารที่สงวนไว้สำหรับการใช้งานเพื่อการศึกษาเท่านั้น ไม่อนุญาตให้นำไปใช้ประโยชน์ด้านการค้า ไม่ว่าจะกรณีใดๆ ทั้งสิ้น อีกทั้งห้ามมิให้ดัดแปลงเนื้อหาและต้องอ้างอิงถึงเจ้าของเอกสารทุกครั้งที่มีการนำไปใช้

3.5 การทำงานของโปรแกรม control motor

3.5.1 โครงสร้างของโปรแกรม



รูปที่ 3.8 โครงสร้างของโปรแกรมแสดงดัง Block Diagram ต่อไปนี้

เอกสารนี้เป็นเอกสารที่สงวนไว้สำหรับการใช้งานเพื่อการศึกษาเท่านั้น ไม่อนุญาตให้นำไปใช้ประโยชน์ด้านการค้า
ไม่ว่ากรณีใดๆ ทั้งสิ้น อีกทั้งห้ามมิให้ตัดแปลงเนื้อหาและต้องอ้างอิงถึงเจ้าของเอกสารทุกครั้งที่มีการนำไปใช้

บทที่ 4

การแปลงสัญญาณเพื่อติดต่อกับคอมพิวเตอร์

4.1 บทนำ

ในระบบคอมพิวเตอร์มีการทำงานเป็นแบบ ดิจิตอล เสมอโดยมีระดับสัญญาณเป็น 0 และ 1 แต่ในการประยุกต์ใช้งานจริง มักจะเกี่ยวข้องกับสัญญาณที่เป็น Analog สัญญาณ Analog เช่น Temperature, pressure ซึ่งในทาง อิเล็กทรอนิกส์ เราสามารถแปลงโวลต์เตจให้อยู่ในรูปของสัญญาณเหล่านี้ได้ การจะเชื่อมต่อเข้ากันได้กับสัญญาณดิจิตอล จำเป็นต้องมีการเปลี่ยนแปลงสัญญาณ analog ให้เป็น digital เพื่อทำการควบคุมอุปกรณ์ภายนอกแบบ analog

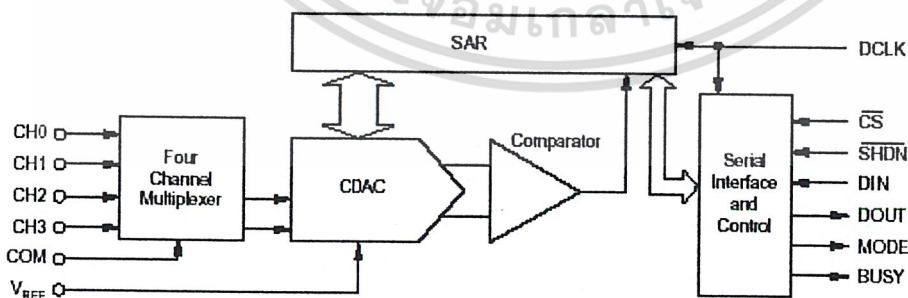
4.2 การแปลงผันสัญญาณ analog เป็น digital (A/D หรือ ADC)

การแปลงผันสัญญาณ Analog เป็น Digital เรียกว่า ADC หรือ A/D เป็นการแปลงสัญญาณแรงดันในช่วงใดๆ เป็นสัญญาณ digital เพื่อที่จะนำสู่ PC ซึ่งในการทดลองนี้เราใช้ IC เบอร์ ADS7841 ของ Texas Instrument เป็นตัว Converter ขนาด 12 บิต 4 channel

การแปลงสัญญาณ Analog ถ้าอินพุตมีค่าเป็น 0 volt ค่า Digital 12 บิต จะเท่ากับ 0 แต่ถ้าแรงดันอินพุตมีค่ามากที่สุดคือ 5 Volt ดิจิตอลสูงสุดคือ 255 ฉะนั้นการคิดแรงดันอินพุตช่วงใดๆ ที่ทำให้ค่าดิจิตอลเปลี่ยนแปลงไป 1 ค่าสามารถหาได้จาก

$$\begin{aligned} \text{แรงดันอินพุตสูงสุด/ค่าดิจิตอลมากที่สุด} &= 5/255 \\ &= 0.02 \text{ volt} \end{aligned}$$

นั่นคือค่าแรงดันอินพุต 0.02 volt จะทำให้ค่าตัวเลขดิจิตอลเปลี่ยนแปลงไป 1 ค่า



รูปที่ 4.1 แสดงโครงสร้างของ IC ADS7841

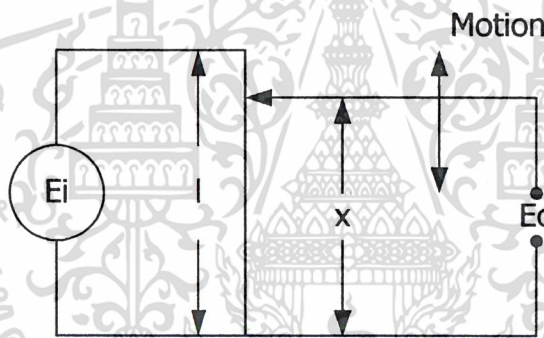
เอกสารนี้เป็นเอกสารที่สงวนไว้สำหรับการใช้งานเพื่อการศึกษาเท่านั้น ไม่อนุญาตให้นำไปใช้ประโยชน์ด้านการค้า ไม่ว่ากรณีใดๆ ทั้งสิ้น อีกทั้งห้ามมิให้ตัดแปลงเนื้อหาและต้องอ้างอิงถึงเจ้าของเอกสารทุกครั้งที่มีการนำไปใช้

บทที่ 5

POTENTIO METER

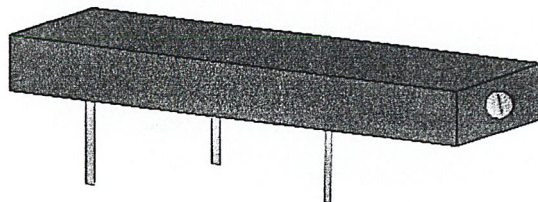
5.1 บทนำ

โพเทนทีโอมิเตอร์เป็รเครื่องมือที่เปลี่ยนแปลงพลังงานกลเป็นพลังงานไฟฟ้า อินพุทที่ป้อนเข้าโพเทนทีโอมิเตอร์จะอยู่ในรูปของการเคลื่อนที่แบบเชิงกล อาจจะเป็นการเคลื่อนที่แบบหมุนรอบหรือเคลื่อนที่เป็นเส้นก็ได้ เมื่อป้อนโวลต์เตจเข้าที่ปลายข้างที่อยู่กับที่ของโพเทนทีโอมิเตอร์เข้าที่ทุกโวลต์เตจจะได้ออกมาที่ปลายของส่วนที่เคลื่อนที่ของโพเทนทีโอมิเตอร์ ซึ่งจะแปรผัน โดยตรงกับความเร็วของการหมุนหรือระยะการเคลื่อนที่เป็นเชิงเส้นแสดงให้เห็นได้ว่าโพเทนทีโอมิเตอร์ชนิดนี้ยรมีวงจรมีวางรขยอยู่ในตัว ความคลาดเคลื่อนของความต้านทานของโพเทนทีโอมิเตอร์ชนิดมาตรฐานจะอยู่ระหว่าง 5 - 10 %



รูป 5.1 วงจรสมมูลย์ ของโพเทนทีโอมิเตอร์

วงจรมูลย์ของโพเทนทีโอมิเตอร์ที่เป็นแบบลิเนียร์ เนื่องจากโวลต์เตจจกร้อมขั้วที่ปรับค่าได้และกราวน์ จะเป็นสัดส่วนกับการเปิด-ปิดของ วาวล์ และโพเทนทีโอมิเตอร์ เมื่อป้อนโวลต์เตจจกร้อมที่ขั้วอยู่กับที่โพเทนทีโอมิเตอร์สามารถใช้แสดงค่าตำแหน่งสมบูรณข์ของก้านสูบ



รูปที่ 5.2 โพเทนทีโอมิเตอร์

เอกสารนี้เป็นเอกสารที่สงวนไว้สำหรับการใช้งานเพื่อการศึกษาเท่านั้น ไม่อนุญาตให้นำไปใช้ประโยชน์ด้านการค้า ไม่ว่ากรณีใดๆ ทั้งสิ้น อีกทั้งห้ามมิให้ดัดแปลงเนื้อหาและต้องอ้างอิงถึงเจ้าของเอกสารทุกครั้งที่มีการนำไปใช้

บทที่ 6

ผลการทดลอง

ผลการทดลอง	
Voltage ที่จ่าย 0 - 3.8 Volt	
% การเปิดของ Valve	Voltage
0	0
1	0.038
2	0.07564
3	0.11364
4	0.15164
5	0.18964
6	0.22764
7	0.26564
8	0.30364
9	0.34164
10	0.37964
11	0.41764
12	0.45564
13	0.49374
14	0.53138
15	0.56638
16	0.60438
17	0.64198
18	0.67938
19	0.71737
20	0.75337
21	0.79107
22	0.83007

เอกสารนี้เป็นเอกสารที่สงวนไว้สำหรับการใช้งานเพื่อการศึกษาเท่านั้น ไม่นิยมนำไปใช้ประโยชน์ด้านการค้า
ไม่ว่ากรณีใดๆ ทั้งสิ้น อีกทั้งห้ามมิให้ตัดแปลงเนื้อหาและต้องอ้างอิงถึงเจ้าของเอกสารทุกครั้งที่มีการนำไปใช้

% การเปิดของ Valve	Voltage
23	0.86777
24	0.90676
25	0.94276
26	0.98076
27	1.01876
28	1.05776
29	1.09576
30	1.13376
31	1.17176
32	1.20976
33	1.24456
34	1.28256
35	1.32056
36	1.35856
37	1.39656
38	1.43456
39	1.47256
40	1.51056
41	1.54856
42	1.58656
43	1.62456
44	1.66256
45	1.70056
46	1.73955
47	1.77755
48	1.81555
49	1.85355
50	1.89205
51	1.93025
52	1.96825

เอกสารนี้เป็นเอกสารที่สงวนไว้สำหรับการใช้งานเพื่อการศึกษเท่านั้น ไม่อนุญาตให้นำไปใช้ประโยชน์ด้านการค้า
ไม่ว่ากรณีใดๆ ทั้งสิ้น

เอกสารนี้เป็นเอกสารที่สงวนไว้สำหรับการใช้งานเพื่อการศึกษเท่านั้น ไม่อนุญาตให้นำไปใช้ประโยชน์ด้านการค้า
ไม่ว่ากรณีใดๆ ทั้งสิ้น

% การเปิดของ Valve	Voltage
53	2.00625
54	2.04425
55	2.08225
56	2.12025
57	2.15825
58	2.19625
59	2.23425
60	2.27225
61	2.31025
62	2.34825
63	2.38625
64	2.42425
65	2.46225
66	2.50025
67	2.53825
68	2.57625
69	2.61425
70	2.65165
71	2.68965
72	2.72765
73	2.76565
74	2.80365
75	2.84165
76	2.87965
77	2.91605
78	2.95405
79	2.99205
80	3.03005
81	3.06805
82	3.10605

เอกสารนี้เป็นเอกสารที่สงวนไว้สำหรับการใช้งานเพื่อการศึกษาเท่านั้น ไม่อนุญาตให้นำไปใช้ประโยชน์ด้านการค้า
ไม่ว่ากรณีใดๆ ทั้งสิ้น

% การเปิดของ Valve	Voltage
83	3.14205
84	3.18005
85	3.21805
86	3.25605
87	3.294053
88	3.332053
89	3.370053
90	3.408953
91	3.446953
92	3.484953
93	3.522953
94	3.561953
95	3.599953
96	3.637953
97	3.675953
98	3.714853
99	3.753153
100	3.791153

เอกสารนี้เป็นเอกสารที่สงวนไว้สำหรับการใช้งานเพื่อการศึกษาเท่านั้น ไม่อนุญาตให้นำไปใช้ประโยชน์ด้านการค้า
ไม่ว่ากรณีใดๆ ทั้งสิ้น อีกทั้งห้ามมิให้ตัดแปลงเนื้อหาและต้องอ้างอิงถึงเจ้าของเอกสารทุกครั้งที่มีการนำไปใช้

บทที่ 7

สรุปผลการวิจัยและข้อเสนอแนะ

7.1 สรุปผลการทำงาน

ในปฏิญานิพนธ์นี้สามารถเปิด ปิด Valve จำนวน 10 รอบได้ โดยสั่งงานผ่าน Computer โดยใช้ Step motor ควบคุมโดย Micro-Controller สามารถสั่งได้ว่า ต้องการให้ Valve เปิด หรือปิด เป็น % ของการปิดเปิดได้ Micro-Controller 1 ตัว สามารถ ขยายเพื่อ นำมาควบคุม Motor ได้ 4 ตัว หรือสามารถนำไปต่อใช้งานร่วมกับ Board ขนาน ซึ่งสามารถทำให้ Micro-Controller 1 ตัวสามารถ ควบคุม Motor ได้ถึง 72 ตัว

7.2 ข้อเสนอแนะ

ปฏิญานิพนธ์นี้มีจุดข้อที่ควรปรับปรุงและพัฒนาเพิ่มขึ้นดังนี้คือ

- ควรใช้ STEPPING MOTOR ที่มีค่าจำนวน สเตปต่อรอบมากกว่านี้ เนื่องจากปฏิญานิพนธ์นี้ใช้ STEPPING MOTOR ที่มีขนาด 7.5 องศาต่อ STEP
- จากปฏิญานิพนธ์นี้จะเห็นว่าเราสามารถเพิ่มจำนวนมอเตอร์ได้มากขึ้น โดยการ
ต่อ
ร่วมกับ Board ขนาน อาจใช้ IC 82C55 เพื่อเพิ่มพอร์ต การใช้งาน
- ควรเพิ่มวิธีการกระตุ้นขดลวดมอเตอร์เป็นแบบสองเฟสและ แบบครึ่งสเตปด้วยเนื่อง จากปฏิญานิพนธ์นี้ใช้การกระตุ้นมอเตอร์แบบหนึ่งเฟสเพียงชนิดเดียว
- ความแม่นยำ หรือความผิดพลาดในการควบคุม โดยมากจะมาจาก Potentiometer ซึ่งปัญหา ความถูกต้องของ Potentiometer จะแก้ไขโดยการ นำ Potentiometer ที่มีขีดความสามารถ มากกว่านี้มาใช้ประกอบ โครงการ

เอกสารนี้เป็นเอกสารที่สงวนไว้สำหรับการใช้งานเพื่อการศึกษาเท่านั้น ไม่อนุญาตให้นำไปใช้ประโยชน์ด้านการค้า ไม่ว่ากรณีใดๆ ทั้งสิ้น อีกทั้งห้ามมิให้ตัดแปลงเนื้อหาและต้องอ้างอิงถึงเจ้าของเอกสารทุกครั้งที่มีการนำไปใช้

บรรณานุกรม

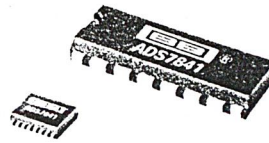
1. ยืน ภู่วรรณ และสุรศักดิ์ สงวนพงษ์ “โปรแกรมคอมพิวเตอร์และภาษาแอสแซมบลี” บริษัทซีเอ็ดยูเคชั่น จำกัด
2. ชาริน สติทธิธรรมชาตรี “คู่มือการเขียน โปรแกรม Microsoft Visual Basic Version 6.0 ฉบับใช้งานจริง” บริษัทซัดเซส มีเดีย จำกัด.
3. สัจจะ จรัสรุ่งรวีวร “คู่มือการสร้างแอปพลิเคชันด้วย Visual Basic 6.0 Basic & Advance” บริษัทอิน โพรเพลส จำกัด



เอกสารนี้เป็นเอกสารที่สงวนไว้สำหรับการใช้งานเพื่อการศึกษาเท่านั้น ไม่อนุญาตให้นำไปใช้ประโยชน์ด้านการค้า
ไม่ว่ากรณีใดๆ ทั้งสิ้น อีกทั้งห้ามมิให้ตัดแปลงเนื้อหาและต้องอ้างอิงถึงเจ้าของเอกสารทุกครั้งที่มีการนำไปใช้



เอกสารนี้เป็นเอกสารที่สงวนไว้สำหรับการใช้งานเพื่อการศึกษาเท่านั้น ไม่อนุญาตให้นำไปใช้ประโยชน์ด้านการค้า
ไม่ว่ากรณีใดๆ ทั้งสิ้น อีกทั้งห้ามมิให้ตัดแปลงเนื้อหาและต้องอ้างอิงถึงเจ้าของเอกสารทุกครั้งที่มีการนำไปใช้



12-Bit, 4-Channel Serial Output Sampling ANALOG-TO-DIGITAL CONVERTER

FEATURES

- SINGLE SUPPLY: 2.7V to 5V
- 4-CHANNEL SINGLE-ENDED OR 2-CHANNEL DIFFERENTIAL INPUT
- UP TO 200kHz CONVERSION RATE
- ± 1 LSB MAX INL AND DNL
- NO MISSING CODES
- 72dB SINAD
- SERIAL INTERFACE
- DIP-16 OR SSOP-16 PACKAGE
- ALTERNATE SOURCE FOR MAX1247
- ADS7841ES: +125°C Version

APPLICATIONS

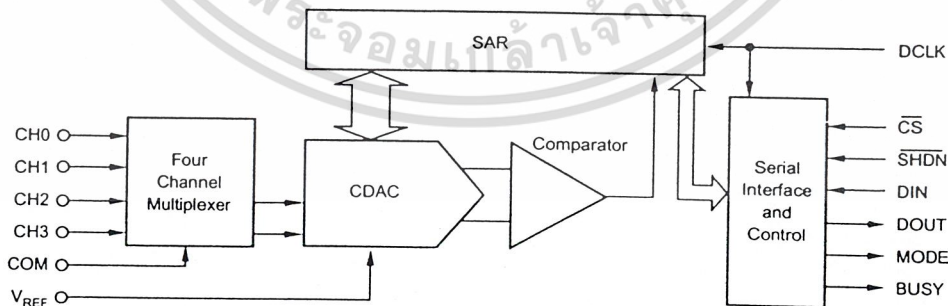
- DATA ACQUISITION
- TEST AND MEASUREMENT
- INDUSTRIAL PROCESS CONTROL
- PERSONAL DIGITAL ASSISTANTS
- BATTERY-POWERED SYSTEMS

DESCRIPTION

The ADS7841 is a 4-channel, 12-bit sampling Analog-to-Digital Converter (ADC) with a synchronous serial interface. The resolution is programmable to either 8 bits or 12 bits. Typical power dissipation is 2mW at a 200kHz throughput rate and a +5V supply. The reference voltage (V_{REF}) can be varied between 100mV and V_{CC} , providing a corresponding input voltage range of 0V to V_{REF} . The device includes a shutdown mode which reduces power dissipation to under 15 μ W. The ADS7841 is tested down to 2.7V operation.

Low power, high speed, and on-board multiplexer make the ADS7841 ideal for battery-operated systems such as personal digital assistants, portable multi-channel data loggers, and measurement equipment. The serial interface also provides low-cost isolation for remote data acquisition. The ADS7841 is available in a DIP-16 or a SSOP-16 package and is specified over the -40°C to $+125^{\circ}\text{C}^{(1)}$ temperature range.

NOTE: (1) ES grade only.



Please be aware that an important notice concerning availability, standard warranty, and use in critical applications of Texas Instruments semiconductor products and disclaimers thereto appears at the end of this data sheet.

PRODUCTION DATA information is current as of publication date. Products conform to specifications per the terms of Texas Instruments standard warranty. Production processing does not necessarily include testing of all parameters.



Copyright © 2000, Texas Instruments Incorporated

www.ti.com

ABSOLUTE MAXIMUM RATINGS⁽¹⁾

+V _{CC} to GND	-0.3V to +6V
Analog Inputs to GND	-0.3V to +V _{CC} + 0.3V
Digital Inputs to GND	-0.3V to +6V
Power Dissipation	250mW
Maximum Junction Temperature	+150°C
Operating Temperature Range	-40°C to +125°C ⁽²⁾
Storage Temperature Range	-65°C to +150°C
Lead Temperature (soldering, 10s)	+300°C

NOTES: (1) Stresses above those listed under "Absolute Maximum Ratings" may cause permanent damage to the device. Exposure to absolute maximum conditions for extended periods may affect device reliability. (2) ADS7841ES Only. All other grades are: -40°C to +85°C.



ELECTROSTATIC DISCHARGE SENSITIVITY

This integrated circuit can be damaged by ESD. Texas Instruments recommends that all integrated circuits be handled with appropriate precautions. Failure to observe proper handling and installation procedures can cause damage.

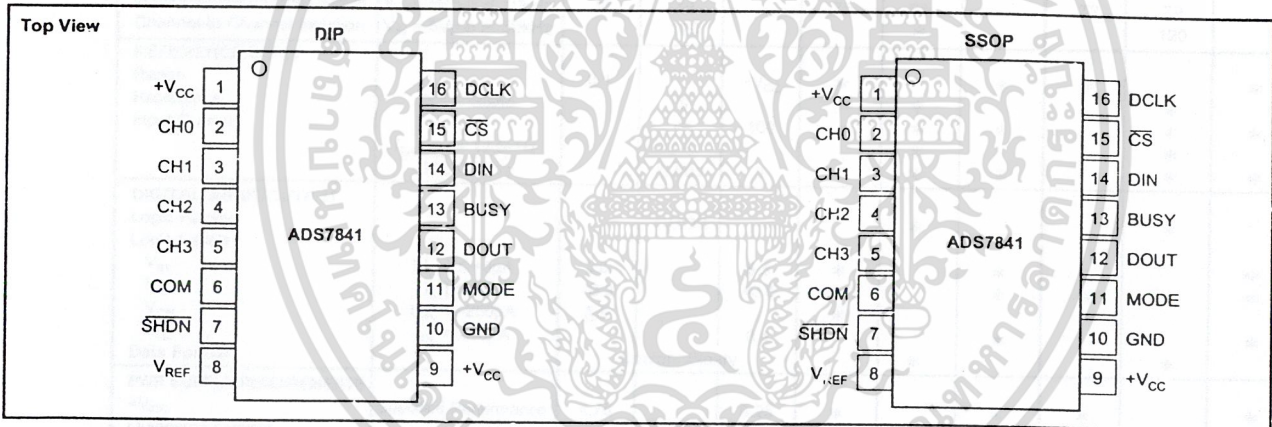
ESD damage can range from subtle performance degradation to complete device failure. Precision integrated circuits may be more susceptible to damage because very small parametric changes could cause the device not to meet its published specifications.

PACKAGE/ORDERING INFORMATION

PRODUCT	MINIMUM RELATIVE ACCURACY (LSB)	MAXIMUM GAIN ERROR (LSB)	SPECIFICATION TEMPERATURE RANGE	PACKAGE	PACKAGE DESIGNATOR	PACKAGE DRAWING NUMBER	ORDERING NUMBER ⁽¹⁾	TRANSPORT MEDIA
ADS7841E	±2	±4	-40°C to +85°C	SSOP-16	DBQ	322	ADS7841E	Rails
ADS7841P	±2	"	-40°C to +85°C	DIP-16	N	180	ADS7841E/2K5	Tape and Reel
ADS7841EB	±1	±3	-40°C to +85°C	SSOP-16	DBQ	322	ADS7841P	Rails
ADS7841PB	±1	"	-40°C to +85°C	DIP-16	N	180	ADS7841EB	Rails
ADS7841ES	±2	±4	-40°C to +125°C	SSOP-16	DBQ	322	ADS7841EB/2K5	Tape and Reel
							ADS7841PB	Rails
							ADS7841ES/2K5	Tape and Reel

NOTES: (1) Models with a slash (/) are available only in Tape and Reel in the quantities indicated (e.g., /2K5 indicates 2500 devices per reel). Ordering 2500 pieces of "ADS7841E/2K5" will get a single 2500-piece Tape and Reel.

PIN CONFIGURATIONS



PIN DESCRIPTIONS

PIN	NAME	DESCRIPTION
1	+V _{CC}	Power Supply, 2.7V to 5V
2	CH0	Analog Input Channel 0
3	CH1	Analog Input Channel 1
4	CH2	Analog Input Channel 2
5	CH3	Analog Input Channel 3
6	COM	Ground Reference for Analog Inputs. Sets zero code voltage in single-ended mode. Connect this pin to ground or ground reference point.
7	SHDN	Shutdown. When LOW, the device enters a very low power shutdown mode.
8	V _{REF}	Voltage Reference Input
9	+V _{CC}	Power Supply, 2.7V to 5V
10	GND	Ground
11	MODE	Conversion Mode. When LOW, the device always performs a 12-bit conversion. When HIGH, the resolution is set by the MODE bit in the CONTROL byte.
12	DOUT	Serial Data Output. Data is shifted on the falling edge of DCLK. This output is high impedance when CS is HIGH.
13	BUSY	Busy Output. This output is high impedance when CS is HIGH.
14	DIN	Serial Data Input. If CS is LOW, data is latched on rising edge of DCLK.
15	CS	Chip Select Input. Controls conversion timing and enables the serial input/output register.
16	DCLK	External Clock Input. This clock runs the SAR conversion process and synchronizes serial data I/O.



TEXAS
INSTRUMENTS

ADS7841

SBAS084B

ELECTRICAL CHARACTERISTICS: +2.7V

At $T_A = -40^\circ\text{C}$ to $+85^\circ\text{C}$, $+V_{CC} = +2.7\text{V}$, $V_{REF} = +2.5\text{V}$, $f_{SAMPLE} = 125\text{kHz}$, and $f_{CLK} = 16 \cdot f_{SAMPLE} = 2\text{MHz}$, unless otherwise noted.

PARAMETER	CONDITIONS	ADS7841E, P			ADS7841EB, PB			UNITS
		MIN	TYP	MAX	MIN	TYP	MAX	
ANALOG INPUT								
Full-Scale Input Span	Positive Input - Negative Input	0		V_{REF}	*		*	V
Absolute Input Range	Positive Input	-0.2		$+V_{CC} + 0.2$	*		*	V
	Negative Input	-0.2			*		*	V
Capacitance			25			*		pF
Leakage Current			± 1			*		μA
SYSTEM PERFORMANCE								
Resolution		12	12		12	*		Bits
No Missing Codes								Bits
Integral Linearity Error				± 2			± 1	LSB ⁽¹⁾
Differential Linearity Error		± 0.8			± 0.5		± 1	LSB
Offset Error				± 3			*	LSB
Offset Error Match			0.15	1.0	*		*	LSB
Gain Error				± 4			± 3	LSB
Gain Error Match			0.1	1.0	*		*	LSB
Noise			30		*		*	μVrms
Power-Supply Rejection			70		*		*	dB
SAMPLING DYNAMICS								
Conversion Time				12			*	Clk Cycles
Acquisition Time		3			*			Clk Cycles
Throughput Rate				125			*	kHz
Multiplexer Settling Time			500			*		ns
Aperture Delay			30			*		ns
Aperture Jitter			100			*		ps
DYNAMIC CHARACTERISTICS								
Total Harmonic Distortion ⁽²⁾	$V_{IN} = 2.5\text{Vp-p}$ at 10kHz		-77	-72		-79	-76	dB
Signal-to-(Noise + Distortion)	$V_{IN} = 2.5\text{Vp-p}$ at 10kHz	68	71		70	72		dB
Spurious-Free Dynamic Range	$V_{IN} = 2.5\text{Vp-p}$ at 10kHz	72	78		76	80		dB
Channel-to-Channel Isolation	$V_{IN} = 2.5\text{Vp-p}$ at 50kHz		100			*		dB
REFERENCE INPUT								
Range		0.1		$+V_{CC}$	*		*	V
Resistance	DCLK Static		5		*		*	$\text{G}\Omega$
Input Current	$f_{SAMPLE} = 12.5\text{kHz}$ DCLK Static		13	40	*		*	μA
			2.5		*		*	μA
			0.001	3	*		*	μA
DIGITAL INPUT/OUTPUT								
Logic Family			CMOS			*		
Logic Levels						*		
V_{IH}	$ I_{IH} \leq +5\mu\text{A}$	$+V_{CC} \cdot 0.7$		5.5	*		*	V
V_{IL}	$ I_{IL} \leq +5\mu\text{A}$	-0.3		+0.8	*		*	V
V_{OH}	$I_{OH} = -250\mu\text{A}$	$+V_{CC} \cdot 0.8$			*		*	V
V_{OL}	$I_{OL} = 250\mu\text{A}$			0.4			*	V
Data Format			Straight Binary			*		
POWER SUPPLY REQUIREMENTS								
$+V_{CC}$	Specified Performance	2.7		3.6	*		*	V
Quiescent Current			280	650		*	*	μA
	$f_{SAMPLE} = 12.5\text{kHz}$ Power-Down Mode ⁽³⁾ , $\overline{CS} = +V_{CC}$		220			*	*	μA
Power Dissipation				3			*	μA
				1.8			*	mW
TEMPERATURE RANGE								
Specified Performance		-40		+85	*		*	$^\circ\text{C}$

* Same specifications as ADS7841E, P.

NOTE: (1) LSB means Least Significant Bit. With V_{REF} equal to +2.5V, one LSB is 610mV. (2) First five harmonics of the test frequency. (3) Auto power-down mode (PD1 = PD0 = 0) active or $\overline{SHDN} = \text{GND}$.

เอกสารนี้เป็นเอกสารที่สงวนไว้สำหรับการใช้งานเพื่อการศึกษาเท่านั้น ไม่อนุญาตให้นำไปใช้ประโยชน์ด้านการค้า

ไม่ว่ากรณีใดๆ ทั้งสิ้น อีกทั้งห้ามมิให้ดัดแปลงหรือทำซ้ำโดยไม่ได้รับอนุญาตจากผู้ผลิตอย่างจริงจังถึงเจ้าของเอกสารทุกครั้งที่มี **ADS7841**

 **TEXAS**
INSTRUMENTS

SBAS084B

CP-SPI/S8252 V3.0&CP-SPI/RD2 V3.0

บอร์ด CP-SPI/S8252 V3.0 จะใช้ CPU AT89S8252 เป็น CPU ประจำบอร์ด และบอร์ด CP-SPI/RD2 V3.0 จะใช้ CPU P89C51RD2 เป็น CPU ประจำบอร์ด โดยมีส่วนอื่นๆ ของวงจรที่เหมือนกัน ส่วนการ DOWNLOAD โปรแกรมเข้าสู่ตัวบอร์ดนั้น บอร์ด CP-SPI/S8252 V3.0 จะใช้โปรแกรม WS8252 และบอร์ด CP-SPI/RD2 V3.0 จะใช้โปรแกรม P89C51RD2

ในบอร์ด CP-SPI/S8252 V3.0 & CP-SPI/RD2 V3.0 จะเหมือนกับ CP-SPI/S8252 V2.0 & CP-SPI/RD2 V2.0 ทุกประการเพียงแต่มีการเพิ่มอุปกรณ์ที่สำคัญเข้าไปอีก 2 ตัว ดังนี้

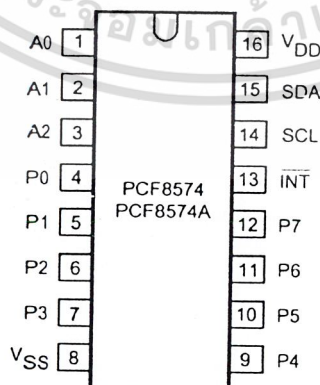
1. I²C PORT (PCF8574)
2. 34 PIN I/O BUS

PCF8574

รายละเอียดเบื้องต้น

PCF8574 เป็นอุปกรณ์ที่ใช้ขยายเอาต์พุตและอินพุตของไมโครคอนโทรลเลอร์โดยผ่านทางระบบบัสแบบ I²C โดยในแต่ละขาสามารถเป็นได้ทั้งอินพุตและเอาต์พุต โดย PCF8574 จำนวน 1 ตัวสามารถนำมาทำเป็นอินพุตหรือเอาต์พุตได้ 8 I/O แต่ถ้าต้องการ I/O ที่มากกว่า 8 จะต้องต่อ PCF8574 เพิ่มขึ้นอีก ซึ่งในตัวของมันสามารถต่อ PCF8574 ได้ 8 ตัว โดยกำหนดตำแหน่งของแต่ละตัวให้แตกต่างจากขา A0, A1, A2 อีกทั้งยังสามารถสร้างสัญญาณอินเทอร์รัพท์ให้กับไมโครคอนโทรลเลอร์เมื่อมีสัญญาณเข้ามาทางอินพุตได้อีกด้วย

โครงสร้างภายนอกและขาต่อใช้งาน



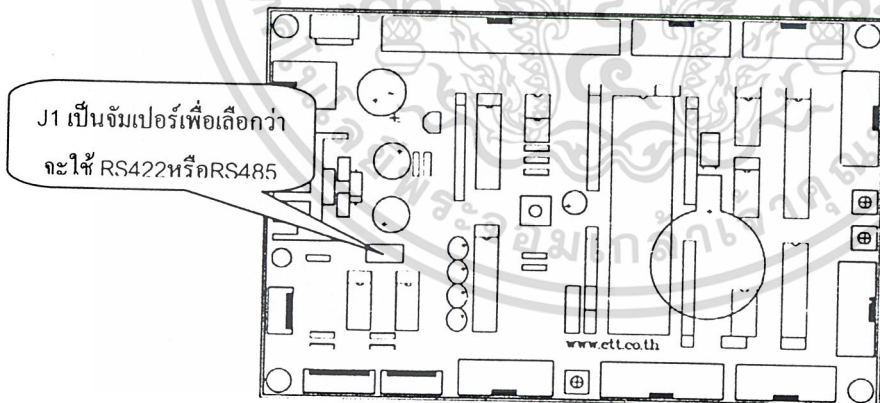
รูปที่ 44 แสดง โครงสร้างภายนอกและขาต่อใช้งานของ PCF8574

เอกสารนี้เป็นเอกสารที่สงวนไว้สำหรับการใช้งานเพื่อการศึกษาเท่านั้น ไม่อนุญาตให้นำไปใช้ประโยชน์ด้านการค้า ไม่ว่าจะกรณีใดๆ ทั้งสิ้น อีกทั้งห้ามมิให้ดัดแปลงเนื้อหาและต้องอ้างอิงถึงเจ้าของเอกสารทุกครั้งที่มีการนำไปใช้

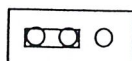
การเลือกใช้ Line Driver แบบ RS485

การรับส่งข้อมูลแบบนี้ จะมีลักษณะคล้ายกับแบบ RS422 ทั้งหมด แต่การรับส่งแบบนี้จะมีข้อดีพิเศษกว่าก็คือใช้สายสัญญาณในการรับส่งเพียงคู่เดียวเท่านั้น ซึ่งการรับส่งแบบนี้จะใช้การรับส่งแบบ Half Duplex กล่าวคือ สามารถทำหน้าที่ส่งข้อมูลและรับข้อมูลได้โดยใช้สายสัญญาณเดิมเพียงคู่เดียวแต่ในการรับหรือส่งข้อมูลนั้นจะต้องทำแบบผลัดกันรับผลัดกันส่ง ไม่สามารถทำหน้าที่พร้อมกันได้ทั้ง 2 อย่างในเวลาเดียวกันได้

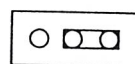
เนื่องจากการสื่อสารแบบนี้ จะใช้สายสัญญาณเพียง 1 คู่ (2 เส้น) ในการทำหน้าที่ทั้งรับและส่งและยังสามารถต่ออุปกรณ์ร่วมกันได้มากถึง 32 ตัว ในกรณีที่ใช้ IC 75176 และได้ถึง 256 ตัว ในกรณีที่ใช้ IC MAX3088 พร้อมกันในเวลาเดียว ดังนั้นจึงต้องมีการจัดลำดับการรับส่งข้อมูลที่ดีจึงจะสามารถรับส่งกันได้ อย่างมีประสิทธิภาพตามต้องการได้จึงส่งผลทำให้การรับส่งแบบนี้มีความสลับซับซ้อนมากขึ้น เพราะต้องมีการเขียนโปรแกรมเพื่อคอยกำหนดทิศทางรวมทั้งจัดแบ่ง ควบคุมลำดับการสื่อสารภายในสายส่งให้กับอุปกรณ์แต่ละตัวที่ต่ออยู่จะทำให้อุปกรณ์ตัวใดทำหน้าที่เป็นตัวส่ง และให้อุปกรณ์ตัวใดทำหน้าที่เป็นตัวรับ ซึ่งจะต้องเขียนโปรแกรมเพื่อควบคุมให้มีการรับส่งข้อมูลออกมาได้เพียงครั้งละ 1 ตัว เท่านั้น เพราะถ้าหากมีการส่งข้อมูลออกมาในสายสัญญาณพร้อมกันในเวลาเดียวกันมากกว่า 1 ตัว แล้วก็จะทำให้ฝ่ายรับไม่สามารถรับข้อมูลที่ต้องการทำให้เกิดความผิดพลาดขึ้นได้ ดังนั้นการใช้ระบบ RS485 นี้ จะต้องมีการออกแบบและวางแผนไว้ล่วงหน้าทั้งทางด้านของอุปกรณ์ฮาร์ดแวร์และโปรแกรมที่จะใช้ในการควบคุมการทำงานของระบบ สำหรับวิธีการเชื่อมต่อระบบ RS485 นั้นทำได้หลายแบบ เช่น ต่อกันแบบขนานทั้งระบบ และ ต่อกันแบบ Point - to - Point



รูปที่ 6 แสดงตำแหน่งของจัมเปอร์ J1 สำหรับเลือกใช้งาน RS422/485



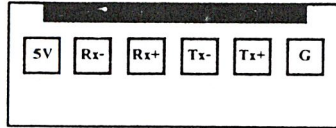
เลือกใช้งาน RS422



เลือกใช้งาน RS485

รูปที่ 7 แสดงการเลือกจัมเปอร์ J1 เพื่อใช้งาน RS422/RS485

เอกสารนี้เป็นเอกสารที่สงวนไว้สำหรับการใช้งานเพื่อการศึกษาเท่านั้น ไม่อนุญาตให้นำไปใช้ประโยชน์ด้านการค้า ไม่ว่ากรณีใดๆ ทั้งสิ้น อีกทั้งห้ามมิให้ดัดแปลงเนื้อหาและต้องอ้างอิงถึงเจ้าของเอกสารทุกครั้งที่มีการนำไปใช้



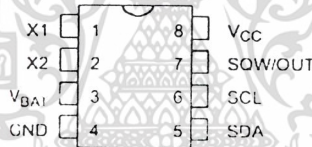
รูปที่ 8 แสดงขั้วต่อใช้งานของ RS422/485

RTC (DS1307)

คุณสมบัติ

- เป็นนาฬิกาที่สามารถให้ข้อมูลออกมาเป็น วินาที นาที ชั่วโมง วันที่ของเดือน เดือน วันของสัปดาห์ ปี ซึ่งชดเชยค่าแล้ว สามารถใช้งานได้ถึงปี 2100
- มี RAM แบบ Nonvolatile จำนวน 56 ไบต์
- สามารถตั้ง โปรแกรมให้ส่งสัญญาณรูปสี่เหลี่ยมออกที่เอาต์พุตได้
- สามารถตรวจสอบระบบไฟและสลับไปใช้แบตเตอรี่ได้โดยอัตโนมัติ
- เมื่อใช้พลังงานจากแบตเตอรี่จะใช้ไฟน้อยกว่า 500 nA ที่ 25 C
- สามารถเลือกใช้รุ่นที่ใช้งานในอุตสาหกรรมได้โดยสามารถใช้อุณหภูมิได้ในช่วง -40 ถึง +85

รายละเอียดของขาต่อใช้งาน



รูปที่ 9 แสดงขาต่อใช้งานของ DS1307

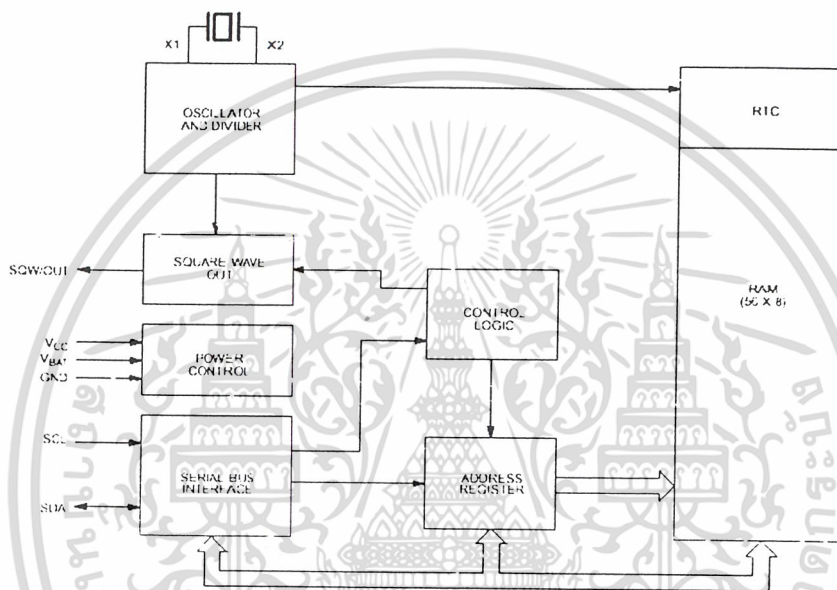
รายละเอียดของขาสัญญาณ

ตำแหน่ง	สัญลักษณ์	รายละเอียด
1	X1	ขาต่อ Xtal 32.768 KHz
2	X2	ขาต่อ Xtal 32.768 KHz
3	VBAT	ขาต่อแบตเตอรี่ 3 V
4	GND	ขาต่อกราวด์
5	SDA	สัญญาณ Data แบบอนุกรม
6	SCL	สัญลักษณ์ Clock แบบอนุกรม
7	SQW/OUT	สัญญาณเอาต์พุตเป็นแบบสี่เหลี่ยมหรือเป็นลอจิก
8	Vcc	ต่อเข้ากับแหล่งจ่ายไฟ

เอกสารนี้เป็นเอกสารที่สงวนไว้สำหรับการใช้งานเพื่อการศึกษาเท่านั้น ไม่อนุญาตให้นำไปใช้ประโยชน์ด้านการค้า ไม่ว่าจะกรณีใดๆ ทั้งสิ้น อีกทั้งห้ามมิให้ตัดแปลงเนื้อหาและต้องอ้างอิงถึงเจ้าของเอกสารทุกครั้งที่มีการนำไปใช้

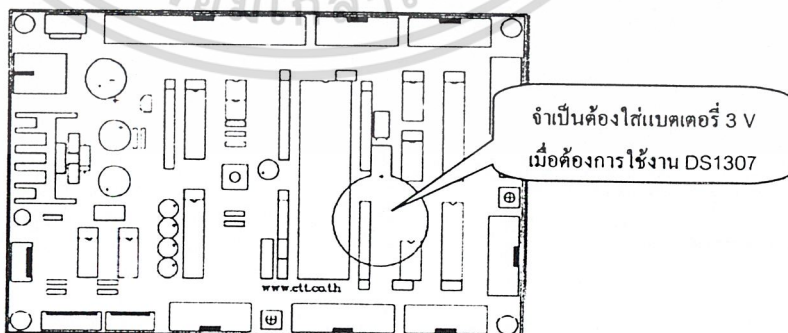
การทำงาน

DS1307 เป็นอุปกรณ์ที่ต่ออยู่ในระบบบัสแบบ I²C โดยทำตัวเป็น Slave การเข้าถึงข้อมูลภายในสามารถทำได้โดยการส่งเงื่อนไข Start เลขประจำตัวและตำแหน่งของรีจิสเตอร์ตามลำดับ ลงบนบัสแบบ I²C ที่มี DS1307 ต่อร่วมอยู่ โดยรีจิสเตอร์จะถูกเข้าถึงต่อไปเรื่อย ๆ จนกระทั่งเกิดเงื่อนไข Stop ในระบบบัส เมื่อแรงดันที่ขา Vcc ตกลงต่ำกว่าแรงดันที่ขา Vbat จะสลับตัวเองเข้าสู่โหมดประหยัดพลังงานและใช้พลังงานจากแบตเตอรี่ แต่ในทางกลับกัน DS1307 จะกลับไปทำงานในโหมดปกติเมื่อแรงดันที่ขา Vcc สูงกว่าแรงดันที่ขา Vbat+0.2 V โดยไคอะแกรมในรูปที่ 10 แสดงถึงส่วนประกอบหลักของ DS1307



รูปที่ 10 แสดงถึงส่วนประกอบหลักของ DS1307

บอร์ด CP-SPI/S8252 V2.0 & CP-SPI/RD2 V2.0 จะใช้ DS1307 ของ DALLAS เป็น RTC ซึ่งสามารถแสดงค่าเวลาได้เป็น ปี เดือน วันที่ของเดือน วันที่ของสัปดาห์ ชั่วโมง นาที และ วินาที โดยภายในยังมี RAM อีก 56 ไบต์ เพื่อใช้เก็บข้อมูล โดยทุกครั้งที่มีการใช้งาน DS1307 จะต้องมี BAT 3 V เข้าไปด้วย



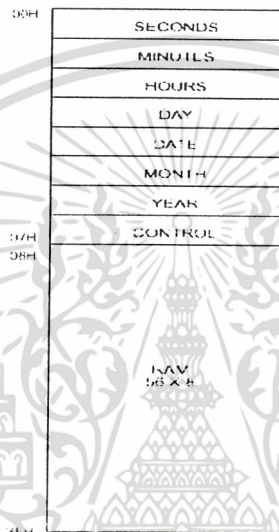
รูปที่ 11 แสดงตำแหน่งของการใส่แบตเตอรี่ เมื่อต้องการใช้งาน DS1307

เอกสารนี้เป็นเอกสารที่สงวนไว้สำหรับการใช้งานเพื่อการศึกษาเท่านั้น ไม่อนุญาตให้นำไปใช้ประโยชน์ด้านการค้า ไม่ว่าจะกรณีใดๆ ทั้งสิ้น อีกทั้งห้ามมิให้ดัดแปลงเนื้อหาและต้องอ้างอิงถึงเจ้าของเอกสารทุกครั้งที่มีการนำไปใช้

DS1307 มีการสื่อสารข้อมูลกับไมโครคอนโทรลเลอร์โดยผ่านทาง I²C ซึ่งใช้สายสัญญาณเพื่อ สื่อสาร 2 เส้นคือสายสัญญาณ DATA (SDA) และสายสัญญาณ CLOCK (SCL)

RTC And RAM Address Map

ตำแหน่งของนาฬิกาและ RAM ของ DS1307 แสดงในรูปที่ 12 โดยตำแหน่งของนาฬิกาอยู่ที่ 00H ถึง 07H โดยตำแหน่งของ RAM อยู่ที่ตำแหน่ง 08H ถึง 3FH เมื่อมีการเข้าถึงหน่วยความจำแบบ Multibyte ถ้าการเข้าถึงหน่วยความจำถึง 3FH และจะกลับไปที่ 00 H ซึ่งเป็นตำแหน่งเริ่มต้น



รูปที่ 12 แสดงตำแหน่งของนาฬิกาและ RAM ของ DS1307

DS1307 Timekeeping Register

Control Register

รีจิสเตอร์ควบคุมเป็นส่วนที่ใช้ควบคุมขาสัญญาณ SQW/OUT ถ้าบิต 4 หรือบิต SQWE มีลอจิก 1 จะทำให้ขา SQW/OUT สร้างสัญญาณพัลส์ออกมาตามความถี่ที่กำหนดในบิต RS0 และ RS1 แต่ถ้า บิต 4 มีลอจิก 0 จะทำให้ขา มีลอจิกตามบิต 7 หรือบิต OUT

Squarewave Output Frequency

การกำหนดค่าความถี่ที่ต้องการให้ออกที่ขา SQWE มีลอจิก 1 สามารถกำหนดได้จากบิต RS0 และ RS1 ตามตารางข้างบน

เอกสารนี้เป็นเอกสารที่สงวนไว้สำหรับการใช้งานเพื่อการศึกษาเท่านั้น ไม่อนุญาตให้นำไปใช้ประโยชน์ด้านการค้า ไม่ว่ากรณีใดๆ ทั้งสิ้น อีกทั้งห้ามมิให้ดัดแปลงเนื้อหาและต้องอ้างอิงถึงเจ้าของเอกสารทุกครั้งที่มีการนำไปใช้

CP-SPI/S8252 V2.0&CP-SPI/RD2 V2.0

บอร์ด CP-SPI/S8252 V2.0 จะใช้ CPU AT89S8252 เป็น CPU ประจำบอร์ด และบอร์ด CP-SPI/RD2 V2.0 จะใช้ CPU P89C51RD2 เป็น CPU ประจำบอร์ด โดยมีส่วนอื่นๆ ของวงจรที่เหมือนกัน ส่วนการ DOWNLOAD โปรแกรมเข้าสู่ตัวบอร์ดนั้น บอร์ด CP-SPI/S8252 จะใช้โปรแกรม WS8252 และ บอร์ด CP-SPI/RD2 จะใช้โปรแกรม P89C51RD2

บอร์ด CP-SPI/S8252 V2.0 & CP-SPI/RD2 V2.0 จะมีอุปกรณ์ต่าง ๆ เหมือนกับ CP-SPI/S8252 V1.0 & CP-SPI/RD2 V1.0 ทุกประการแต่เพิ่มเติมอุปกรณ์บางตัวเข้าไป ดังนี้

1. RS422 / 485
2. RTC (DS1307)
3. I²C (EEPROM 24XX)
4. ADC (ADS7841)
5. DAC (LTC1661)
6. LCD แบบ Character
7. EXP2 (NC6B595)
8. ET-SDP8

RS422 และ RS485

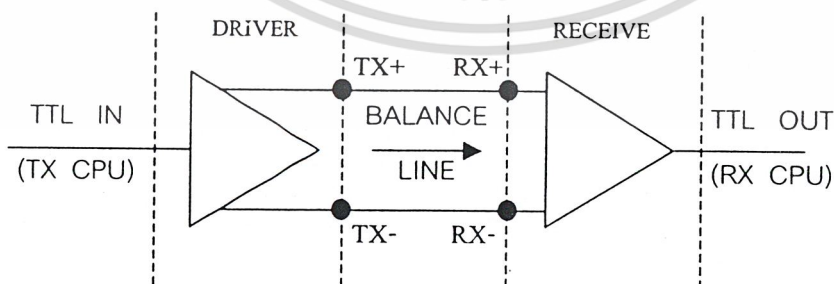
เนื่องจากการรับส่งข้อมูลแบบอนุกรมโดยใช้วงจร Line Driver แบบ RS232 นั้นยังมีข้อจำกัดในเรื่องระยะทางซึ่งไม่สามารถปรับปรุงให้ส่งได้ไกลขึ้นกว่าที่เป็นอยู่ได้และยังไม่สามารถเชื่อมต่อกัน ครั้งละหลาย ๆ อุปกรณ์ในเวลาเดียวกันได้ ดังนั้นจึงมีการสร้างวงจร Line Driver แบบใหม่ขึ้นมาทดแทนเพื่อให้สามารถรับส่งสัญญาณได้ในระยะทางที่ไกลขึ้นกว่าเดิมและวิธีการอย่างหนึ่งที่สามารถสร้างได้ง่ายและมีราคาถูกโดยการใช้วงจร Line Driver ที่ใช้สำหรับเปลี่ยนระดับสัญญาณเปลี่ยนระดับของสัญญาณลอจิก TTL จากวงจรภาคส่งไปเป็นสัญญาณแบบ Balance Line ซึ่งอาศัยหลักของการขยายความแตกต่างของสัญญาณในสายรับส่ง ซึ่งจากคุณสมบัติอันนี้ทำให้วงจรในส่วนรับของ Balance Line นั้นสามารถตรวจจับสัญญาณในสายส่งซึ่งมีขนาดตั้งแต่ 200 mV ขึ้นไปได้ ดังนั้นวงจรแปลงระดับสัญญาณ Line Driver แบบนี้จึงสามารถรับส่งข้อมูลในระยะทางไกล ๆ กันได้ โดยถ้าหากความเร็วในการรับส่งน้อยกว่า 10Mbps แล้วจะสามารถรับส่งกันได้ผลดีในระยะทางไม่เกิน 4,000 ฟุต หรือ 1,200 เมตร โดยประมาณ แต่ถ้าความเร็วใน

เอกสารนี้เป็นเอกสารที่สงวนไว้สำหรับการใช้งานเพื่อการศึกษาเท่านั้น ไม่อนุญาตให้นำไปใช้ประโยชน์ด้านการค้า ไม่ว่าจะกรณีใดๆ ทั้งสิ้น อีกทั้งห้ามมิให้ดัดแปลงเนื้อหาและต้องอ้างอิงถึงเจ้าของเอกสารทุกครั้งที่มีการนำไปใช้

การรับส่งมากขึ้นระยะทางก็อาจจะลดต่ำลงตามสัดส่วน โดยวงจร Line Driver แบบนี้ถูกกำหนดและยึดถือเป็นมาตรฐานอีกแบบหนึ่งโดย เรียกกันว่า "RS422" ซึ่งนิยมนำมาใช้ทดแทนวิธีการรับส่งข้อมูลแบบ RS232 เพื่อเพิ่มระยะทางการรับส่งให้ได้ไกลมากขึ้น และในปัจจุบันได้มีการพัฒนางจร Line Driver แบบนี้ให้สามารถควบคุมสัญญาณเอาต์พุตให้เป็นแบบ Tri-State ได้ ดังนั้นจึงทำให้สามารถทำการรับส่งข้อมูลแบบ 2 ทิศทางในสายส่งเพียงคู่เดียวกันได้ จากคุณสมบัติอันนี้ จึงทำให้เราสามารถเชื่อมต่ออุปกรณ์ได้หลายๆ ชุด ร่วมกันในสายส่งเพียงคู่เดียวเพื่อทำเป็นระบบ Network แบบ Multidrop ได้ และเรียกการจับวงจรการสื่อสารแบบนี้ว่า "RS485" ซึ่งมีคุณสมบัติของการรับส่งข้อมูลจะเหมือนกับแบบ RS422 เพียงแต่ต้องมีการเขียนโปรแกรมมาควบคุม และจัดลำดับการรับส่งข้อมูลของอุปกรณ์ที่ต่อใช้งานร่วมกันในสายส่งไม่ให้ส่งสัญญาณออกมาในสายส่งพร้อมกันเพราะจะทำให้เกิดการชนกันของข้อมูลทำให้ฝ่ายรับข้อมูลผิดพลาด

การเลือก Line Driver แบบ RS422

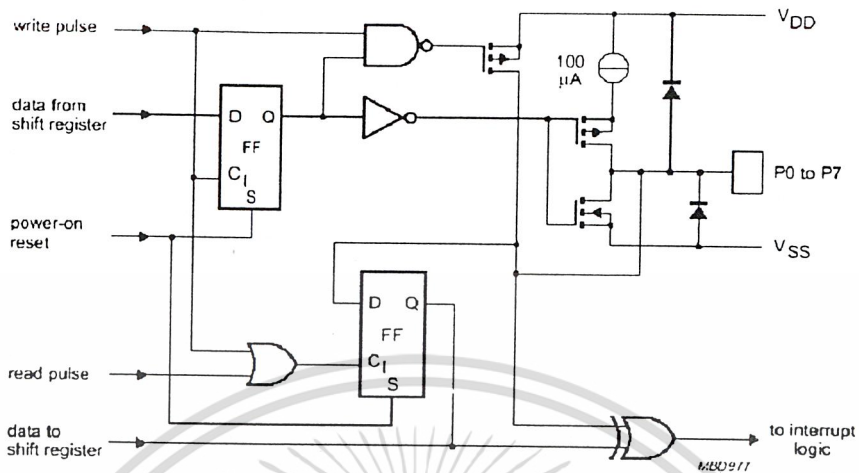
ในงานด้านการสื่อสารแบบอนุกรมนั้น บางครั้งจำเป็นต้องสื่อสารกันในระยะทางที่ห่างไกลกันมาก ซึ่งการรับส่งแบบ RS232 ไม่สามารถกระทำได้ ทางเลือกหนึ่งซึ่งสามารถนำมาทดแทนเพื่อแก้ปัญหาเรื่องระยะทางโดยไม่ต้องตัดแปลงแก้ไขโปรแกรมเดิมที่เขียนไว้แล้วก็คือการเปลี่ยนวงจรภาค Line Driver จากระบบ RS232 มาเป็นระบบ RS422 แทน โดยวงจรแบบ RS422 จะใช้เทคนิคการรับส่งแบบ Balance Line ซึ่งในวงจร Driver แบบนี้ จะสามารถรับส่งสัญญาณที่มีค่าระหว่าง 2 V ถึง 6 V ได้ดี และในส่วนของวงจรภาครับเอง ก็ยังสามารถตรวจจับสัญญาณที่มีขนาดต่ำถึง 200 mV ได้ด้วย ซึ่งหากการรับส่งโดยใช้อุปกรณ์ที่ตรงตามข้อกำหนดแบบนี้จะสามารถรับส่งกันได้ไกลถึง 1,000 ฟุต แต่ถ้าความเร็วที่ใช้ในการรับส่ง มีค่าต่ำกว่า 10Mbps แล้วยังสามารถเพิ่มระยะทางในการรับส่งได้ถึง 4,000 ฟุต อีกด้วย แต่อย่างไรก็ตามระยะทางในการรับส่งที่ได้ผลดีนั้นยังขึ้นอยู่กับองค์ประกอบอื่นๆ ด้วย เช่นคุณภาพของสายสัญญาณและขั้วต่อของสัญญาณรวมไปถึงระดับของสัญญาณรบกวนที่สายเดินผ่านไป เป็นต้น



รูปที่ 5 แสดงวิธีการรับส่งข้อมูลแบบ RS422 ในอุดมคติ

เอกสารนี้เป็นเอกสารที่สงวนไว้สำหรับการใช้งานเพื่อการศึกษาเท่านั้น ไม่อนุญาตให้นำไปใช้ประโยชน์ด้านการค้า ไม่ว่าจะกรณีใดๆ ทั้งสิ้น อีกทั้งห้ามมิให้ดัดแปลงเนื้อหาและต้องอ้างอิงถึงเจ้าของเอกสารทุกครั้งที่มีการนำไปใช้

โครงสร้างภายใน PORT

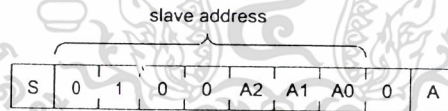


รูปที่ 46 แสดงโครงสร้างภายใน PORT ของ PCF8574

Quasi – bidirectional I/O

คือวงจรที่สามารถใช้งานเป็นได้ทั้งอินพุตและเอาต์พุต โดยไม่ต้องใช้สัญญาณควบคุมทิศทาง เมื่อจ่ายไฟให้กับ PCF8574 ขา I/O ทุกขาจะมีลอจิก 1 โดยจะต้องกำหนดให้ I/O เป็น 1 ก่อนที่จะใช้งาน PCF8574 เป็นอินพุต

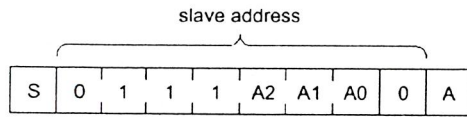
การกำหนดตำแหน่งของ PCF8574



รูปที่ 47 แสดงการกำหนดตำแหน่งของ PCF8574

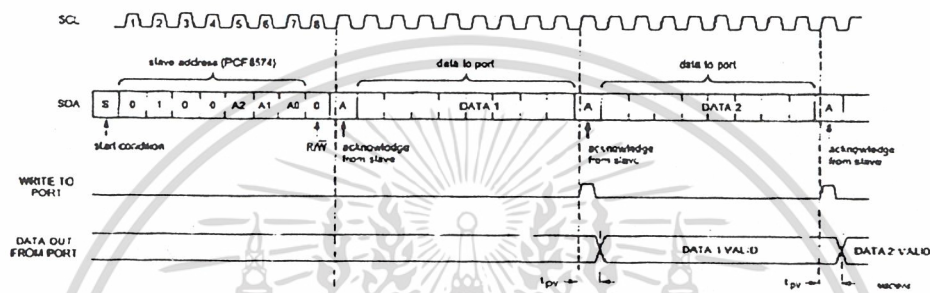
PCF8574 มีอยู่ 2 รุ่น คือ PCF8574 และ PCF8574A โดยทั้ง 2 รุ่นสามารถใช้งานได้เหมือนกัน จะแตกต่างกันเพียงไบต์ข้อมูลที่บรรจุตำแหน่งเท่านั้น โดยรูปที่ 47 เป็นการกำหนดตำแหน่งของ PCF8574 และรูปที่ 48 เป็นการกำหนดตำแหน่งของ PCF8574A

เอกสารนี้เป็นเอกสารที่สงวนไว้สำหรับการใช้งานเพื่อการศึกษาเท่านั้น ไม่อนุญาตให้นำไปใช้ประโยชน์ด้านการค้า ไม่ว่ากรณีใดๆ ทั้งสิ้น อีกทั้งห้ามมิให้ตัดแปลงเนื้อหาและต้องอ้างอิงถึงเจ้าของเอกสารทุกครั้งที่มีการนำไปใช้



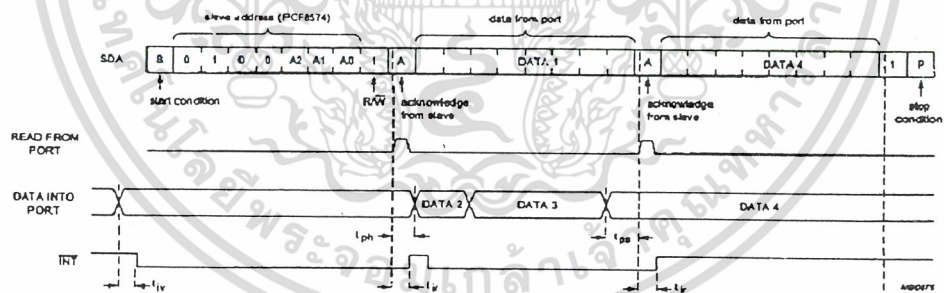
รูปที่ 48 แสดงการกำหนดตำแหน่งของ PCF8574A

การเขียนข้อมูลออกพอร์ตของ PCF8574



รูปที่ 49 แสดงไคอะแกรมของการเขียนข้อมูลออกพอร์ตของ PCF8574

การอ่านข้อมูลออกพอร์ตของ PCF8574A



รูปที่ 50 แสดงการอ่านข้อมูลออกพอร์ตของ PCF8574A

ข้อ 34 PIN I/O BUS (72IOZ80)

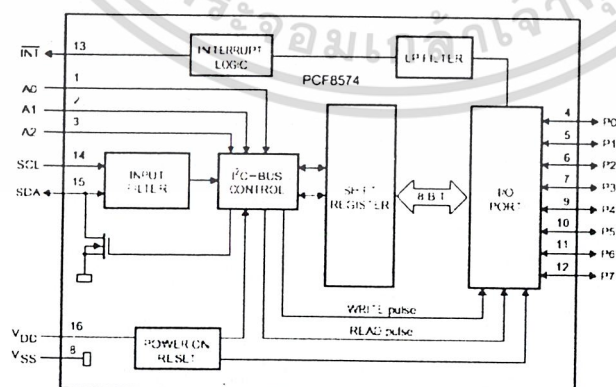
จากรูปที่ 51 แสดงให้เห็นข้อต่อ 34 PIN I/O BUS (72IOZ80) ของ PCF8574 ที่มีอยู่บนบอร์ด CP-SPI/S8252V3.0 & CP-SPI/RD2 V3.0 ทั้งหมด 2 ชุด

เอกสารนี้เป็นเอกสารที่สงวนไว้สำหรับการใช้งานเพื่อการศึกษาเท่านั้น ไม่อนุญาตให้นำไปใช้ประโยชน์ด้านการค้า ไม่ว่าจะกรณีใดๆ ทั้งสิ้น อีกทั้งห้ามมิให้ดัดแปลงเนื้อหาและต้องอ้างอิงถึงเจ้าของเอกสารทุกครั้งที่มีการนำไปใช้

ตารางแสดงตำแหน่งขาของ PCF8574

ตำแหน่ง	สัญลักษณ์	รายละเอียด
1	A0	แอดเดรส A0
2	A1	แอดเดรส A1
3	A2	แอดเดรส A2
4	P0	อินพุท/เอาต์พุท P0
5	P1	อินพุท/เอาต์พุท P1
6	P2	อินพุท/เอาต์พุท P2
7	P3	อินพุท/เอาต์พุท P3
8	Vss	กราวด์
9	P4	อินพุท/เอาต์พุท P4
10	P5	อินพุท/เอาต์พุท P5
11	P6	อินพุท/เอาต์พุท P6
12	P7	อินพุท/เอาต์พุท P7
13	INT	อินเทอร์รัพท์
14	SCL	สัญญาณClock ของ I ² C
15	SDA	สัญญาณข้อมูลของ I ² C
16	Vdd	ไฟบวก

โครงสร้างภายใน



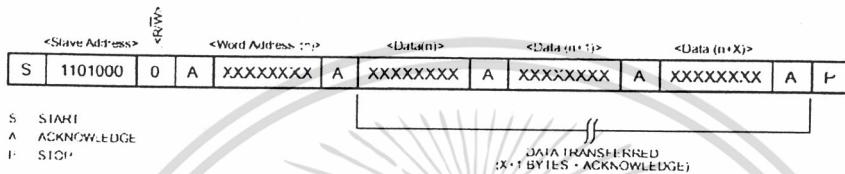
รูปที่ 45 แสดงโครงสร้างภายในของ PCF8574

เอกสารนี้เป็นเอกสารที่สงวนไว้สำหรับการใช้งานเพื่อการศึกษาเท่านั้น ไม่อนุญาตให้นำไปใช้ประโยชน์ด้านการค้า ไม่ว่าจะกรณีใดๆ ทั้งสิ้น อีกทั้งห้ามมิให้ดัดแปลงเนื้อหาและต้องอ้างอิงถึงเจ้าของเอกสารทุกครั้งที่มีการนำไปใช้

การเขียนข้อมูลลง DS1307 (Data Write)

การเขียนข้อมูลลงใน DS1307 จะถูกนำมาใช้เมื่อต้องการตั้งเวลา การกำหนดให้สัญญาณ Pulse ออกที่ขา SQW/OUT หรือแม้กระทั่งการเขียนเข้าไปเก็บไว้ในหน่วยความจำส่วน RAM ที่อยู่ภายใน DS1307

แนวทางการเขียนข้อมูลเข้าใน DS1307 นั้นจะใช้หลักการของการสื่อสารข้อมูลแบบ I²C คือการเขียนจะต้องเริ่มต้นจากที่ไมโครคอนโทรลเลอร์ส่งเงื่อนไข Start ไปให้กับ DS1307 แล้วจึงส่งข้อมูลต่อไปอีก 1 ไบต์ โดยข้อมูลไบต์นี้ใช้เก็บ Address และบิต RW



รูปที่ 13 แสดง Diagram การเขียนข้อมูลลง DS1307

DS1307 ถูกกำหนดให้มีตำแหน่ง Address อยู่ที่ 110100B (ขนาด 7 บิต) ซึ่งในการเขียนข้อมูลจะต้องกำหนดให้บิต RW เป็น 0 เพราะฉะนั้นเมื่อรวม Address ขนาด 7 บิต เข้ากับบิต RW จะได้ข้อมูลไบต์ที่จะต้องส่งเป็น 11010000B

หลังจากที่ส่งไบต์ Address ไปให้กับ DS1307 แล้วถ้า DS1307 รับข้อมูลได้ถูกต้อง ตัว DS1307 จะส่งบิต ACK ออกมาให้กับไมโครคอนโทรลเลอร์ ซึ่งบิต ACK ที่ DS1307 ส่งออกมาให้กับไมโครคอนโทรลเลอร์จะเป็น 0 แต่ถ้าไมโครคอนโทรลเลอร์ตรวจสอบบิตนี้แล้วเป็น 1 แสดงว่า DS1307 ไม่ได้รับตำแหน่ง Address ที่ถูกต้อง ต้องกลับไปเริ่มขบวนการ Start ใหม่

หลังจากที่ไมโครคอนโทรลเลอร์ได้รับบิต ACK ตอบกลับออกมาจาก DS1307 แล้ว ตัวไมโครคอนโทรลเลอร์จะต้องส่งข้อมูลไปอีก 1 ไบต์ โดยข้อมูลไบต์นี้จะเป็นตำแหน่งหน่วยความจำภายใน DS1307 ซึ่งอยู่ที่ตำแหน่ง 0-3F การส่งข้อมูลไบต์นี้จะเหมือนกับการส่งข้อมูลในไบต์แรก คือเมื่อ DS1307 ได้รับข้อมูลถูกต้องแล้ว ตัว DS1307 จะส่งบิต ACK กลับออกมา

หลังจากที่ DS1307 ได้รับตำแหน่งของหน่วยความจำที่ต้องการเขียนเรียบร้อยแล้ว ไมโครคอนโทรลเลอร์สามารถส่งข้อมูลที่ต้องการเขียนไปยังตำแหน่งดังกล่าวได้เลย ซึ่งเมื่อส่งข้อมูลได้ออกไป 1 ไบต์ ตัว DS1307 จะเพิ่มค่าตำแหน่ง 1 ค่า และส่งบิต ACK กลับออกมา

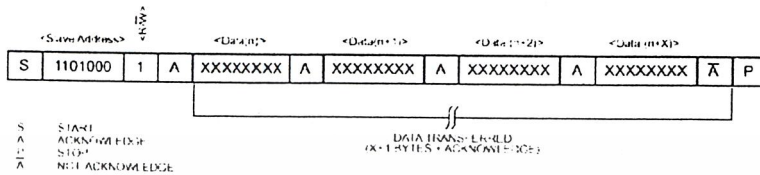
ถ้าต้องการเขียนข้อมูลในตำแหน่งที่เรียงกันไป สามารถทำได้โดยส่งข้อมูลต่อไปเรื่อยๆ จนครบแล้วจึงส่งเงื่อนไข STOP เพื่อหยุดการทำงาน

แต่ถ้าหากต้องการเปลี่ยนตำแหน่งที่จะติดต่หรือไม่ทราบว่าจะใช้ตำแหน่งของ DS1307 ซึ่งอยู่ที่ตำแหน่งใด ก็สามารถทำได้โดยการส่งตำแหน่งใหม่ให้กับ DS1307

เอกสารนี้เป็นเอกสารที่สงวนไว้สำหรับการใช้งานเพื่อการศึกษาเท่านั้น ไม่อนุญาตให้นำไปใช้ประโยชน์ด้านการค้า ไม่ว่ากรณีใดๆ ทั้งสิ้น อีกทั้งห้ามมิให้ดัดแปลงเนื้อหาและต้องอ้างอิงถึงเจ้าของเอกสารทุกครั้งที่มีการนำไปใช้

การอ่านข้อมูลจาก DS1307 (Data Read)

การอ่านข้อมูลจาก DS1307 จะมีลักษณะคล้ายกับการเขียนข้อมูลให้กับ DS1307 โดยจะต้องให้บิต



RW เป็น 1 เพราะฉะนั้นข้อมูลไบต์ Address จะมีค่าเป็น 11010001B

รูปที่ 14 แสดง Diagram การอ่านข้อมูลออกจาก DS1307

I²C

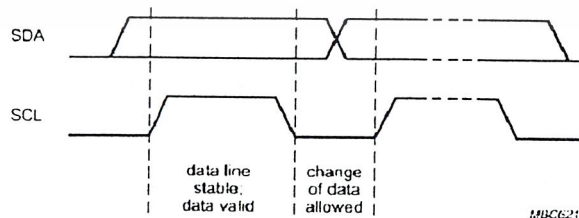
การสื่อสารข้อมูลด้วยระบบ I²C บัสนี้เป็นอีกมิติหนึ่งของการสื่อสารระหว่างไมโครคอนโทรลเลอร์และอุปกรณ์ประกอบรวม ระบบ I²C เป็นระบบที่ถูกพัฒนาจากบริษัท PHILIPS ดังนั้นอุปกรณ์หลายๆตัวที่มีการสื่อสารแบบ I²C จึงถูกผลิตออกมาจากบริษัท PHILIPS

ระบบ I²C บัสนี้เป็นการสื่อสารแบบ 2 ทาง โดยใช้สายสัญญาณในการสื่อสารเพียง 2 เส้น โดยสายที่ใช้สื่อสารนี้ คือ SDA ซึ่งเป็นสายสัญญาณข้อมูล และ SCL ซึ่งเป็นสายสัญญาณ Clock โดยสัญญาณทั้ง 2 เส้นนี้สามารถต่อเข้ากับอุปกรณ์ได้มากกว่า 1 ตัว ซึ่งทำให้การใช้งานไมโครคอนโทรลเลอร์มีประสิทธิภาพมากในแง่ของพื้นที่แผงวงจรของไมโครคอนโทรลเลอร์

ทางบริษัทผู้พัฒนาระบบ I²C ได้ให้คำจำกัดความของการสื่อสารแบบ I²C ไว้เพื่อให้เกิดความเข้าใจเดียวกันโดยมีรายละเอียดต่างๆดังนี้

Bit Transfer

ข้อมูล 1 บิตจะถูกส่งออกไปด้วยช่วงเวลา 1 CLOCK โดยข้อมูลที่สาย SDA จะต้องคงที่ในขณะที่ที่ CLOCK เป็นลอจิก 1

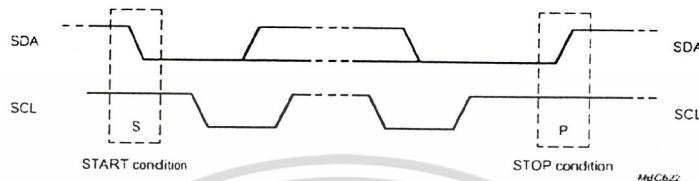


รูปที่ 15 แสดง Timing Diagram ของ Bit Transfer

เอกสารนี้เป็นเอกสารที่สงวนไว้สำหรับการใช้งานเพื่อการศึกษาเท่านั้น ไม่อนุญาตให้นำไปใช้ประโยชน์ด้านการค้าไม่ว่ากรณีใดๆ ทั้งสิ้น อีกทั้งห้ามมิให้ตัดแปลงเนื้อหาและต้องอ้างอิงถึงเจ้าของเอกสารทุกครั้งที่มีการนำไปใช้

Start and Stop Conditions

ทั้งสายสัญญาณ SDA และสายสัญญาณ SCL ถ้าอยู่ในสถานะไม่ BUSY จะเป็นลอจิก 1 การเปลี่ยนแปลงจากลอจิก 1 เป็นลอจิก 0 ของสายสัญญาณ SDA ขณะที่สายสัญญาณ SCL เป็น 1 เรียกว่าการกำหนดเงื่อนไข START แต่การเปลี่ยนแปลงจาก 0 เป็น 1 ของสายสัญญาณ SDA ในขณะที่สายสัญญาณ SCL เป็น 1 เรียกว่าการกำหนดเงื่อนไข STOP



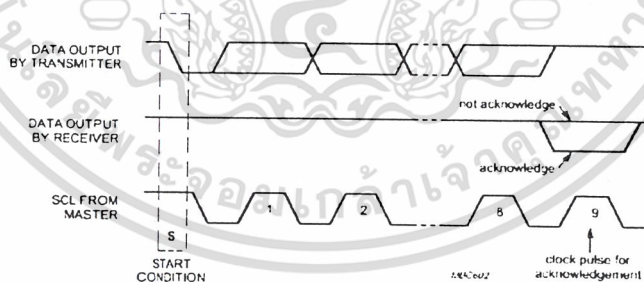
รูปที่ 16 แสดง Timing Diagram ของ Start and Stop Conditions

System configuration

อุปกรณ์ที่ส่งข้อมูลเรียกว่า TRANSMITTER ส่วนอุปกรณ์ที่รับข้อมูลเรียกว่า RECEIVER และอุปกรณ์ที่ใช้ควบคุมทิศทางการสื่อสารข้อมูลเรียกว่า MASTER และอุปกรณ์ที่ถูกควบคุมจาก MASTER เรียกว่า SLAVE

Acknowledge

จำนวนไบต์ของข้อมูลที่ถูกส่งระหว่างตัวรับและตัวส่งมีได้ไม่จำกัด ซึ่งเมื่อส่งข้อมูลครบ 1 ไบต์จะต้องส่งบิต ACK ตามออกไป 1 บิต



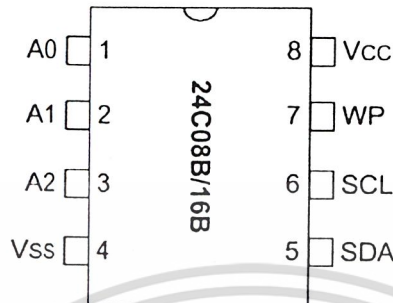
รูปที่ 17 แสดง Timing Diagram ของ Acknowledge

EEPROM 24XX Family

บอร์ด CP-SPI/S8252 V2.0 & CP-SPI/RD2 V2.0 ออกแบบมาให้ใช้ IC EEPROM ในตระกูล 24XX ได้ เช่น 24C16 , 24C128 , 24C256 โดยจะยกตัวอย่างอธิบายการใช้งานเฉพาะ IC 24C16 เท่านั้น IC 24C16 เป็น EEPROM ที่มีขนาด 2 Kbyte ที่มีการสื่อสารแบบ I²C สามารถต่อร่วมกับอุปกรณ์แบบ I²C

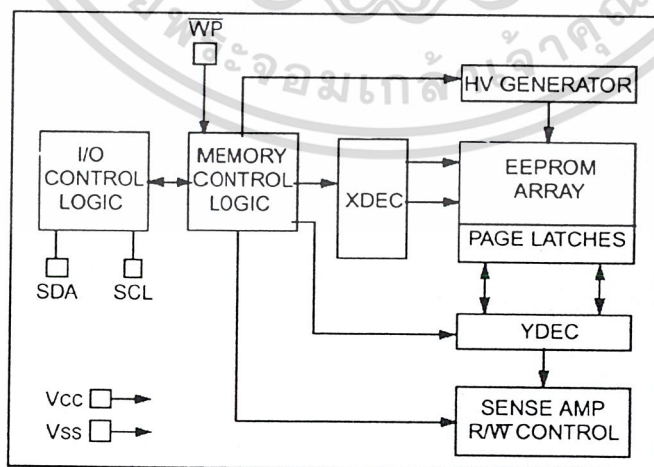
เอกสารนี้เป็นเอกสารที่สงวนไว้สำหรับการใช้งานเพื่อการศึกษาเท่านั้น ไม่อนุญาตให้นำไปใช้ประโยชน์ด้านการค้า ไม่ว่าจะกรณีใดๆ ทั้งสิ้น อีกทั้งห้ามมิให้ดัดแปลงเนื้อหาและต้องอ้างอิงถึงเจ้าของเอกสารทุกครั้งที่มีการนำไปใช้

ตัวอื่น ๆ ได้ในสายสัญญาณคู่เดียวกัน แต่ไม่สามารถต่อ 24C16 ในสายสัญญาณคู่เดียวกัน เพราะ 24C16 มีตำแหน่งที่คงที่เพียงตำแหน่งเดียว คือ ตำแหน่ง 00H โครงสร้างภายนอกและขาสัญญาณแสดงดังรูปด้านล่าง



รูปที่ 18 แสดงโครงสร้างขาใช้งานของ EEPROM 24C16

ตำแหน่ง	สัญลักษณ์	รายละเอียด
1	A0	ขากำหนดตำแหน่ง A0
2	A1	ขากำหนดตำแหน่ง A1
3	A2	ขากำหนดตำแหน่ง A2
4	Vss	กราวด์
5	SDA	สัญญาณข้อมูล I ² C
6	SCL	สัญญาณนาฬิกา
7	WP	ขาป้องกันการเขียน
8	Vcc	แหล่งจ่ายไฟ 5 โวลต์

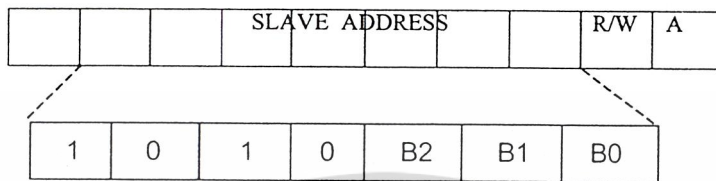


รูปที่ 19 แสดงโครงสร้างภายในของ EEPROM 24C16

เอกสารนี้เป็นเอกสารที่สงวนไว้สำหรับการใช้งานเพื่อการศึกษาเท่านั้น ไม่อนุญาตให้นำไปใช้ประโยชน์ด้านการค้า ไม่ว่าจะกรณีใดๆ ทั้งสิ้น อีกทั้งห้ามมิให้ดัดแปลงเนื้อหาและต้องอ้างอิงถึงเจ้าของเอกสารทุกครั้งที่มีการนำไปใช้

Device Addressing

Control byte จะเป็น Byte แรกต่อจากบิต START Control Byte จะประกอบด้วย Control Code 4 bit จะอยู่ในบิตที่ 7-4 ใน 24C16 มีค่าเป็น 1010 และต่อมาอีก 3 Bit จะเป็น (B2,B1,B0) เป็นบิตที่ใช้เลือก Bank ของหน่วยความจำ บิตที่ 0 เป็นบิต RW มีหน้าที่กำหนดเงื่อนไขว่าจะเขียนหรืออ่านข้อมูลจาก 24C16



รูปที่ 20 แสดงลักษณะการ Device Address

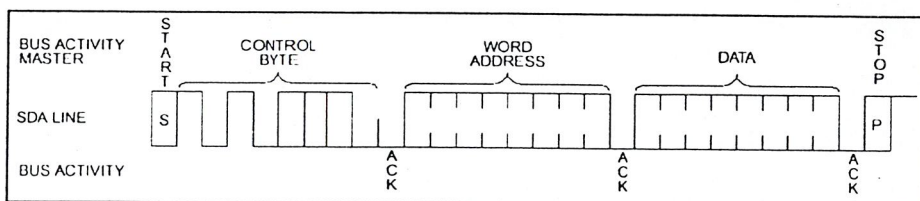
การเขียนข้อมูล

การเขียนข้อมูลลงในหน่วยความจำของ 24C16 สามารถทำได้โดยเริ่มจากส่งเงื่อนไข Start และตามด้วย Control Byte บิต RW ใน Control Byte จะต้องกำหนดค่าให้เป็น 0 ซึ่งการเขียนข้อมูลลงในหน่วยความจำของ 24C16 สามารถแบ่งออกได้เป็นการเขียนข้อมูลครั้งละ 1 ไบต์ และการเขียนข้อมูลครั้งละ 1 Page

การเขียนข้อมูลแบบ Byte

การเขียนข้อมูลแบบ ไบต์ หรือการเขียนข้อมูลครั้งละ 1 ไบต์ลงในหน่วยความจำของ 24C16 สามารถทำได้โดยเขียนโปรแกรมให้ไมโครคอนโทรลเลอร์ส่งเงื่อนไข Start ให้กับ 24C16 และตามด้วย Control Byte โดยกำหนดค่า B2,B1,B0 ใน Control Byte ตามค่าตำแหน่งหน่วยความจำที่ต้องการเขียนข้อมูล ส่วนบิต RW จะต้องถูกกำหนดให้เป็น 0 หลังจากส่ง Control Byte จะต้องรอรับค่าบิต ACK จาก 24C16 ตามกลับออกมา ซึ่งบิต ACK ที่ตอบกลับออกมาจะมีค่าเป็น 0 หลังจากได้รับบิต ACK ที่ตอบกลับออกมาแล้ว ให้ส่งไบต์ตำแหน่งของหน่วยความจำที่ต้องการเขียนข้อมูลออกไปอีก 1 ไบต์ หลังจากนั้นให้รอรับบิต ACK ที่จะตอบกลับออกมาเป็นลอจิก 0 จาก 24C16 เมื่อได้รับบิต ACK ตอบกลับออกมาแล้ว ให้ส่งค่าข้อมูลที่ต้องการเขียนลงในตำแหน่งหน่วยความจำออกไป และรอรับค่าบิต ACK จาก 24C16 หลังจากได้รับบิต ACK ตอบกลับออกมาแล้วให้ส่งเงื่อนไขการ Stop เพื่อยกเลิกการติดต่อ

ถ้าขั้นตอนใดขั้นตอนหนึ่งไม่มีบิต ACK ตอบกลับออกมาให้เริ่มส่งเงื่อนไข Start ใหม่อีกครั้งและ



รูปที่ 21 แสดง Timing Diagram ของการเขียนข้อมูลแบบ Byte

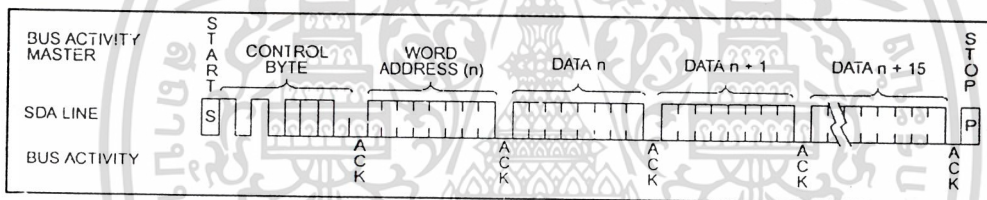
เอกสารนี้เป็นเอกสารที่สงวนลิขสิทธิ์ซึ่งการเปลี่ยนแปลงเนื้อหาและต้องอ้างอิงถึงเจ้าของเอกสารทุกครั้งที่มีการนำไปใช้
ไม่ว่ากรณีใดๆ ทั้งสิ้น อีกทั้งห้ามมิให้ตัดแปลงเนื้อหาและต้องอ้างอิงถึงเจ้าของเอกสารทุกครั้งที่มีการนำไปใช้

เริ่มทำขบวนการตั้งแต่ต้นใหม่

การเขียนข้อมูลแบบ Page

การเขียนข้อมูลแบบ Page หรือการเขียนข้อมูลครั้งละ 1 Page ภายใน 24C16 แบ่งการเก็บข้อมูลไว้เป็น Page โดยแต่ละPage สามารถเก็บข้อมูลได้ 16 ไบต์ ดังนั้นการเขียนข้อมูลครั้งละ Page ก็คือการเขียนข้อมูลครั้งละ 16 ไบต์นั่นเอง

การเขียนข้อมูลครั้งละ Page จะเหมือนกับการเขียนข้อมูลครั้งละ 1 ไบต์ จะต้องส่งเงื่อนไข Start ออกไปก่อน แล้วตามด้วย Control Byte หลังจากนั้นรอรับ ACK จาก 24C16 หลังจากได้ค่า ACK แล้ว ให้ส่งตำแหน่งหน่วยความจำออกไปและรอรับค่าบิต ACK ที่ตอบกลับออกมาแล้ว ให้ส่งค่าข้อมูลที่ต้องการเขียนลงในตำแหน่งหน่วยความจำออกไป และรอรับค่าบิต ACK จาก 24C16 จึงจะส่งข้อมูลไบต์ต่อไปจนครบ 16 ไบต์ โดยข้อมูลทั้ง 16 ไบต์ จะถูกเก็บเรียงกันไปในหน่วยความจำเริ่มตั้งแต่ที่ตำแหน่งที่ถูกส่งออกไปใน Byte Word Address หลังจากที่ได้รับบิต ACK หลังจากส่งข้อมูลออกไปครบทั้ง 16 ไบต์ ให้ส่งบิต Stop เพื่อขงเลิกการเขียนข้อมูล



รูปที่ 22 แสดง Timing Diagram ของการอ่านข้อมูลแบบ Page

การอ่านข้อมูล

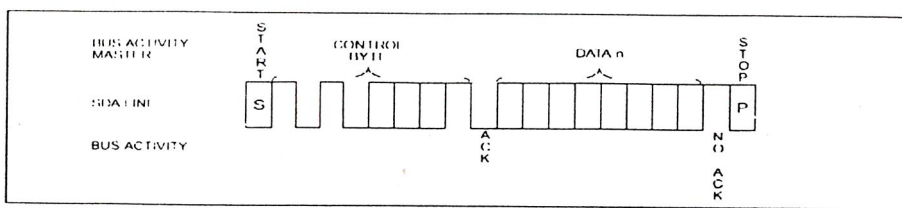
ขั้นตอนการอ่านข้อมูลจะเหมือนกับขั้นตอนการเขียนข้อมูลจะแตกต่างกันที่บิต RW จะต้องถูกเซตเป็น 1 ซึ่งสามารถแบ่งลักษณะการอ่านข้อมูลได้ 3 แบบ

การอ่านข้อมูลในตำแหน่งปัจจุบัน (Current Address Read)

ภายใน 24C16 จะมีตัวชี้ตำแหน่งของหน่วยความจำ ทุกครั้งที่เราส่งตำแหน่งให้กับ 24C16 นั้นค่าของตัวชี้จะถูกเปลี่ยนตามค่าของตำแหน่งที่ถูกส่งเข้าไป และทุกครั้งที่มีการเขียนเข้าไปใน 24C16 หรืออ่านข้อมูลออกจาก 24C16 ในแต่ละ ไบต์ค่าของตัวชี้จะเพิ่มขึ้นเป็น 1 ค่าโดยอัตโนมัติ

ดังนั้นการอ่านข้อมูลในตำแหน่งปัจจุบันคือการอ่านข้อมูลจาก 24C16 ณ.ตำแหน่งที่ตัวชี้อยู่ ซึ่งสามารถทำได้โดยการส่งเงื่อนไข Start และตามด้วย Control Byte โดยกำหนดให้บิต RW มีค่าเป็น 1 หลังจากนั้นให้รอรับบิต ACK หลังจากที่ได้อรับบิต ACK แล้วให้อ่านข้อมูลกลับออกมาจาก 24C16 จำนวน 1 ไบต์ หลังจากนั้นให้ส่งบิต NO ACK ซึ่งก็คือส่งลอจิก 1 และส่งเงื่อนไข Stop ให้กับ 24C16

เอกสารนี้เป็นเอกสารที่สงวนไว้สำหรับการใช้งานเพื่อการศึกษาเท่านั้น ไม่อนุญาตให้นำไปใช้ประโยชน์ด้านการค้า ไม่ว่าจะกรณีใดๆ ทั้งสิ้น อีกทั้งห้ามมิให้ดัดแปลงเนื้อหาและต้องอ้างอิงถึงเจ้าของเอกสารทุกครั้งที่มีการนำไปใช้

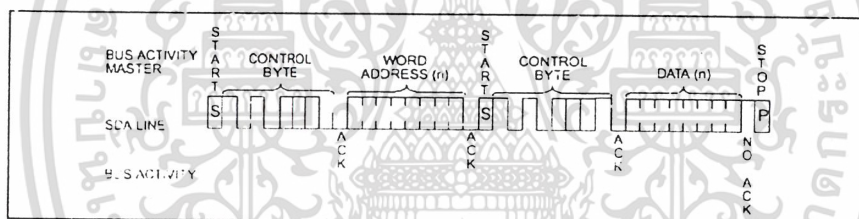


รูปที่ 23 การอ่านข้อมูลในตำแหน่งปัจจุบัน

การอ่านข้อมูลแบบสุ่ม (Random Read)

การอ่านข้อมูลแบบสุ่มจะเป็นการอ่านค่าตาม Address ที่ระบุที่ตำแหน่งที่ต้องการอ่าน โดยมีขั้นตอนการอ่านค่าข้อมูลในหน่วยความจำดังนี้

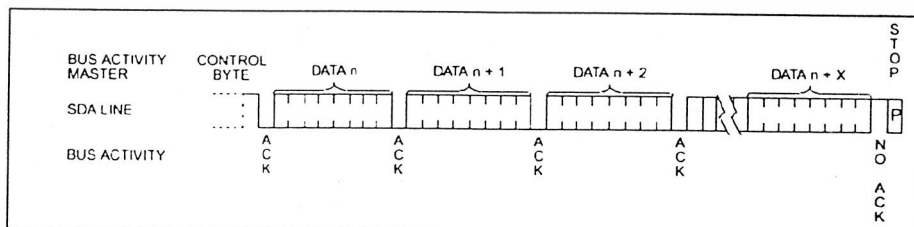
ส่งเงื่อนไข Start และตามด้วย Control Byte โดยให้บิต R/W เป็น 0 และ Word Address ซึ่งเป็นตำแหน่งของหน่วยความจำที่ต้องการอ่านข้อมูล หลังจากนั้นให้รอรับบิต ACK เมื่อได้รับบิต ACK แล้วจึงอ่านข้อมูลออกมา 1 ไบต์ ซึ่งเป็นข้อมูลตำแหน่งเดียวกับที่ตัวชี้ชี้ขี้อยู่ หลังจากได้ข้อมูลครบทั้ง 8 บิตแล้ว ให้ส่งบิต NO ACK และบิต Stop ให้กับ 24C16 เพื่อยกเลิกการติดต่อ



รูปที่ 24 แสดง Timing Diagram ของการอ่านข้อมูลแบบสุ่ม

การอ่านข้อมูลเป็นลำดับ (Sequential Read)

การอ่านข้อมูลในหน่วยความจำแบบลำดับ มีขั้นตอนการอ่านข้อมูลในลำดับเดียวกันกับการอ่านข้อมูลแบบสุ่ม จะแตกต่างที่การอ่านข้อมูลแบบสุ่มจะอ่านข้อมูลออกมาเพียงไบต์เดียว แต่การอ่านข้อมูลแบบลำดับจะอ่านข้อมูลออกมา X จนกระทั่งส่งบิต NO ACK และบิต Stop ออกไป ซึ่งทุกครั้งที่มีการอ่านข้อมูลออกจาก 24C16 นั้น ค่าของตัวชี้ที่อยู่ใน 24C16 จะเพิ่มค่าขึ้น 1 ค่า เพราะฉะนั้นข้อมูลที่อ่านค่าออกมาได้จึงเป็นข้อมูลที่อยู่ต่อเป็นลำดับต่อ ๆ กันออกไป



รูปที่ 25 แสดง Timing Diagram ของการอ่านข้อมูลแบบลำดับ

เอกสารนี้เป็นเอกสารที่สงวนไว้สำหรับการใช้งานเพื่อการศึกษาเท่านั้น ไม่อนุญาตให้นำไปใช้ประโยชน์ด้านการค้า ไม่ว่าจะกรณีใดๆ ทั้งสิ้น อีกทั้งห้ามมิให้ดัดแปลงเนื้อหาและต้องอ้างอิงถึงเจ้าของเอกสารทุกครั้งที่มีการนำไปใช้